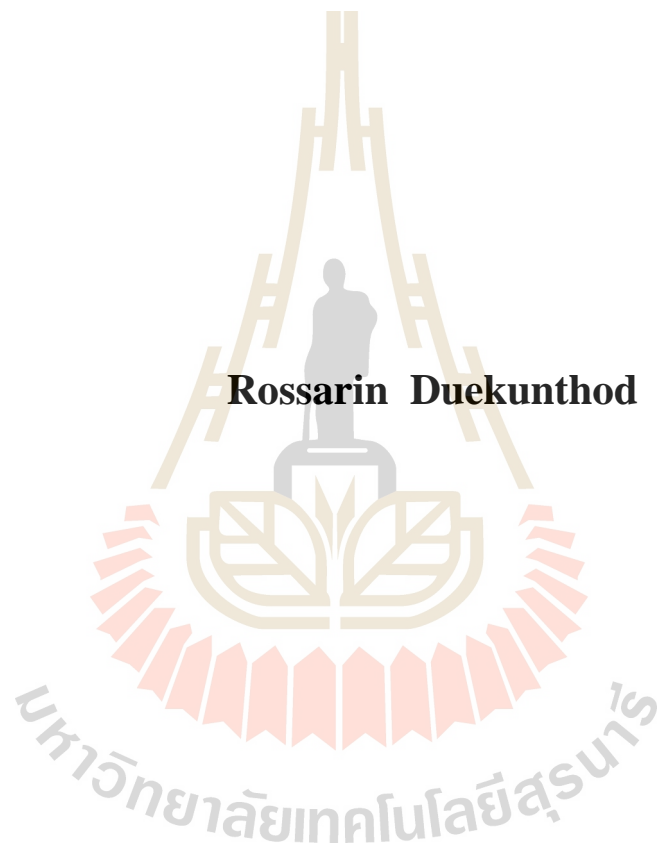


วัสดุคอมพิวเตอร์ชนิดพอลิเอทิลีนเทเฟฟกาเลตเสริมแรงด้วยตะแกรง  
เหล็กกล้าไร้สนิม



วิทยานิพนธ์นี้เป็นส่วนหนึ่งของการศึกษาตามหลักสูตรปริญญาวิศวกรรมศาสตรมหาบัณฑิต  
สาขาวิชาวิศวกรรมวัสดุ  
มหาวิทยาลัยเทคโนโลยีสุรนารี  
ปีการศึกษา 2563

**STAINLESS STEEL FIBER-REINFORCED  
POLYETHYLENE TEREPHTHALATE  
COMPOSITES**



**Thesis Submitted in Partial Fulfillment of the Requirements for the  
Degree of Master of Engineering in Materials Engineering  
Suranaree University of Technology**

**Academic Year 2020**

วัสดุคอมพ�สิตโพลิเมอร์ชนิดโพลิเอทิลีนแทเรฟทาเลตเสริมแรงด้วย  
ตะแกรงเหล็กกล้าไร้สนิม

มหาวิทยาลัยเทคโนโลยีสุรนารี อนุมัติให้นับวิทยานิพนธ์ฉบับนี้เป็นส่วนหนึ่งของการศึกษา  
ตามหลักสูตรปริญญามหาบัณฑิต

คณะกรรมการสอบวิทยานิพนธ์

(ผศ. ดร. อุษณีย์ กิตกิธรรม)

ประธานกรรมการ

(ผศ. ดร. รัตน์ บริสุทธิ์กุล)

กรรมการ (อาจารย์ที่ปรึกษาวิทยานิพนธ์)

(ผศ. ดร. จิราภรณ์ พัชรวิชญ์)

กรรมการ

(ผศ. ดร. ภูมิใจ มิตรสมหวัง)

กรรมการ

(ผศ. ดร. วรรณา อริยะวิริยะนันท์)

กรรมการ

(รศ. ดร. กนต์ชร คำนิประศาสน์)

รองอธิการบดีฝ่ายวิชาการและพัฒนาความเป็นสาขาวิชา

(รศ. ดร. พ clue คงกล)

คณบดีสำนักวิชาศึกษาศาสตร์

รศrinทร์ ดีอุนทด : วัสดุคอมโพสิตพอลิเมอร์ชนิดพอลิเอทิลีนเทเรฟทาเลตเสริมแรง  
ด้วยตะแกรงเหล็กกล้าไร้สนิม (STAINLESS STEEL FIBER-REINFORCED  
POLYETHYLENE TEREPHTHALATE COMPOSITES) อาจารย์ที่ปรึกษา :  
ผู้ช่วยศาสตราจารย์ ดร.รัตน บริสุทธิ์กุล, 89 หน้า.

วัสดุคอมโพสิตเป็นวัสดุที่ผลิตจากการนำวัสดุที่มีสมบัติเด่นตั้งแต่สองชนิดมาผสมกัน ปัญหาหลักการผลิตวัสดุคอมโพสิต คือ การประสานกันระหว่างวัสดุที่นำมาประกอบกันเป็นวัสดุ คอมโพสิต จากการวิจัยของ Katayama และคณะ แสดงให้เห็นว่าพอลิเอทิลีนเทเรฟทาเลตสามารถ เชื่อมติดกับเหล็กกล้าไร้สนิมได้ ทำให้มีโอกาสที่จะผลิตวัสดุคอมโพสิตจากวัสดุทั้งสองที่มีเนื้อ ประสานกันอย่างดี และเพื่อยืนยันแนวคิดดังกล่าวนี้ งานวิจัยนี้ จึงถูกพัฒนาขึ้นเพื่อศึกษาความ เป็นไปได้ในการผลิตวัสดุคอมโพสิตเนื้อพื้นทำจากพอลิเอทิลีนเทเรฟทาเลตเสริมแรงด้วยตะแกรง เหล็กกล้าไร้สนิม ด้วยวิธีการอัดขึ้นรูปปร้อน และเพื่อทำความเข้าใจถึงอิทธิพลของ ขนาด จำนวนชั้น และ แนวการวางตะแกรงเหล็กกล้าไร้สนิมต่อสมบัติของวัสดุคอมโพสิต ใน การทดลองผู้วิจัยได้ ผลิตวัสดุคอมโพสิตที่มีเส้นใยเสริมแรงตะแกรงเหล็กกล้าไร้สนิม แบบ 1 ชั้น และ 2 ชั้น ด้วยการอัด ขึ้นรูปปร้อน โดยตะแกรงเหล็กกล้าไร้สนิมที่ใช้มีทั้งตะแกรงเบอร์ 60 100 และ 200 หลังจากการผลิต วัสดุคอมโพสิตแล้วเสร็จ วัสดุคอมโพสิตจะถูกตรวจสอบลักษณะของชิ้นงานหลังขึ้นรูป โครงสร้างภาคตัดขวางระดับมหาศาล ความหนาแน่น และความสามารถในการรับแรงดึง จากการ ทดลองพบว่า ขนาด และจำนวนชั้น ของตะแกรงมีผลต่อความหนาแน่น และ ความแข็งแรงของ วัสดุคอมโพสิต โดยขนาดตะแกรงที่ใหญ่ และจำนวนชั้นของตะแกรงที่เพิ่มขึ้นความหนาแน่น และ ความแข็งแรงของวัสดุคอมโพสิตใหม่จะสูงขึ้น ขณะที่แนวการวางตะแกรงเหล็กกล้าไร้สนิม มีผล ต่อความหนีyxของวัสดุคอมโพสิตค่อนข้างมาก จากการทดลองสอบแรงดึง แม้ว่าตะแกรงเหล็กกล้าไร้ สนิมจะติดประสานได้ไม่ดีกับพอลิเอทิลีนเทเรฟทาเลต แต่ความแข็งแรงที่ได้ของวัสดุคอมโพสิตที่ สูงเทียบเท่ากับการนำเนื้อพื้นมาประกอบกัน ดังนั้น จึงสรุปได้ว่าสามารถผลิตวัสดุคอมโพสิต เนื้อพื้นทำจากพอลิเอทิลีนเทเรฟทาเลตเสริมแรงด้วยตะแกรงเหล็กกล้าไร้สนิมด้วยวิธีการอัดขึ้นรูป ได้ และขนาด จำนวนชั้น และแนวทางวางตะแกรงเหล็กกล้าไร้สนิมเสริมแรงมีผลต่อสมบัติของ วัสดุคอมโพสิตอย่างมาก

สาขาวิชา วิศวกรรมโลหการ  
ปีการศึกษา 2563

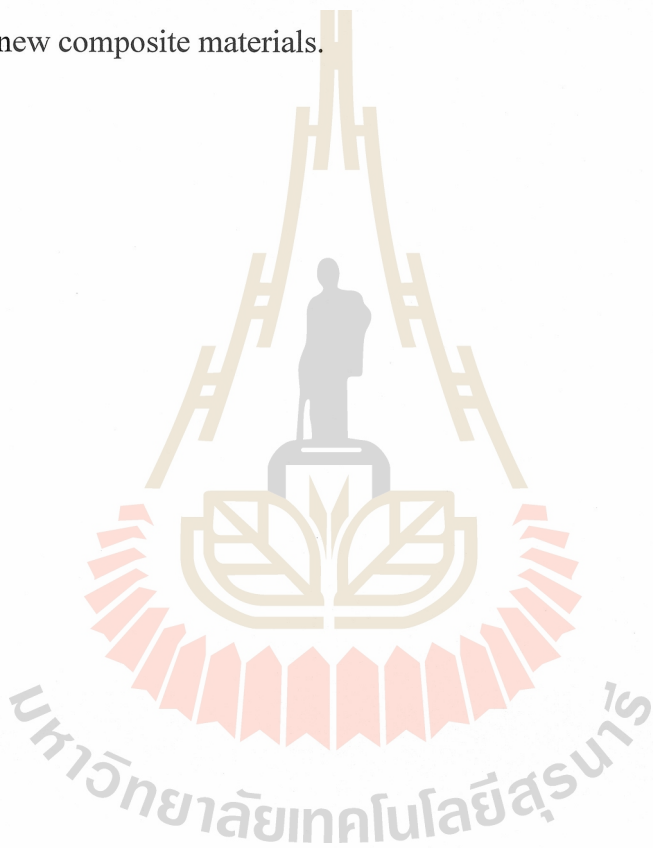
ลายมือชื่อนักศึกษา รศrinทร์ บุญญา  
ลายมือชื่ออาจารย์ที่ปรึกษา ดร. รัตน บริสุทธิ์กุล  
ลายมือชื่ออาจารย์ที่ปรึกษา (ร่วม) ดร. รัตน บริสุทธิ์กุล

ROSSARIN DUEKUNTHOD : STAINLESS STEEL FIBER-REINFORCED  
POLYETHYLENE TEREPHTHALATE COMPOSITES. THESIS ADVISOR :  
ASST. PROF. RATTANA BORRISUTTHEKUL. Ph.D., 89 PP.

STAINLESS STEEL/FIBER-REINFORCED/POLYETHYLENE  
TEREPHTHALATE COMPOSITES

Composite materials are materials that are made from a combination of two unique materials. The main problem in composite production is the de bonding between the materials that make up the composite material. Research from the study of Katayama et al. showed that polyethylene terephthalate can be welded to stainless steel. It has been seen that combining these two materials into a product has the potential to produce composite materials from two well-bonded materials. To confirm this concept, this research was developed to study the feasibility of produced a composite matrix made of polyethylene terephthalate reinforced with stainless steel grating by hot compress method. And understanding the influence of class size, number and orientation of stainless-steel grating on the properties of composite materials. Experiments were able to produce fiber-reinforced composite material, 1 layer and 2-layer stainless steel grating by hot compress method. The stainless-steel grating used, there are numbers **60** **100** and **200**. After the production of composite materials. The composite materials will be investigates characteristics, macro-sectional structure, density and tensile strength. The composite material investigates found that the size and number of layers of mesh reinforcement. The size of the mesh, stainless steel, and a large number of grid reinforcement layers increase the density and strength of composite materials. As to the orientation of the stainless steel, the grating has a relatively high effect on the toughness of the new composite

material. Tensile testing for composite materials showed that stainless steel debonding with polyethylene terephthalate. However, composite materials have high strength comparable to combine base material. Therefore, it can be concluded that we can produce a composite matrix made of polyethylene terephthalate reinforced with stainless steel grating by extrusion method, and the size, number of layers and direction of Stainless-steel grating reinforced composite material greatly affects the properties of new composite materials.



School of Metallurgical Engineering

Academic Year 2020

Student's Signature พสินทร์ ตีบุนนาค

Advisor's Signature จัน พงษ์พาณิช

Co - Advisor's Signature KK

## กิตติกรรมประกาศ

การทำวิทยานิพนธ์ฉบับนี้เสร็จสมบูรณ์ได้ เนื่องจากการได้รับความช่วยเหลือและคำปรึกษาจากที่ปรึกษาวิทยานิพนธ์ ผู้ช่วยศาสตราจารย์ ดร.รัตน บริสุทธิ์กุล และผู้ช่วยศาสตราจารย์ ดร.อุษณี ย กิตติธรรม หัวหน้าสาขาวิชาวิศวกรรมโลหการ อาจารย์ที่ปรึกษาวิทยานิพนธ์ร่วมที่ชี้แนะแนวทางในการทำงานวิจัยอีกทั้งให้ความรู้ อธิบาย และช่วยเหลือสนับสนุนการดำเนินงานวิจัยมาโดยตลอด ผู้วิจัยขอขอบพระคุณเป็นอย่างสูงในการช่วยเหลือครั้งนี้

ผู้วิจัยขอขอบคุณ หน่วยวิจัยการประยุกต์ใช้โลหะวิทยาเพื่อการขึ้นรูปโลหะ (Integrated Metallurgy to Industrial Applications Research Unit, IMIARU) สาขาวิชาวิศวกรรมโลหการ สาขาวิชาวิศวกรรมผลิตเมอร์ ศูนย์เครื่องมือวิทยาศาสตร์และเทคโนโลยี มหาวิทยาลัยเทคโนโลยี สุรนารี และ สาขาวิชาวิศวกรรมวัสดุ มหาวิทยาลัยเทคโนโลยีราชมงคลล้านนา ที่อำนวยความสะดวกในการศึกษาและสถานที่ในการดำเนินงานวิจัย

ท้ายนี้ ขอขอบคุณ ครอบครัว ที่ส่งเสริมด้านการศึกษา เป็นกำลังใจ รวมไปถึงเพื่อนทุก ๆ คนที่เคยให้การช่วยเหลือเป็นอย่างดีตลอดมา จนวิทยานิพนธ์สำเร็จลุล่วงไปได้

รศrinทร์ ดีอุนทด



# สารบัญ

หน้า

บทคัดย่อ (ภาษาไทย) .....	ก
บทคัดย่อ (ภาษาอังกฤษ) .....	ข
กิตติกรรมประกาศ .....	จ
สารบัญ .....	จ
สารบัญตาราง .....	ฉ
สารบัญรูป .....	ญ
<b>บทที่</b>	
<b>1 บทนำ .....</b>	<b>1</b>
1.1 ความเป็นมาและความสำคัญของปัญหา .....	1
1.2 วัตถุประสงค์ของการวิจัย.....	9
1.3 ขอบเขตของการวิจัย .....	9
1.4 ประโยชน์ที่คาดว่าจะได้รับจากการวิจัย .....	9
<b>2 ปริกรศน์วรรณกรรมและงานวิจัยที่เกี่ยวข้อง .....</b>	<b>11</b>
2.1 วัสดุคอมพ�สิต.....	11
2.1.1 วัสดุคอมพอสิตแบ่งตามประเภทของวัสดุเนื้อพื้น.....	11
2.1.1.1 วัสดุคอมพอสิตเนื้อพื้นโลหะ .....	11
2.1.1.2 วัสดุคอมพอสิตเนื้อพื้นเซรามิกส์.....	12
2.1.1.3 วัสดุคอมพอสิตเนื้อพื้นพอลิเมอร์ .....	12
2.1.2 วัสดุคอมพอสิตแบ่งประเภทตามลักษณะรูปร่างเสริมแรง .....	12
2.1.2.1 วัสดุคอมพอสิตเสริมแรงด้วยอนุภาค.....	13
2.1.2.2 วัสดุคอมพอสิตเสริมแรงแบบโครงสร้าง.....	13
2.1.2.3 วัสดุคอมพอสิตเสริมแรงด้วยเส้นใย .....	14
2.2 วัสดุคอมพอสิตพอลิเมอร์เสริมแรงด้วยเส้นใย .....	14
2.2.1 วัสดุเนื้อพื้นพอลิเมอร์ .....	15

## สารบัญ (ต่อ)

หน้า

2.2.1.1	วัสดุพอลิเมอร์ประเภทเทอร์โมเซตติ้งพอลิเมอร์ .....	15
2.2.1.2	วัสดุพอลิเมอร์ประเภทเทอร์โมพลาสติก .....	15
2.2.2	เส้นใยเสริมแรง .....	16
2.2.3	การจัดเรียงตัวของเส้นใย .....	18
2.3	พอลิเอทิลีนเทเรฟทาเลต (polyethylene terephthalate: PET) .....	20
2.4	ตะแกรงเหล็กกล้าไร้สนิม .....	21
	2.4.1 สำนักดักกัน (Plain weave) .....	22
	2.4.2 สำนท้ายง (Twilled weave) .....	22
	2.4.3 สำนักดักกันแบบดัชช์ Plain Dutch Weave .....	22
	2.4.4 สำนท้ายงย้อนกลับ (Reverse Twilled Weave) .....	22
2.5	การขึ้นรูปวัสดุคอมโพลิตพอลิเมอร์เสริมแรงด้วยเส้นใย .....	24
	2.5.1 การขึ้นรูปจัดวาง (Lay-up process) .....	24
	2.5.2 กระบวนการขึ้นรูปแบบเทอร์โมฟอร์ Thermoforming .....	25
	2.5.3 การอัดขึ้นรูป (Compression molding press, hot press) .....	26
2.6	งานวิจัยที่เกี่ยวข้อง .....	26
3	<b>วัสดุ อุปกรณ์ และ ระบบวิธีการดำเนินการ .....</b>	<b>34</b>
3.1	วัสดุ .....	34
	3.1.1 แผ่นพอลิเอทิลีนเทเรฟทาเลต (Polyethylene terephthalate, PET) .....	34
	3.1.2 ตะแกรงเหล็กกล้าไร้สนิมเกรด 304 .....	35
3.2	อุปกรณ์ .....	37
	3.2.1 เครื่องอัดขึ้นรูป (Compression molding) .....	37
	3.2.2 เครื่องตัดแผ่นวงจรพิมพ์ SHR-150 .....	38
	3.2.3 เครื่องขัด .....	38
	3.2.4 เครื่องทดสอบอเนกประสงค์ .....	39
	3.2.5 ชุดเครื่องมือสำหรับการประเมินความหนาแน่น .....	39
	3.2.6 กล้องจุลทรรศน์สเตอริโว .....	40

## สารบัญ (ต่อ)

หน้า

3.2.7	ไมโครมิเตอร์ (Micrometer) .....	41
3.2.8	เวอร์เนียคลิปเปอร์ (Vernier Caliper).....	41
3.2.9	กล้องจุลทรรศน์อิเล็กตรอนแบบส่องกราด.....	41
3.3	ขั้นตอนการดำเนินงานวิจัย .....	43
<b>4</b>	<b>ศึกษาการผลิตวัสดุคอมโพสิตพอลิอิเล็กทรอนิกส์ทางเคมีและเสริมแรงด้วยตะแกรงเหล็กกล้าไร้สนิม</b>	
	<b>เหล็กกล้าไร้สนิม 1 ชั้น .....</b>	<b>46</b>
4.1	บทนำ.....	46
4.2	ระเบียบวิธีการ .....	47
	4.2.1 การจัดวางชิ้นงานก่อนขึ้นรูป.....	48
	4.2.2 การขึ้นรูปชิ้นงาน.....	49
4.3	ผลงานวิจัยและการอภิปรายผล.....	51
	4.3.1 ลักษณะชิ้นงานภายหลังจากขึ้นรูป.....	51
	4.3.2 การตรวจสอบโครงสร้างภาคตัดขวางระดับมหาภาค.....	52
	4.3.3 ความหนาแน่น.....	53
	4.3.4 ความสามารถในการรับแรงดึง .....	55
4.4	สรุปผลงานวิจัย.....	59
<b>5</b>	<b>การผลิตวัสดุคอมพอยท์พอลิอิเล็กทรอนิกส์ทางเคมีและเสริมแรงด้วยตะแกรงเหล็กกล้าไร้สนิม จำนวน 2 ชั้น .....</b>	<b>61</b>
5.1	บทนำ.....	61
5.2	ระเบียบวิธีการ .....	61
	5.2.1 การขึ้นรูปชิ้นงาน.....	63
5.3	ผลการวิจัยและการอภิปรายผลการวิจัย.....	64
	5.3.1 ลักษณะของคอมพอยท์ .....	64
	5.3.2 โครงสร้างภาคตัดขวางระดับมหาภาคของชิ้นงานคอมพอยท์.....	66
	5.3.3 ผลการทดสอบความหนาแน่นของชิ้นงาน .....	67
	5.3.4 ผลการทดสอบความสามารถในการรับแรงดึง .....	68

## สารบัญ (ต่อ)

	หน้า
5.4 สรุปผลการวิจัย	72
<b>6 บทสรุปและข้อเสนอแนะ .....</b>	<b>74</b>
6.1 ข้อเสนอแนะ .....	74
รายการอ้างอิง .....	75
ภาคผนวก	
ภาคผนวก ก. บทความวิชาการที่ได้รับการตีพิมพ์เผยแพร่ในระหว่างการศึกษา.....	77
ประวัติผู้เขียน .....	89



## สารบัญตาราง

ตารางที่	หน้า
1.1 สมบัติเชิงกลของพอลิเมอร์แต่ละชนิด .....	6
1.2 สมบัติของเส้นใยเสริมแรง .....	6
2.1 สมบัติของพอลิเมอร์แต่ละชนิด .....	16
2.2 สมบัติของเส้นใยชนิดต่าง ๆ .....	23
2.3 สมบัติของการสานเส้นใยкар์บอน .....	23
2.4 สมบัติของวัสดุในงานวิจัย .....	27
2.5 สัดส่วนของเส้นใยเสริมแรง .....	32
3.1 สมบัติทั่วไปของพอลิเอทีลีนเทเรฟทาเลต .....	35
3.2 ส่วนผสมทางเคมีของตะแกรงเหล็กกล้าไร้สนิม เกรด SUS 304 .....	36
3.3 ขนาดและสมบัติของตะแกรงเหล็กกล้าไร้สนิมเกรด SUS 304 .....	37



# สารบัญรูป

รูปที่	หน้า
1.1 การแนวโน้มการเปลี่ยนมาใช้วัสดุน้ำหนักเบาในyanพานะ.....	1
1.2 เปรียบเทียบความแข็งแรงจำเพาะ (Specific stiffness) และความแข็งเกร็งจำเพาะ (Specific strength) ของโลหะและวัสดุคอมโพสิตพอลิเมอร์ชนิดเทอร์มอเซต เสริมแรงด้วยเส้นไข่ต่าง ๆ .....	2
1.3 ความสัมพันธ์ระหว่างความคื้น-ความเครียดของวัสดุพอลิเมอร์ชนิดไนลอน (PA 6) และพอลิเมอร์ชนิดอีพ็อกซี่ (Epoxy) .....	4
1.4 ความสัมพันธ์ระหว่างความคื้น-ความเครียดของวัสดุพอลิเมอร์เสริมแรงด้วยเส้นไข่เหล็กกล้าไร้สนิมที่มีเนื้อพื้นพอลิเมอร์ชนิดไนลอน (PA 6) และอีพ็อกซี่ (Epoxy) .....	5
1.5 ภาพถ่ายกล้องจุลทรรศน์อิเล็กตรอน (SEM) ของชิ้นงานคอมพอยติ.....	5
1.6 ผลของทิศทางวางแผนเส้นไข่เสริมในวัสดุคอมพอยติต่อความสามารถในการรับแรงดึงของวัสดุคอมพอยติอีพ็อกซี่เสริมแรงด้วยเส้นไข่แก้ว .....	7
1.7 ชิ้นงานหลังผ่านกระบวนการเชื่อม (A) แผ่นSUS 304 บนแผ่นพอลิเอทิลีนเทฟทาเลต (B) ชิ้นงานหลังทดสอบแรงดึง .....	8
2.1 การแบ่งประเภทของวัสดุคอมพอยติตามลักษณะการเสริมแรง.....	12
2.2 วัสดุคอมพอยติตestreimแรงด้วยอนุภาค (Particle -Reinforced Composites) .....	13
2.4 วัสดุคอมพอยติตestreimแรงด้วยเส้นไข่ .....	14
2.5 รูปแบบการจัดเรียงตัวของเส้นไข่ใน แบบต่าง ๆ .....	18
2.6 ผลของการทิศทางการเสริมแรงของเส้นไข่ที่มีผลต่อความสามารถในการรับแรงดึง .....	19
2.7 โครงสร้างของวัสดุคอมพอยติต.....	19
2.8 ปฏิกิริยาเอสเตอริฟิเคชั่นในการผลิตเรซินของพอลิเอทิลีนเทฟทาเลต.....	20
2.9 จำลองพฤติกรรมเกิดผลึกของพอลิเมอร์พอลิเอทิลีนเทฟทาเลต.....	21
2.10 แสดงหลักการสำนตะแรงกล้าไร้สนิม .....	21

## สารบัญรูป (ต่อ)

รูปที่	หน้า
2.11 ลักษณะการสานตะแกรงเหล็กกล้าไร้สนิมแบบต่าง ๆ .....	23
2.12 กระบวนการขึ้นรูปวัสดุคอมโพสิตเสริมแรงด้วยเส้นใย .....	24
2.13 การขึ้นรูปด้วย (Lay-up process) .....	25
2.14 กระบวนการขึ้นรูปแบบเทอร์โนฟอร์ม .....	25
2.15 จำลองส่วนประกอบของเครื่องอัดขึ้นรูป .....	26
2.16 กระบวนการดึงขึ้นรูปอ่ายต่อเนื่อง (Pultrusion Process) .....	27
2.17 ชิ้นงานวัสดุคอมพอยติฟหลังผ่านการขึ้นรูป .....	28
2.18 ผลทดสอบแรงดึงอัดชิ้นงานเสริมแรงเส้นใย 3 ชั้นในแนวตั้ง .....	28
2.19 ผลทดสอบแรงดึงอัดชิ้นงานเสริมแรงเส้นใย 3 ชั้นในแนวนอน .....	28
2.20 ผลทดสอบแรงดึงอัดชิ้นงานเสริมแรงเส้นใย 6 ชั้นในแนวนอน .....	29
2.21 ผลทดสอบแรงดึงอัดชิ้นงานเสริมแรงเส้นใย 6 ชั้นในแนวตั้ง .....	29
2.22 ลักษณะเส้นใยเหล็กที่ถูกสานเป็นผืน .....	30
2.23 วิธีการขึ้นรูปด้วยเทคนิค (Vacuum infusion) .....	30
2.24 การทดสอบแรงดึง (Tensile test) .....	31
2.25 ภาพถ่ายภาคตัดขวางชิ้นงานวัสดุคอมพอยติฟเสริมแรงด้วยแผ่นเส้นใย 2 ชั้น .....	32
2.26 วัสดุคอมพอยติฟอะลิเมอร์ชนิดอีพอกซี่เสริมแรงด้วยเส้นใยแก้วและ เส้นใยเหล็กกล้าไร้สนิมเกรด 316 L ที่ปริมาณต่าง ๆ .....	33
3.1 แผ่นพอลิเอทิลีนเทเรฟทาเลต (Polyethylene terephthalate, PET) .....	34
3.2 ขนาดชิ้นงานพอลิเอทิลีนเทเรฟทาเลต (PET) ก่อนขึ้นรูปเป็นชิ้นงานคอมพอยติฟ .....	35
3.3 ลักษณะจำลองการสานของ漉ตะแกรงเหล็กกล้าไร้สนิม .....	35
3.4 การสานของตะแกรง漉เหล็กกล้าไร้สนิม .....	36
3.5 ขนาดชิ้นงานตะแกรงเหล็กกล้าไร้สนิมก่อนนำไปขึ้นรูป .....	36
3.6 เครื่องอัดขึ้นรูป (Compression molding) รุ่น MODEL PR2D-W300L350 PM-WCL .....	37
3.7 เครื่องตัดแผ่นวงจรพิมพ์ SHR-150 .....	38
3.8 เครื่องขัดชิ้นงานแบบงานหมุน .....	38

## สารบัญ (ต่อ)

รูปที่	หน้า
3.9 เครื่องทดสอบแรงดึงขนาด 5 กิโลนิวตัน (kN).....	39
3.10 ชุดอุปกรณ์สำหรับทดสอบความหนาแน่น.....	40
3.11 กล้องถ่ายภาพสตอริโอ.....	40
3.12 ไมโครมิเตอร์ .....	41
3.13 เกอร์เนียคลิปป์อร์ .....	41
3.14 เครื่องเคลือบทอง .....	42
3.15 กล้องจุลทรรศน์อิเล็กตรอนแบบส่องกราด .....	42
3.16 ขั้นตอนการดำเนินงานวิจัย .....	43
3.17 แสดงตำแหน่งในการตัดเตรียมตัวอย่างในการทดสอบต่าง ๆ ของชิ้นงานหลังขึ้นรูป .....	45
3.18 ขนาดของชิ้นงานทดสอบความสามารถในการรับแรงดึง .....	45
4.1 ชิ้นงานคอมโพสิต PET เสริมแรงดึงด้วยตะแกรงเหล็กกล้าไร้สนิมจำนวน 1 ชิ้น .....	48
4.2 ขั้นตอนการเตรียมชิ้นงานก่อนขึ้นรูป.....	49
4.3 ลักษณะการวางแผนเรียงประกอบของชิ้นงานก่อนขึ้นรูป.....	49
4.4 สภาพการขึ้นรูปชิ้นงาน.....	50
4.5 ขั้นตอนการนำชิ้นงานจุ่นในน้ำ ก. การนำชิ้นงานเข้าเครื่องอัดขึ้นรูป ข. การทำให้ชิ้นงานเย็นตัวในน้ำ.....	50
4.6 ชิ้นงานคอมโพสิตเสริมแรงด้วยตะแกรงกล้าไร้สนิมจำนวน 1 ชิ้น .....	52
4.7 โครงสร้างภาคตัดขาดของชิ้นงานคอมโพสิตพอลิเอทิลีนเทเรฟทาเลต (PET) เสริมแรงด้วยตะแกรงเหล็กกล้าไร้สนิมจำนวน 1 ชิ้น .....	53
4.8 ความหนาแน่นของชิ้นงานวัสดุคอมโพสิตพอลิเอทิลีนเทเรฟทาเลตเสริมแรง ด้วยตะแกรงเหล็กกล้าไร้สนิม จำนวน 1 ชิ้น.....	54
4.9 ความสามารถในการรับแรงดึงสูงสุดของชิ้นงานคอมโพสิตเสริมแรงด้วย ตะแกรงเหล็กกล้าไร้สนิม จำนวน 1 ชิ้น.....	56
4.10 ระยะยืดของชิ้นงานคอมโพสิตเสริมแรงด้วยตะแกรงเหล็กกล้าไร้สนิม เสริมแรง จำนวน 1 ชิ้น .....	57

## สารบัญรูป (ต่อ)

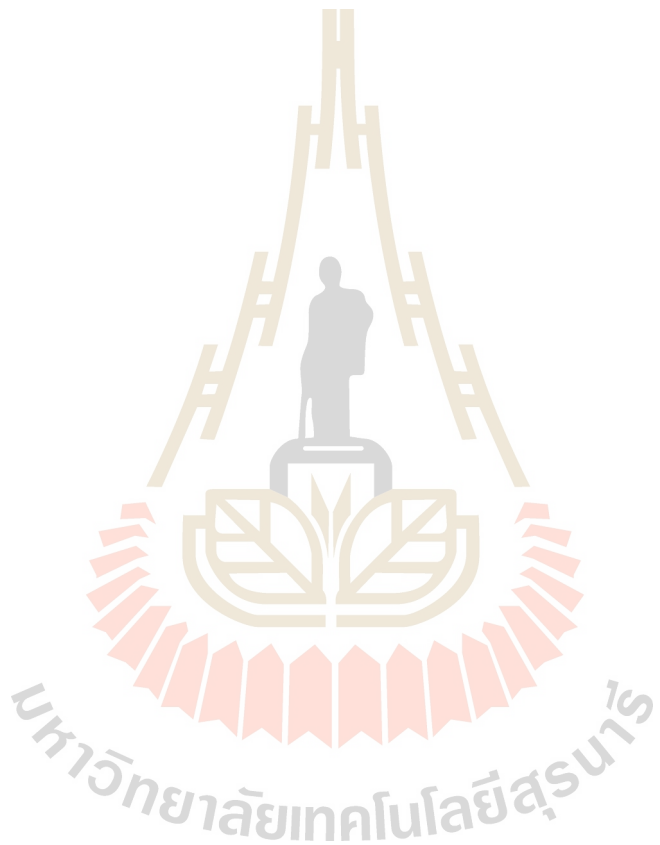
รูปที่	หน้า
4.11 ผิวแตกหักของชิ้นงานคอมพ�สิตเสริมแรงด้วยตะแกรงเหล็กกล้าไร้สนิม จำนวน 1 ชั้น วางแนว 0 องศา .....	58
5.1 ประเภทของวัสดุคอมพ�สิตพอลิเอทิลีนเท雷ฟทาเลตเสริมแรงด้วยตะแกรง เหล็กกล้าไร้สนิมจำนวน 2 ชั้น .....	62
5.2 ขั้นตอนการเรียงชิ้นงานก่อนขึ้นรูปของวัสดุคอมพ�สิตพอลิเอทิลีนเท雷ฟทาเลต เสริมแรงตะแกรงเหล็กกล้าไร้สนิม จำนวน 2 ชั้น ก่อนขึ้นรูป .....	63
5.3 การเรียงชิ้นงานก่อนขึ้นรูปเป็นวัสดุคอมพ�สิตวัสดุคอมพ�สิตพอลิเอทิลีน เท雷ฟทาเลตเสริมแรงตะแกรงเหล็กกล้าไร้สนิมจำนวน 2 ชั้น .....	63
5.4 สภาพการขึ้นรูปชิ้นงาน ของวัสดุคอมพ�สิตพอลิเอทิลีนเท雷ฟทาเลตเสริม ด้วยแรงตะแกรงเหล็กกล้าไร้สนิม จำนวน 2 ชั้น .....	64
5.5 ลักษณะของชิ้นงานคอมพ�สิตพอลิเอทิลีนเท雷ฟทาเลตเสริมแรงด้วย ตะแกรงเหล็กกล้าไร้สนิมจำนวน 2 ชั้น .....	65
5.6 โครงสร้างภาคตัดขวางระดับมหภาคชิ้นงานคอมพ�สิตพอลิเอทิลีน เท雷ฟทาเลตเสริมแรงตะแกรงเหล็กกล้าไร้สนิม จำนวน 2 ชั้น .....	66
5.7 ความหนาแน่นคอมพ�สิตพอลิเอทิลีนเท雷ฟทาเลตเสริมแรงด้วย ตะแกรงเหล็กกล้าไร้สนิมจำนวน 2 ชั้น .....	68
5.8 ความสามารถในการรับแรงดึงของชิ้นงานคอมพ�สิตพอลิเอทิลีนเท雷ฟทาเลต เสริมแรงด้วยตะแกรงเสริมแรงตะแกรงเหล็กกล้าไร้สนิมจำนวน 2 ชั้น.....	69
5.9 ความสามารถในการยึดของวัสดุคอมพ�สิตพอลิเอทิลีนเท雷ฟทาเลตเสริมแรง ด้วยตะแกรงเหล็กกล้าไร้สนิม 2 ชั้น.....	69
5.10 การแตกหักของวัสดุคอมพ�สิตพอลิเอทิลีนเท雷ฟทาเลตเสริมแรงด้วย ตะแกรงเหล็กกล้าไร้สนิม 60 จำนวน 2 ชั้น.....	71
5.11 การแตกหักของวัสดุคอมพ�สิตพอลิเอทิลีนเท雷ฟทาเลตเสริมแรงด้วย ตะแกรงเหล็กกล้าไร้สนิมขนาดเมช 100 จำนวน 2 ชั้น .....	71

## สารบัญรูป (ต่อ)

รูปที่

หน้า

- 5.12 การแตกหักของวัสดุคอมพอยสิตโพลิเอทิลีนเทเรฟทาเดตเสริมแรงด้วย  
ตะแกรงเหล็กกล้าไวร์สนิมขนาดเมช 200 จำนวน 2 ชิ้น ..... 72



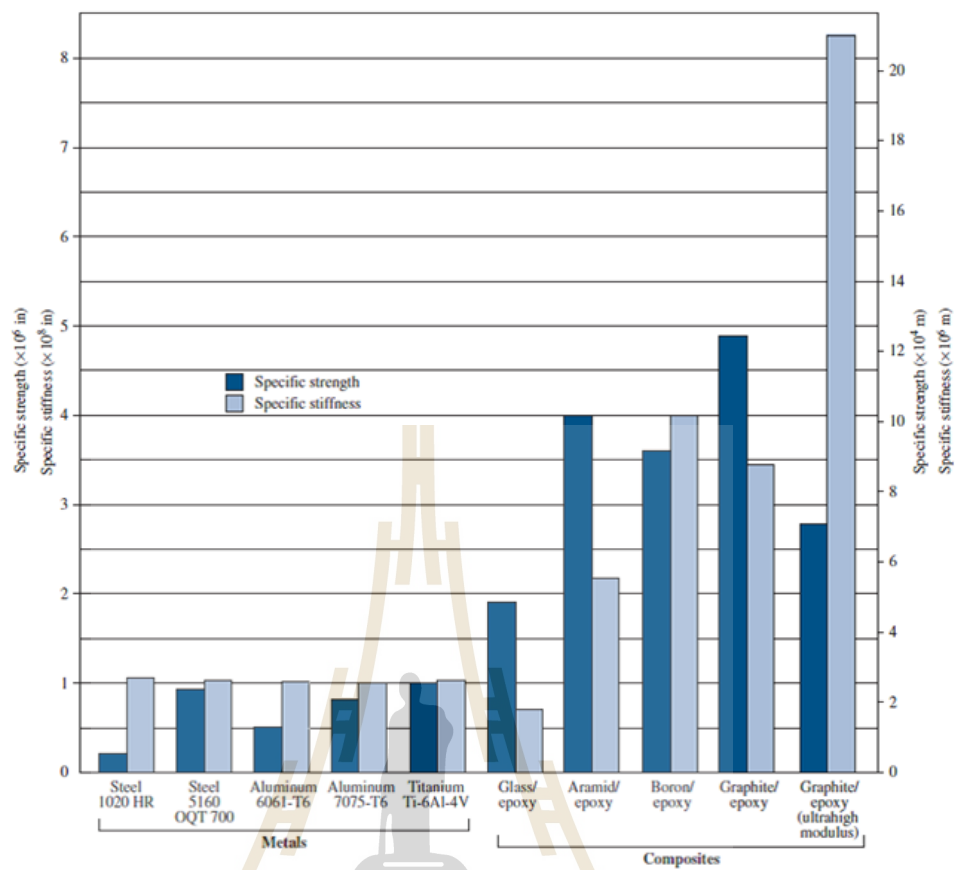
## บทที่ 1

### 1.1 บทนำ

ปัจจุบันอุตสาหกรรมก่อสร้าง และยานยนต์หันมาใช้วัสดุที่มีน้ำหนักเบา เช่น อลูมิเนียม แมกนีเซียม ฯลฯ มา กว่า มากขึ้น เพื่อทดแทนเหล็กกล้า ด้วยเป้าหมายที่แตกต่างกัน เช่น อุตสาหกรรม ก่อสร้างต้องการวัสดุน้ำหนักเบาเพื่อลดต้นทุน โครงสร้างของสิ่งก่อสร้าง ขณะที่อุตสาหกรรมยาน ยนต์การเลือกใช้วัสดุเบาด้วยเป้าหมายในการประหยัดเชื้อเพลิงสำหรับการขับขี่ รูปที่ 1.1 แสดง แนวโน้มการประยุกต์ใช้วัสดุสำหรับผลิตตัวถังรถยนต์ ตั้งแต่ปีคริสต์ศักราช 2010 ถึงปี คริสต์ศักราช 2025 จากรูปที่ 1.1 จะเห็นได้ว่าวัสดุที่นำมาผลิตเป็นตัวถังรถยนต์จากอดีตถึงอนาคต จะถูกเปลี่ยนไปเรื่อยๆ จากเหล็กกล้าเป็นเหล็กกล้าพิเศษอย่างอลูมิเนียม และวัสดุคอมโพสิต ตามลำดับ เพื่อลดน้ำหนักรถยนต์ จากประเภทของวัสดุดังรูปที่ 1.1 ใช้ผลิตตัวถังรถยนต์จะเห็นว่ามี แนวโน้มเปลี่ยนมาใช้วัสดุที่มีน้ำหนักเบา ทำให้วัสดุคอมโพสิตที่มีความแข็งแรงสูง และเบากว่า วัสดุอื่นๆ ดังแสดงรูปที่ 1.2 ได้รับความสนใจมากโดยเฉพาะวัสดุคอมโพสิตพอลิเมอร์เสริมแรง ด้วยเส้นใย



รูปที่ 1.1 การแนวโน้มการใช้วัสดุน้ำหนักเบาในยานพาหนะ (Syed Mahai, 2018)



รูปที่ 1.2 เปรียบเทียบความแข็งแรงจำเพาะ (Specific stiffness) และความแข็งเกร็งจำเพาะ (Specific strength) ของโลหะและวัสดุคอมโพสิตพอลิเมอร์ชนิดเทอร์มอเซต เสริมแรงด้วยเส้น ไขต่าง ๆ (Robert L Mott, 2003)

วัสดุคอมโพสิตพอลิเมอร์เสริมแรงด้วยเส้น ไขลูกน้ำมามผลิตเป็นชิ้นส่วนต่าง ๆ เช่น คอมโพสิตพอลิเมอร์เสริมแรงด้วยเส้น ไขเคลฟ่า ลูกน้ำมาใช้เป็นส่วนประกอบของตัวถังรถบันต์ช่วยเพิ่มความแข็งแรง และลดน้ำหนักของรถบันต์ คอมโพสิตพอลิเมอร์เสริมแรงด้วยเส้น ไขคาร์บอนกีลูก นำมาใช้เป็นชิ้นส่วนต่าง ๆ ของเครื่องบิน เช่น ปีก หาง ประตู ลำตัวเครื่อง เป็นต้น และคอมโพสิต พอลิเมอร์เสริมแรงด้วยเส้น ไขแก้วพสมเส้น ไขการ์บอนลูกน้ำมาใช้เสริม โครงสร้างศีกให้แข็งแรง และป้องกันการคลื่น (Plasticity, 2018) อย่างไรก็ตามคอมโพสิตพอลิเมอร์เสริมแรงด้วยเส้น ไขลูกน้ำมามีน้ำหนักน้อยกว่า 3 ชนิด ได้แก่ เส้น ไขcarbon (Carbon fiber) เส้น ไขแก้ว (Glass fiber) และเส้น ไขเคลฟ่า (Aramid fiber) ซึ่งวัสดุคอมโพสิตเสริมแรงด้วยเส้น ไข ดังกล่าวถึงแม้ว่ามีความแข็งแรงจำเพาะสูง น้ำหนักเบา และความต้านทานการกัดกร่อนดี แต่มีความสามารถยึดตัวน้อย อันเกิดจากวัสดุ

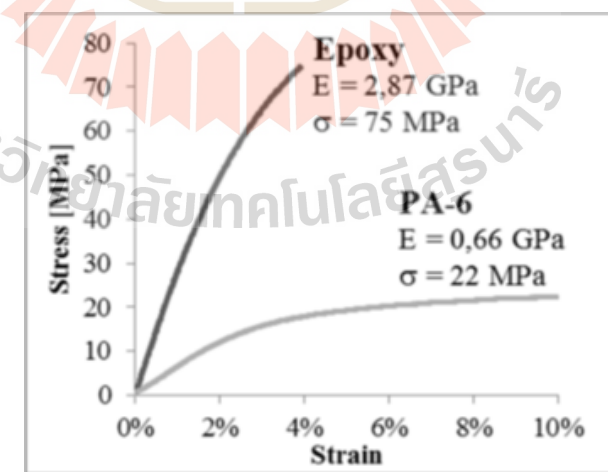
คอมพอสิตผลิตจากเนื้อพื้นอีพ็อกซี่เป็นเทอร์โมเซตติ้งที่ผ่านการบ่มจะมีลักษณะคล้ายแก้ว และเส้นใยเซรามิกส์ที่มีสมบัติความแข็ง และประจำ ดังนั้น นักวิจัยด้านวัสดุศาสตร์จึงพยายามพัฒนาวัสดุคอมพอสิตใหม่ที่มีความสามารถรับแรงและยึดตัวได้ดี

เป็นที่ทราบกันดีว่าวัสดุคอมพอสิตเกิดจากนำวัสดุตั้งแต่ 2 ชนิดมาประกอบกัน สมบัติเชิงกลของวัสดุคอมพอสิตจึงขึ้นกับปัจจัยหลัก ๆ 3 ปัจจัย ได้แก่ 1) สมบัติของวัสดุที่ใช้ผลิต 2) การจัดเรียงตัวของล่วงรับแรงหลักของวัสดุ (เส้นไยเสริมแรง) 3) ความสามารถในการขึ้นรูปกระหว่างเส้นใยและวัสดุเนื้อพื้น (Matrix) ดังมีรายละเอียดดังต่อไปนี้

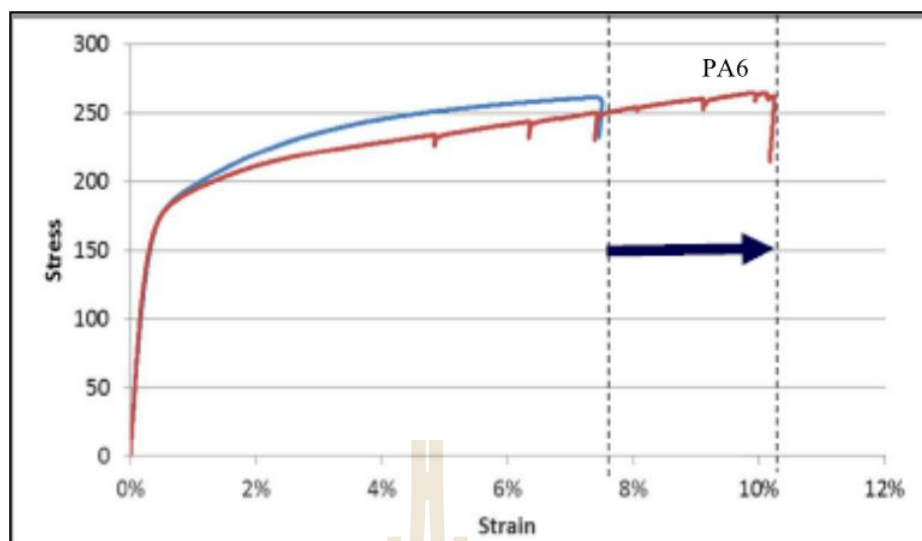
ปัจจัยที่ 1 วัสดุที่ใช้ผลิตเป็นวัสดุคอมพอสิตชนิดพอลิเมอร์เสริมแรงด้วยเส้นใยจะประกอบด้วยวัสดุ 2 ส่วน กือ วัสดุเนื้อพื้น และ เส้นใยเสริมแรง ดังนั้นสมบัติของวัสดุคอมพอสิตจึงขึ้นกับสองส่วนนี้

ส่วนที่ 1 เนื้อพื้น (Matrix) ที่ทำจากพอลิเมอร์นี้สามารถแบ่งได้ 2 ประเภท กือ เทอร์โมเซตติ้ง (Thermosetting matrix) และเทอร์โมพลาสติก (Thermoplastic) โดยพอลิเมอร์ประเภทเทอร์โมเซตติ้งมีโครงสร้างไม่เดгуลแบบเชื่อมโยงระหว่างสายโซ่ไม่เดгуลอย่างหนาแน่น ส่วนใหญ่ให้สายโซ่ไม่เดгуลขับตัวยากแม้จะได้รับแรงหรือความร้อนที่สูงพอลิเมอร์ประเภทนี้ เช่น พอลิเอสเตอร์ (Polyester) ซิลิโคน (Silicone) อีพ็อกซี่ (Epoxy) เป็นต้น โดยพอลิเมอร์ประเภทนี้ที่นิยมนำมาทำเป็นเนื้อพื้นของวัสดุคอมพอสิตในห้องทดลอง กือ อีพ็อกซี่โดยนำมาใช้ผลิตโครงสร้างเรือนธาตุเล็ก หลังการอบน้ำต่อ เฟอร์นิเจอร์ขนาดเล็ก (R. Brooks, 2540) ส่วนเทอร์โมพลาสติก เช่น พอลิไพรพิลีน พอลิเอไมด์ และพอลิเอทิลีนทาร์ฟทาเลต เป็นต้น มีโครงสร้างไม่เดгуลเป็นสายตรง หรือกึ่งไม่มีการเชื่อมโยงระหว่างสายโซ่ไม่เดгуล ส่วนใหญ่ให้สายโซ่ไม่เดгуลขับตัวง่ายเมื่อได้รับแรงหรือความร้อน สามารถหลอม และ ไหลเมื่อมีอุณหภูมิสูง พอลิเมอร์ประเภทนี้ถูกนำมาผลิตเป็นวัสดุคอมพอสิตหลายชนิด อาทิ เช่น พอลิไพรพิลีนถูกเสริมแรงด้วยเส้นใยคาร์บอนผลิตเป็นกันชนรถยานต์ และ โครงสร้างร่วมในห้องโดยสาร เป็นต้น จากสมบัติที่แตกต่างกันของพอลิเมอร์ทั้งสองการขึ้นรูปคอมพอสิตพอลิเมอร์แต่ละประเภทขึ้นต้นว่าจะมีความต่างกัน กล่าวคือ วัสดุพอลิเมอร์ประเภทวัสดุเทอร์โมเซตติ้งปกติขึ้นรูปด้วยการหล่อเรซินและเดิมสารเสริมแรง (เส้นใย) ในแม่พิมพ์โดยปฏิกริยาของพอลิเมอร์จะทำให้เกิดการแข็งตัวเป็นรูปร่างชิ้นงานตามต้องการซึ่งหลังการขึ้นรูปจะคงรูปไม่สามารถเปลี่ยนแปลงรูปร่างได้ ในขณะพอลิเมอร์ประเภทเทอร์โมพลาสติกนั้นสามารถขึ้นรูปด้วยความร้อนร่วมกับแรงอีกทั้งหลังจากคงรูปแล้วหากรับความร้อนอีกครั้งส่วนที่เป็นเนื้อพื้นก็จะสามารถหลอมเหลวได้สามารถเปลี่ยนแปลงรูปร่างได้ใหม่ตามต้องการ ในกระบวนการผลิตเป็นชิ้นส่วนคอมพอสิตในอุตสาหกรรม กระบวนการผลิตขึ้นส่วนส่วนใหญ่ วัสดุที่ใช้ในการผลิตจะอยู่ในรูปของชิ้นงานกึ่งสำเร็จ หรือพรีเพรค (Prepreg) ที่สามารถนำไปขึ้นรูปเป็นชิ้นส่วนใน

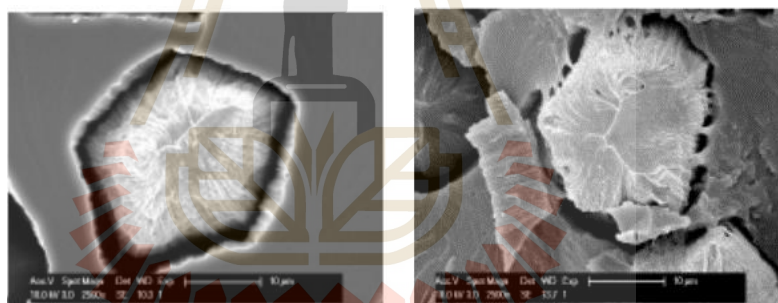
กระบวนการต่อไป ดังนั้น คอมโพสิตที่มีเนื้อพื้นเป็นพอลิเมอร์ประเทกเทอร์โมพลาสติกเหมาะสมแก่ การนำไปผลิตเป็นชิ้นส่วนในทางอุตสาหกรรมมากกว่าประเทกเทอร์โมเซต สมบัติของคอมโพสิต กับวัสดุเนื้อพื้นที่ใช้ผลิตเป็นวัสดุตัวอย่าง เช่น มีงานวิจัยของ Vallens .L และคณะ ได้ทดลอง เปรียบเทียบผลของวัสดุเนื้อพื้นของวัสดุคอมโพสิตพอลิเมอร์เสริมแรงด้วยเส้นใยเหล็กกล้าไร้สนิม ที่ส่งต่อพฤติกรรมความสามารถในการรับแรงดึง การทดลองเปรียบเทียบวัสดุเนื้อพื้นระหว่าง พอลิเมอร์เป็นเทอร์โมเซตชนิดอีพ็อกซี (Epoxy) และ ไนลอน (Polyamide /Nylon ,PA6) เสริมแรง ด้วยเส้นใยเหล็กกล้าไร้สนิมเกรด 316L จากรูปที่ 1.3 ผลการทดสอบแรงดึงวัสดุเนื้อพื้นทั้งสอง จะเห็นว่า ไนลอนมีความหนึบแน่นแต่ต้านทานแรงดึงต่ำกว่าอีพ็อกซีที่ต้านทานแรงดึงสูงแต่ประจำ เมื่อนำ ไนลอน และอีพ็อกซีมาผลิตเป็นเนื้อพื้นในวัสดุคอมโพสิตทดสอบแรงดึงแสดงดังรูปที่ 1.4 จาก รูปที่ 1.4 เมื่อเปรียบเทียบผลการทดสอบแรงดึงของวัสดุคอมโพสิตเนื้อพื้นเป็นไนลอนกับอีพ็อกซี เสริมแรง ด้วยเส้นใยเหล็กกล้าไร้สนิมเหมือนกัน พบว่าวัสดุคอมโพสิตดังกล่าวมีความสามารถในการรับแรงดึง ใกล้เคียงกัน แต่การยึดก่อนเกิดความเสียหายของวัสดุคอมโพสิตเนื้อพื้นไนลอนสูง กว่าเนื้อพื้โนอีพ็อกซี และจากรูปที่ 1.5 แสดงรูปภาคตัดขวางรอยแตกหลังทดสอบ แรงดึง พบว่า วัสดุคอมโพสิตเนื้อพื้โนอีพ็อกซีแยกตัวกันเส้นใยเสริมแรง และพื้นผิวการแตกหักเป็น แบบเรียบซึ่งบ่งถึงวัสดุคอมโพสิตมีการยึดตัวได้น้อยกว่าแตกหักแบบประจำ ในขณะที่คอมโพสิต เนื้อพื้นไนลอนมีการยึดเกาะของพอลิเมอร์และเส้นใยก่อนเกิดการแตกหัก ผิวของรอยแตกขรุขระ บ่งถึงความสามารถในการยึดตัวก่อนแตกแบบหนึบแน่น



รูปที่ 1.3 ความสัมพันธ์ระหว่างความเก็บ-ความเครียดวัสดุพอลิเมอร์ชนิดไนลอน (PA 6) และ พอลิเมอร์ชนิดอีพ็อกซี (Epoxy)



รูปที่ 1.4 ความสัมพันธ์ระหว่างความเค้น-ความเครียดของวัสดุพอลิเมอร์เสริมแรงด้วยเส้นใยเหล็กกล้าไร้สนิมที่มีเนื้อพื้นพอลิเมอร์ชนิดไนลอน (PA 6) และอีพ็อกซี่ (Epoxy)



รูปที่ 1.5 ภาพถ่ายกล้องจุลทรรศน์อิเล็กตรอน (SEM) ของชิ้นงานคอมพอยต์ พื้นผิวรอยแตกหักของวัสดุคอมพอยต์พอลิเมอร์เนื้อพื้นต่าง ๆ เสริมเส้นใยเหล็กกล้าไร้สนิมหลังรับแรงดึง (g) เนื้อพื้นพอลิเมอร์ชนิดอีพ็อกซี่ (h) เนื้อพื้นพอลิเมอร์ชนิดไนลอน (PA 6)

จากแนวคิดดังกล่าวที่สมบัติของพอลิเมอร์เป็นเนื้อพื้นมีความต่อสมบัติเชิงกลของวัสดุคอมพอยต์ โดยพอลิเมอร์ประเภทเทอร์โมพลาสติกมีสมบัติเชิงกลค่อนข้างดี โดยเฉพาะความสามารถในการยึดตัว ดังแสดงในตารางที่ 1.1 จากรายงานที่ 1.1 จะเห็นว่า การเลือกใช้พอลิเมอร์ได้จึงตรวจสอบสมบัติเชิงกลของพอลิเมอร์สมบัติพอลิเมอร์ต่าง ๆ ซึ่งพอลิเอทิลีนเทเรฟทาเลตมีการยึดตัว และความสามารถในการรับแรงดึงสูงกว่าพอลิเมอร์เทอร์โมพลาสติกชนิดอื่น ๆ ทำให้ผู้วิจัยเลือกใช้พอลิเอทิลีนเทเรฟทาเลต เพราะน่าจะได้คอมพอยต์ที่มี

ตารางที่ 1.1 สมบัติเชิงกลของพอลิเมอร์แต่ละชนิด

PROPERTIES	PET	HDPE	LDPE	PP	PS	PVC	Epoxy
Density (kg/m <sup>3</sup> )	1370	940-965	910 - 928	902 -906	1050	1380	1116
Young's modulus (MPa)	2800 –3100	600 -1400	200 -400	1100 -1500	400-500	2900-3300	500
Tensile strength (MPa)	55–75	20-32	8-12	30-38	25-69	50-80	73
%Elongation	175	-	570	450	-	21	4.5
Melting point (°C)	260	120	115	165	135	80	50
Impact strength (J/cm <sup>-1</sup> )	9	0.27-10.9	>854	0.27-1	1.09-5.44	0.32	1.1

(Characteristics, Applications and Properties of Polymer, 2016)

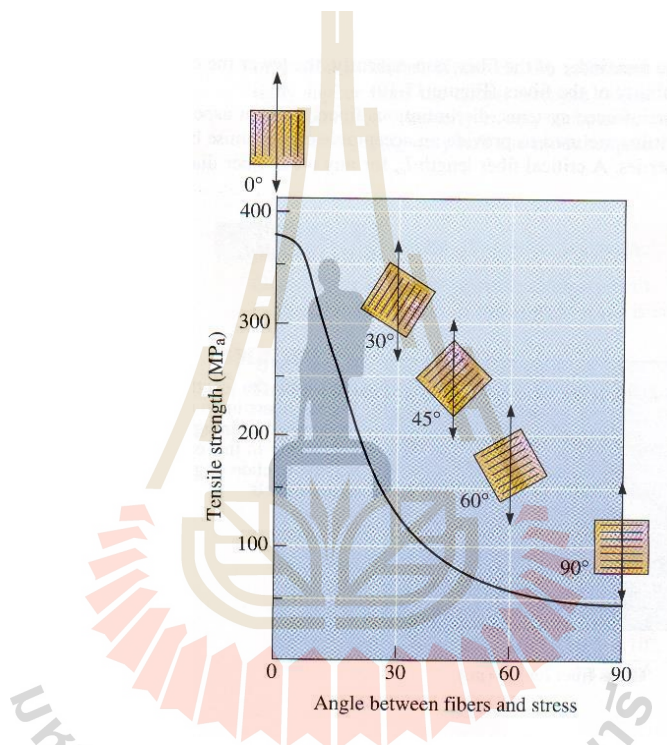
ส่วนที่ 2 เส้นใยเสริมแรง เส้นใยเสริมแรงในวัสดุคอมโพสิตเนื้อพื้นพอลิเมอร์สามารถใช้ได้ทั้ง เชรามิกส์ พอลิเมอร์ และโลหะ โดยปกติวัสดุเสริมแรงจะเป็นวัสดุหลักที่เพิ่มความแข็งแรงให้กับวัสดุคอมโพสิต ดังนั้น การเลือกใช้วัสดุเสริมแรง จึงมีความสำคัญมาก ๆ ตารางที่ 1.2 แสดง การเปรียบสมบัติเชิงกลและ ราคาของวัสดุเส้นใยเสริมแรงชนิดต่าง ๆ จากตารางที่ 1.2 จะเห็นว่า เส้นใยคาร์บอน (Carbon fiber) และ เส้นใยเหล็กกล้าไร้สนิม มีความแข็งแรงสูงแต่เหล็กกล้าไร้สนิมให้ความหนึ่งกว่า

ตารางที่ 1.2 สมบัติของเส้นใยเสริมแรง

Material	Modulus of Elastic (GPa)	Ultimate Strength (MPa)	% Elongation	Specific gravity	Cost, \$/kg
Carbon fiber	230	2067	1-3	1.8	220-660
Aramid fiber	124	1379	4	1.43	330-440
Glass fiber	85	1550	4.8	2.58	22-33
Steel fiber AISI1020	206	648	13	7.8	20-25
Stainless Steel (316L) (Ø = 0.50 - 1.0)	193	1700	19.0	8.0	193
Stainless Steel (304) (Ø = 0.50 - 1.0)	240	1850 - 2100	33	8.06	38-48

\*Specific gravity, (ความถ่วงจำเพาะ) คือ อัตราส่วนระหว่างความหนาแน่นของสารหนึ่ง ๆ ต่อ ความหนาแน่นของน้ำ (Autos K. KAW, 2006) และ [www.n-seisen.co.jp](http://www.n-seisen.co.jp)

ปัจจัยที่ 2 การจัดเรียงตัวของส่วนรับกำลังหลัก (เส้นใยเสริมแรง) การเรียงตัวของวัสดุ เสริมแรงที่เป็นเส้นไขน้ำ มีผลต่อสมบัติทางกลในทิศทางต่าง ๆ มาก หากเราต้องการวัสดุ คอมโพสิตที่สามารถรับแรงได้ในหลาย ๆ ทิศทาง เราสามารถทำได้จากการออกแบบ การเรียงแนว ของเส้นใยเสริมแรง ดังรูปที่ 1.6 ผลของทิศทางการจัดเรียงตัวต่อความสามารถแข็งแรงดึงของวัสดุคอม พอสิต อีพ็อกซี่เสริมแรงด้วยเส้นใยแก้ว ที่วางในทิศทางต่างกัน

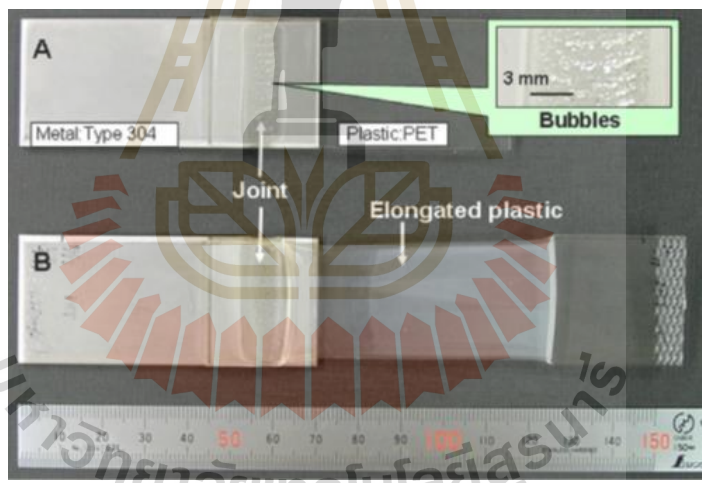


รูปที่ 1.6 ผลของทิศทางวางเส้นใยเสริมในวัสดุคอมพอสิตต่อความสามารถในการรับแรงดึงของวัสดุ คอมพอสิตอีพ็อกซี่เสริมแรงด้วยเส้นใยแก้ว (แม่น อมรลิที, 2545)

นอกจากนี้ จำนวนชั้นของวัสดุเสริมแรงมีผลต่อสมบัติคอมพอสิต ดังตัวอย่างจากศึกษา งานวิจัยของ Seyyedvahid Mortazavian และ Ali Fatemi (2015) ได้ศึกษาผลของทิศทางการ เสริมแรงของเส้นใยในวัสดุคอมพอสิต พบร่วมกับการทิศทางการเสริมแรงมีผลปัจจัยที่ส่งผลต่อ ความสามารถในการรับแรงดึงของ โดยในเสริมแรงเส้นใยในทิศทาง 0 องศา วัสดุคอมพอสิต สามารถรับแรงดึงได้สูงสุด และต่ำสุดที่ทิศทาง 90 องศา และอีกงานวิจัยของ Julian Tri Utomo และคณะ (2010) ได้ศึกษาผลของจำนวนชั้นเสริมแรงในวัสดุคอมพอสิต polymerestreinforced ด้วยไบ

พบว่า จำนวนชั้นเสริมแรงที่เพิ่มขึ้นส่งผลต่อความสามารถในการรับแรงดึงที่เพิ่มขึ้น ดังนั้น ปัจจัยทิศทางและการเสริมแรงเป็นอีกหนึ่งปัจจัยสำคัญที่จะส่งผลต่อสมบัติเชิงกลของวัสดุคอมโพสิตพอลิเมอร์เสริมแรงด้วยเส้นใย

ปัจจัยที่ 3 ความสามารถในการยึดเกาะระหว่างเส้นใย และเนื้อพื้นเป็นส่วนที่สำคัญต่อวัสดุคอมโพสิตที่จะผลิตอย่างมาก เพราะความสามารถในการยึดเกาะกันระหว่างวัสดุทั้ง 2 ชนิด จะส่งผลต่อความสามารถในการส่งถ่ายแรงระหว่างเนื้อพื้นกับเส้นใยเสริมแรง การจะบ่งความสามารถในการยึดเกาะของพอลิเมอร์นั้นเราสามารถศึกษาได้จากข้อมูลความสามารถในการเขื่อมติดกันระหว่างพอลิเมอร์กับวัสดุเสริมแรงและเมื่อไม่นานมานี้ในปีคริสต์ศักราช 2018 Katayama และคณะ ศึกษาการเชื่อมโลหะกับพอลิเมอร์ด้วยแสงเลเซอร์ โดยการฉายลำแสงเลเซอร์ลงบนแผ่นพลาสติกพอลิเอทิลีนเทเรฟทาเลต (PET) ที่วางช้อนทับบนแผ่นเหล็กกล้าไร้สนิมแล้วนำทดสอบแรงดึง พบว่า รอยเชื่อมชิ้นงานหลังการเชื่อมมีความแข็งแรงมาก ทำให้มีอثرทดสอบแรงดึงเกิดขึ้นของพอลิเมอร์ที่เป็นวัสดุพื้นดังรูปที่ 1.7



รูปที่ 1.7 ชิ้นงานหลังผ่านกระบวนการเชื่อม (A) แผ่นSUS 304 บนแผ่นพอลิเอทิลีนเทเรฟทาเลต (B) ชิ้นงานหลังทดสอบแรงดึง

จาก 3 ปัจจัยที่ผู้วิจัยคิดว่า การเลือกใช้พอลิเอทิลีนเทเรฟทาเลตเป็นวัสดุเนื้อพื้น และเหล็กกล้าไร้สนิมเป็นเส้นใยเสริมแรง น่าจะให้วัสดุคอมโพสิตที่แข็งแรง และเหนียว เพราะเนื้อพื้น และเส้นใยเสริมแรงมีความแข็งแรงสูง นอกจากนี้พอลิเอทิลีนเทเรฟทาเลต และเหล็กกล้าไร้สนิมยังสามารถเชื่อมกันได้ การผลิตเป็นวัสดุคอมโพสิตควรจะได้วัสดุคอมโพสิตคุณภาพสูง เพื่อยืนยันแนวคิดและความเข้าใจผลของการทิศทางการจัดวางชั้นเสริมแรง และจำนวนชั้นเสริมแรง

## 1.2 วัตถุประสงค์การวิจัย

1.2.1 เพื่อศึกษาความเป็นไปได้ในการผลิตวัสดุคอมพ�สิตพอลิเอทิลีนเทเรฟทาเลตเสริมแรงด้วยตะแกรงเหล็กกล้าไร้สนิมด้วยวิธีการอัดขึ้นรูปร้อน

1.2.2 เพื่อศึกษาอิทธิพลของ ขนาด จำนวนชั้น และทิศทางการวาง ของตะแกรงเหล็กกล้าไร้สนิมต่อความสามารถในการรับแรง และความหนาแน่นของวัสดุคอมพ�สิตพอลิเอทิลีนเทเรฟทาเลตเสริมแรงด้วยตะแกรงเหล็กกล้าไร้สนิม

## 1.3 ขอบเขตการวิจัย

เพื่อทำให้งานวิจัยไม่เกี่ยวกับข่าวกินไปและสามารถจำกัดขอบเขตของการใช้งานผลการศึกษาภายใต้ความมุ่งหมายของงานวิจัยนี้ที่จะศึกษาความเป็นไปได้ในการผลิตวัสดุคอมพ�สิตพอลิเอทิลีนเทเรฟทาเลตเสริมแรงด้วยตะแกรงเหล็กกล้าไร้สนิมด้วยวิธีการอัดขึ้นรูปร้อน และศึกษาอิทธิพลของ ขนาด จำนวนชั้น และทิศทางการวางของตะแกรงเหล็กกล้าไร้สนิมต่อความสามารถในการรับแรง และความหนาแน่นของวัสดุคอมพ�สิตพอลิเอทิลีนเทเรฟทาเลตเสริมแรงด้วยตะแกรงเหล็กกล้าไร้สนิม งานวิจัยนี้จึงกำหนดขอบเขตในการวิจัยดังนี้

1.3.1 วัสดุเนื้อพื้นที่ใช้ในการศึกษารังน้ำจะเลือกใช้เฉพาะพอลิเมอร์ชนิดพอลิเอทิลีนเทเรฟทาเลต หนา 0.5 มิลลิเมตรเท่านั้น

1.3.2 วัสดุเสริมแรงใช้เป็นตะแกรงเหล็กกล้าไร้สนิมเกรด 304 (SUS 304) ขนาดเมช 60 100 และ 200 เท่านั้น

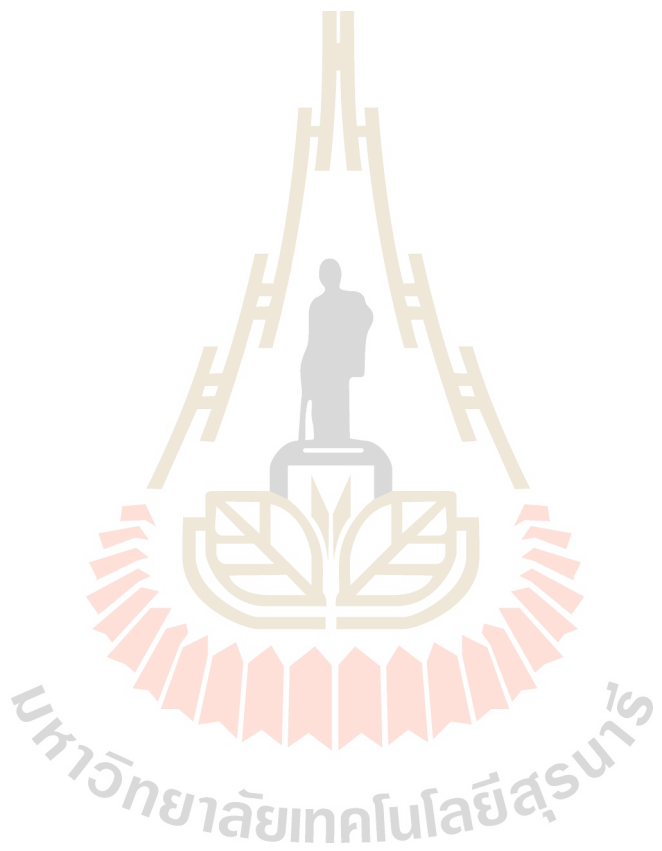
1.3.3 การศึกษาผลของจำนวนชั้นตะแกรงเหล็กกล้าไร้สนิมต่อความแข็งแรง และความหนาแน่นของวัสดุคอมพ�สิตจะศึกษาเฉพาะการใช้ตะแกรงเหล็กกล้าไร้สนิม จำนวน 1 และ 2 ชั้นในทิศทางการวาง 0 องศา และ 45 องศาเท่านั้น

1.3.4 การประเมินคุณภาพของวัสดุคอมพ�สิตพอลิเอทิลีนเทเรฟทาเลตเสริมแรงด้วยตะแกรงเหล็กกล้าไร้สนิมเพียง 1) ภาพถ่ายภาคตัดขวางชิ้นงานคอมพอยต์ระดับมหภาค 2) ความหนาแน่น 3) ทดสอบความสามารถในการรับแรงดึง และ 4) ตรวจสอบรอยแตกหักของชิ้นงานคอมพอยต์หลังทดสอบแรงดึง

## 1.4 ประโยชน์ที่คาดว่าจะได้รับ

1.4.1 ได้วัสดุคอมพอยต์ชนิดใหม่ที่ทำจากพอลิเอทิลีนเทเรฟทาเลต กับ ตะแกรงเหล็กกล้าไร้สนิม

1.4.2 ทราบอิทธิพลของขนาด จำนวนชั้น และทิศทางการวางแผนgreg เหล็กกล้าไร้สนิม ต่อสมบัติของวัสดุคอมพ�อสิตใหม่



## บทที่ 2

### บริกรรมนวัตกรรมและงานวิจัยที่เกี่ยวข้อง

ด้วยงานวิจัยนี้เกี่ยวกับวัสดุคอมโพสิตระหว่างพอลิเมอร์พอลิเอทิลีนเทเรฟทาเลตเสริมแรงด้วยตะแกรงเหล็กกล้าไร้สนิมซึ่งเป็นวัสดุคอมโพสิตใหม่ ดังนั้น เพื่อให้เกิด ความเข้าใจพื้นฐานเกี่ยวกับวัสดุคอมโพสิตและวิธีการขึ้นรูป ผู้วิจัยจึงได้ศึกษาทฤษฎีเบื้องต้น และ ทบทวนงานวิจัยที่เกี่ยวข้องอันจะทำให้การดำเนินงานวิจัยมีความผิดพลาดน้อยลง โดยมีรายละเอียดการทบทวนการเขียนและวิจัยดังนี้

#### 2.1 วัสดุคอมโพสิต (Composite)

วัสดุคอมโพสิต หมายถึง วัสดุที่ประกอบขึ้นจากวัสดุที่มีสมบัติแตกต่างกันตั้งแต่ 2 ชนิดขึ้นไปโดยไม่เกิดการรวมตัวเป็นเนื้อเดียวกัน ทำให้สมบัติของวัสดุคอมโพสิตที่ได้จะมีสมบัติร่วมกันของวัสดุที่เป็นองค์ประกอบ ดังนั้น การทำงานหรือคาดคะเนสมบัติของวัสดุคอมโพสิต จึงสามารถทำนายได้จากการวัสดุที่เป็นองค์ประกอบโดยองค์ประกอบของวัสดุคอมโพสิตจะมีวัสดุเนื้อพื้น (Matrix) คือ วัสดุที่มีปริมาณมากในวัสดุคอมโพสิตมีหน้าที่ห่อหุ้มวัสดุเสริมแรงและเป็นตัวบันยิดวัสดุให้คงรูป และ วัสดุเสริมแรง (Reinforcement) คือ วัสดุที่มีสมบัติต่างจากวัสดุเนื้อหลักและมีสมบัติเสริมแรง หรือปรับปรุงสมบัติเชิงกลของวัสดุเนื้อพื้น

ปัจจุบันวัสดุคอมโพสิตสามารถแยกประเภทขึ้นกับวัสดุเนื้อพื้นที่นำมาผลิตเป็นวัสดุคอมโพสิตหรือ แยกประเภทตามลักษณะของการเสริมแรง โดยมีรายละเอียดของการแบ่งประเภทของวัสดุคอมโพสิตดังนี้

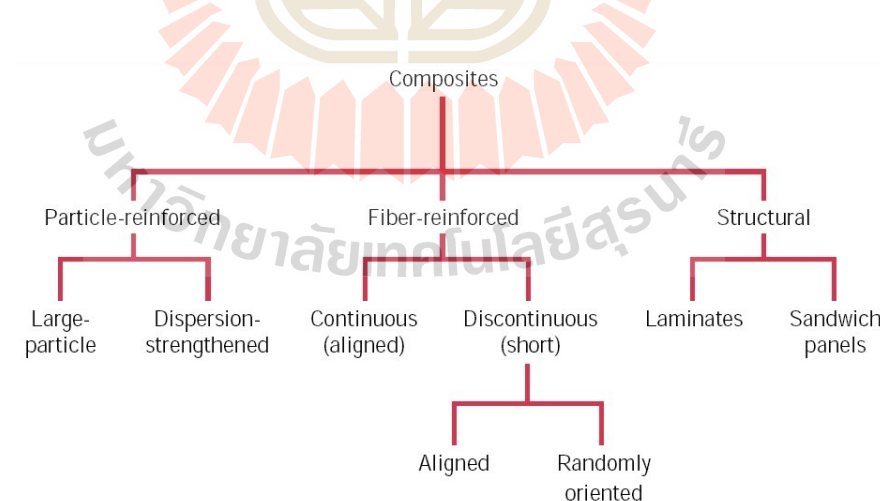
##### 2.1.1 วัสดุคอมโพสิตแบ่งตามประเภทของวัสดุเนื้อพื้นสามารถแยกออกเป็น 3 ประเภทได้ดังนี้

2.1.1.1 วัสดุคอมโพสิตเนื้อพื้นโลหะ (Metal matrix composites-MMCs) เป็นวัสดุคอมโพสิตที่เนื้อพื้นทำจากโลหะ สมบัติเด่น คือ ทนทานต่ออุณหภูมิสูง ไม่ติดไฟ แต่มีราคาสูง มักถูกนำไปส่วนผลิตภัณฑ์เชิงวิศวกรรมที่ต้องการสมบัติพิเศษ อาทิ ส่วนประกอบของยานอวกาศ เป็นต้น (กาญจนวรรณพิชัย, 2014)

2.1.1.2. วัสดุคอมโพสิตเนื้อพื้นเซรามิกส์ (Ceramic Matrix Composites-CMCs) วัสดุเนื้อพื้นทำจากเซรามิกส์ เช่น ซีเมนต์ ฯลฯ มีข้อดีที่สามารถทนต่อปฏิกิริยาออกไซเดชัน ที่อุณหภูมิสูงได้ดี แต่มีความแข็งแรงน้อยกว่าวัสดุคอมโพสิตเนื้อพื้นโลหะ ตัวอย่างคอมโพสิตกลุ่มนี้ที่พบเห็นในชีวิตประจำวัน ได้แก่ คอนกรีตและคอนกรีตเสริมเหล็ก (ปูน กรวด ทราย เหล็กเส้น) เป็นต้น ขณะที่วัสดุคอมโพสิตเซรามิกส์ได้รับการพัฒนาให้ลูกหน้าไปมาก โดยมีการใช้วัสดุ เสริมแรงเป็นเส้นๆ ใช้งานในสภาวะแวดล้อมที่มีอุณหภูมิสูง เช่น กังหันใบพัดของเครื่องยนต์ ไอพ่น เป็นต้น

2.1.1.3. วัสดุคอมโพสิตเนื้อพื้นพอลิเมอร์ (Polymer Matrix Composites-PMCs) สามารถใช้เนื้อพื้นที่ทำจากทึ้งในเทอร์โมพลาสติกหรือเทอร์โมเซตพลาสติก วัสดุคอมโพสิตกลุ่มนี้มีการใช้งานอย่างแพร่หลาย เนื่องจากมีราคาต่ำกว่าวัสดุคอมโพสิตชนิดอื่น ๆ อีกทั้ง วัสดุคอมโพสิตชนิดนี้สามารถนำมาประยุกต์ใช้งานได้หลากหลายรูปแบบเนื่องจากขึ้นรูปง่ายตัวอย่าง พลิตกัมท์ที่พับเห็นได้ง่ายของคอมโพสิตกลุ่มนี้ คือ ผลิตกัมท์ที่ทำจากไฟเบอร์กลาสต่าง ๆ

2.1.2 วัสดุคอมโพสิตแบ่งประเภทตามลักษณะรูปร่างของวัสดุเสริมแรงที่กระจายตัวอยู่ภายใน ซึ่งสามารถแบ่งออกได้เป็น 3 ประเภทหลัก ๆ ประกอบไปด้วย วัสดุคอมโพสิตเสริมแรงด้วยอนุภาค (Particle Reinforce Composites) วัสดุคอมโพสิตเสริมแรงด้วยโครงสร้าง (Structure Composites) วัสดุคอมโพสิตเสริมแรงด้วยเส้นใย (Fiber Reinforce Composites) โดยประเภทของคอมโพสิตในกลุ่มนี้ แสดง ในรูปที่ 2.1 โดยมีรายละเอียดดังนี้



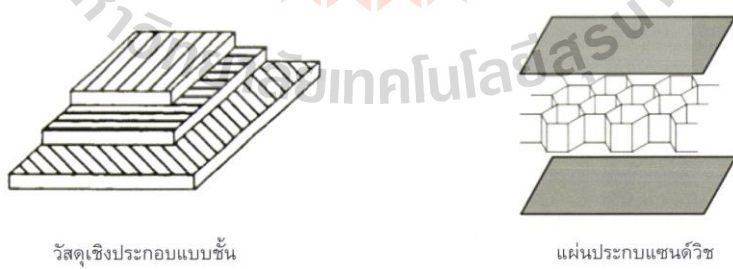
รูปที่ 2.1 การแบ่งประเภทของวัสดุคอมโพสิตตามลักษณะการเสริมแรง  
(William D. Callister Jr. 2003)

2.1.2.1 วัสดุคอมโพสิตเสริมแรงด้วยอนุภาค (Particle -Reinforced Composites) คือ วัสดุคอมโพสิตที่มีอนุภาคของวัสดุเสริมแรงกระจายอยู่ในเนื้อพื้น ทำหน้าที่เสริมแรง โดยรูปร่าง ของอนุภาคนั้นมีทั้งที่เป็น อนุภาคกลม แผ่นบาง หรือ เม็ดขนาดใหญ่ ดังรูปที่ 2.2



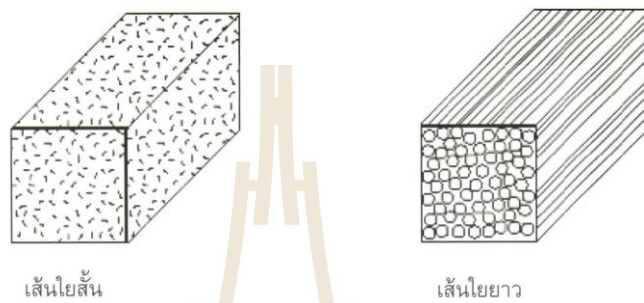
รูปที่ 2.2 วัสดุคอมโพสิตเสริมแรงด้วยอนุภาค (Particle -Reinforced Composites)  
(German, R. M. ,2016)

2.1.2.2 วัสดุคอมโพสิตเสริมแบบโครงสร้าง (Structure Composites) คือคอม พอสิตที่เสริมแรงด้วยโครงสร้าง ดังแสดงในรูปที่ 2.3 สามารถแบ่งออกได้เป็น 2 ประเภท ได้แก่ วัสดุคอมโพสิตแบบชั้น (Laminar Composites) มีลักษณะเป็นการซ้อนทับในทิศทางที่แตกต่าง กันของแผ่นซึ่ห์ที่ไม่เสริมแรงหลาย ๆ ชั้น และวัสดุคอมโพสิตแบบแซนด์วิช (Sandwich Panel) มีลักษณะเป็นการประกอบแกนกลางด้วยวัสดุชนิด โครงสร้างร่องผึ้ง โดยมีแผ่นการเป็นตัวเชื่อม ส่วนมากใช้ในผลิตภัณฑ์ที่ต้องการความแข็งแรงและน้ำหนักที่เบา อาทิ ปีกเครื่องบิน



รูปที่ 2.3 วัสดุคอมโพสิตชนิดโครงสร้าง (Structure Composites))  
(German, R. M., 2016)

2.1.2.3 วัสดุคอมโพสิตเสริมแรงด้วยเส้นใย (Fiber-Reinforced Composites) คือ วัสดุคอมโพสิตที่มีเส้นใยเป็นวัสดุเสริมแรง ทั้งนี้ ความสามารถในการเสริมแรงจะขึ้นอยู่กับการ จัดเรียงตัวของเส้นใย ซึ่งอาจจะเป็นการจัดเรียงแบบสุ่มหรือเรียงตัวในทิศทางเดียวกันก็ได้ โดยวัสดุ คอมพอสิตเสริมแรงด้วยเส้นใยสามารถแบ่งออกเป็น 2 ประเภท ตามลักษณะของเส้นใย ได้แก่ เส้นใยสั้น และเส้นไนยา ดังรูปที่ 2.4



รูปที่ 2.4 วัสดุคอมพอสิตเสริมแรงด้วยเส้นใย (German, R. M., 2016)

จากที่กล่าวมานะเห็นได้ว่าคอมพอสิตมีขอบข่ายกว้างครอบคลุมหลากหลายประเภท ข้างต้นแต่ในที่นี้ขอกล่าวถึงเฉพาะวัสดุคอมพอสิตพอลิเมอร์เสริมแรงด้วยเส้นใย เพราะงานวิจัย มุ่งเน้นไปที่วัสดุคอมพอสิตนี้

## 2.2 วัสดุคอมพอสิตพอลิเมอร์เสริมแรงด้วยเส้นใย

คอมพอสิตพอลิเมอร์เสริมแรงด้วยเส้นใยเป็นวัสดุที่มีความแข็งแรงสูง เมื่อเทียบกับน้ำหนัก ลักษณะเฉพาะดังกล่าวสามารถแสดงได้ในรูปของค่าความแข็งแรงจำเพาะ ซึ่งมีค่าเท่ากับอัตราส่วน ระหว่างความด้านทานแรงดึงสูงสุดกับความถ่วงจำเพาะ โดยส่วนประกอบของคอมพอสิต พอลิเมอร์เสริมแรงด้วยเส้นใย คือ วัสดุเนื้อพื้นพอลิเมอร์และเส้นใยโดยการเพิ่มความแข็งแรงของ วัสดุคอมพอสิตพอลิเมอร์เสริมแรงด้วยเส้นใย อาศัยสมบัติของเส้นใยเสริมแรงที่นำมาประกอบผลิต เป็นวัสดุคอมพอสิต เส้นใยเหล่านี้ต้องมีการยึดเกาะตัวกันกับเนื้อพื้นนั้น ได้ดีมีความคงตัว (Stable) ไม่เกิดการเปลี่ยนรูปร่างขึ้นรูป อาจเป็นเส้นไนยาต่อเนื่อง หรือเส้นใยสั้นก็ได้ ดังรูปที่ 2.4 โดยปกติ สมบัติของวัสดุคอมพอสิตจะขึ้นกับปัจจัย 3 ประการ คือ 1) สมบัติของพอลิเมอร์ (เนื้อพื้น) 2) สมบัติของเส้นใยเสริมแรง และ 3) การจัดเรียงตัวของเส้นใยเสริมแรง โดยมีรายละเอียดดังนี้

## 2.2.1 วัสดุเนื้อพื้นพอลิเมอร์

พอลิเมอร์เป็นสารประกอบอินทรีย์ขนาดไม่เล็กๆ ใหญ่ที่มีโครงสร้างเป็นหน่วยซ้ำ เชื่อมต่อกันเป็นสายยาว สำหรับเนื้อพื้นพอลิเมอร์สามารถแบ่งย่อยออกเป็นเนื้อพื้นเทอร์โมเซตติ้ง (Thermosetting Matrix) และ เนื้อพื้นเทอร์โมพลาสติก (Thermoplastic Matrix) ที่มีความแตกต่าง กันในพฤติกรรมเชิงความร้อนของพลาสติกมีรายละเอียด ดังนี้

2.2.1.1 วัสดุพอลิเมอร์ประเภทเทอร์โมเซตติ้งพอลิเมอร์ (Thermosetting Matrix) โครงสร้างเป็นร่างแทหหรือเกิดการเชื่อม โยงกันระหว่างโมเลกุล ซึ่งเป็นผลจากปฏิกิริยาเคมี หรือ โครงสร้างร่างแท (cross links) จำกัดการเคลื่อนไหวของโมเลกุลพอลิเมอร์ และเมื่อได้รับความร้อน จะเสื่อมสภาพ โดยไม่สามารถอ่อนตัว หรือหลอมได้ใหม่ สมบัตินี้ทำให้การนำเทอร์โมเซทกลับมาใช้ใหม่เป็นไปได้ยาก แม้ว่าปัจจุบันจะมีการวิจัยและพัฒนาด้านรีไซเคิลเทอร์โมเซทมากขึ้นก็ตาม พอลิเมอร์เทอร์โมเซทได้แก่ พินอลิกเรชิน อิพอคซี และโพลียูรีเทน เป็นต้น พลาสติกหรือเรชิน เหล่านี้จะใช้งานหรือผ่านขั้นตอนขึ้นรูป ในรูปของเหลวที่มีความหนืดต่ำสามารถไหลไปตามแบบ หรือแม่พิมพ์ได้ จากนั้น เรชินจะถูกบ่มโดยความร้อนหรือสารเร่งปฏิกิริยาเคมีทำให้เกิดการแข็งตัว

2.2.1.2 วัสดุพอลิเมอร์ประเภทเทอร์โมพลาสติก เมื่อได้รับความร้อนจะอ่อนตัว และเมื่อยืนลงจะแข็งตัว สามารถเปลี่ยนรูปได้ พลาสติกประเภทนี้ โครงสร้างโมเลกุลเป็นโซ่อ่อนตัว พาลาสติกที่แข็งตัวแล้วสามารถนำหลอมซ้ำได้ ด้วยความร้อนเทอร์โมพลาสติกจึงเป็นวัสดุที่มี สมบัติเหมาะสมสำหรับการขึ้นรูปเป็นผลิตภัณฑ์ต่าง ๆ ด้วยเทคนิคพื้นฐาน เช่น การนีด การอัดรีด หรือการบีบเป็นเส้นใย ซึ่งเป็นพลาสติกที่ใช้งานทั่วไป ได้แก่ พอลีเอทิลีน (Polyethylene : PE), พอลิพրอพิลีน (Polypropylene : PP), พอลิเมทธิลเมทาคริเลต (Polymethyl Methacrylate : PMMA), ไนลอน (Nylon), และ พอลิเอทธิลีนเทเรฟทาเลต (Polyethylene Terephthalate: PET) เป็นต้น

อย่างไรก็ตามการที่จะเลือกใช้วัสดุเนื้อพื้นชนิดใดนั้นขึ้นอยู่กับสมบัติในการประยุกต์ใช้งานเป็นสำคัญ จากตารางที่ 2.1 แสดงการเปรียบเทียบสมบัติของพอลิเมอร์ แต่ละ ชนิด พบว่า เทอร์โมพลาสติกที่มี ความหนึ่ง夷า เปอร์เซ็นต์การยึดตัวสูง และรับแรงกระแทก ได้ดีกว่า พอลิเมอร์ประเภทเทอร์โมเซท ซึ่งหากพิจารณาพอลิเอทิลีนเทเรฟทาเลตจัดอยู่ในประเภทเทอร์โม พลาสติกที่มี ความหนึ่ง夷า ความสามารถรับแรงดึง เปอร์เซ็นต์การยึดตัว รับแรงกระแทก ได้ดี หาก เปรียบเทียบกับพอลิเมอร์ชนิดในกลุ่มเทอร์โมพลาสติก ซึ่งอาจจะช่วยให้คอมพิวเตอร์ที่มีเนื้อพื้นเป็น พอลิเอทธิลีนเทเรฟทาเลตมีสมบัติด้านความหนึ่ง夷าและรับแรงกระแทก ได้ดีตามไปด้วยกันได้

ตารางที่ 2.1 สมบัติของพอลิเมอร์แต่ละชนิด

Type	Polymer*	Tensile Modulus	Tensile Strength	Elongation	Impact Strength
		GPa (ksi)	MPa (ksi)	%	J/m (ft-lb/in) (notched)
Thermoplastic	Cellulose Acetate	1.59 (230)	37.6 (5.45)	38	150 (2.8)
	Nylon 66	2.07 (300)	72.4 (10.5)	180	80 (1.5)
	Polycarbonate	2.41 (350)	60.7 (8.8)	115	790 (14.8)
	Polyethylene (LD)	0.39 (57)	20.1 (3.0)	570	260 (5.0)
	Poly(ethylene terephthalate)	3.55 (500)	65.5 (9.5)	175	24 (0.45)
	Poly(methylmethacrylate)	3.10 (450)	62.1 (9.0)	6.0	320 (0.4)
	Polypropylene	1.38 (200)	33.8 (4.9)	450	70 (1.3)
	Polysulfone	2.48 (360)	70.3 (10.2)	75	64 (1.2 <sup>a</sup> )
Thermosetting	Polyimide	3.10 (450)	72.4 (10.5)	6.0	59 (1.1)
	Poly(vinylchloride) (rigid)	3.31 (480)	48.2 (7.0)	21	545 (10.2)
	Polyurethane (rigid)	3.55 (500 <sup>b</sup> )	72.4 (10.5)	4.5	320 (0.4)
	Epoxy (cast)	2.41 (350)	58.6 (8.5)	4.5	32 (0.6)

\* ที่มา Polymer Engineering Science and Viscoelasticity: An Introduction (1996), pp. 69

### 2.2.2 เส้นใยเสริมแรง

เส้นใย หมายถึงวัสดุหรือสารใด ๆ ทั้งที่เกิดจากธรรมชาติและที่เกิดจากมนุษย์ สังเคราะห์ขึ้น โดยตัวอย่างเส้นใยธรรมชาติและเส้นใยเสริมแรงที่มีในปัจจุบัน ดังแสดงในตารางที่ 2.2 จากตารางที่ 2.2 เมื่อนำมาเปรียบเทียบสมบัติ พบว่า เส้นใยธรรมชาติ มีความสามารถรับแรงดึงต่ำกว่า เส้นใยสังเคราะห์ เส้นใยธรรมชาติยังมีข้อจำกัดในส่วนของการอายุการใช้งานที่สั้น และ ความสามารถในการทนต่ออุณหภูมิต่ำ ทำให้ไม่ถูกนำมาผลิตเป็นชิ้นส่วนทางวิศวกรรม

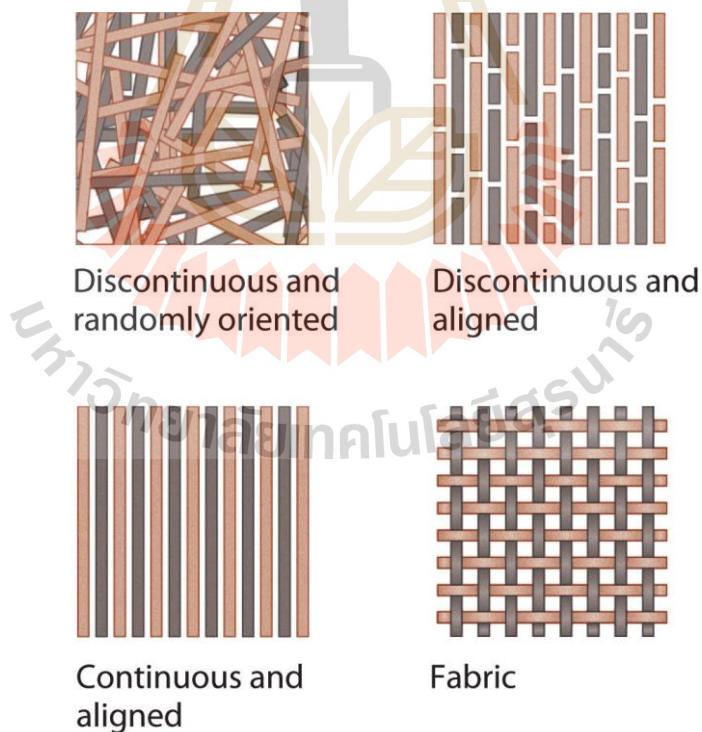
ตารางที่ 2.2 สมบัติของเส้นใยชนิดต่าง ๆ

Fiber	Density (g/cm <sup>3</sup> )	Elongation (%)	Tensile strength (MPa)	Young's Modulus (GPa)
Aramid	1.4	3.3-3.7	3000-3150	63-67
E-glass	2.5	2.5-3	2000-3500	70
S-glass	2.5	2.8	4570	86
Jute	1.3-1.6	1.5-1.8	393-800	10-30
Sisal	1.33-1.5	2-14	400-700	9-38
Bamboo	1.2-1.5	1.9-2.3	500-575	27-40
Oil palm	0.7-1.6	4-8	50-400	0.6-9
Steel fiber AISI1020	7.8	13	648	206
Stainless Steel (316L)	8.0	19.0	1700	193
Stainless Steel (304)	8.06	33	1850 - 2100	240

ที่มา (Balakrishnan, P และคณะ 2016; pp. 365–383.) (Verma, D และ คณะ 2007) Kumar, R และ คณะ 2019) (Menezes, P.L และคณะ 2012; pp. 329–345.)

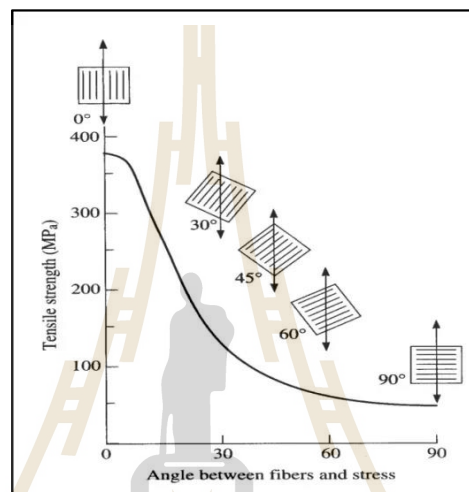
ในขณะที่การเลือกใช้เส้นใยสังเคราะห์ในอุตสาหกรรมผลิตชิ้นส่วนมักนิยมเลือกใช้เส้นใยคาร์บอน เส้นไนเก็ว และ เส้นไยอะรามิก เป็นเส้นใยหลักสามประเภทที่ใช้ในการผลิตเป็นคอมโพสิตพอลิเมอร์เสริมแรงด้วยเส้นใยและ มักถูกตั้งชื่อตามเส้นใยเสริมแรง เช่น CFRP สำหรับ คอมโพสิตพอลิเมอร์เสริมแรงด้วยเส้นใยคาร์บอน สมบัติที่สำคัญที่สุดที่แตกต่างกันระหว่าง ประเภทของเส้นใย คือความแข็งแรงและความเดินดึง แต่เมื่อเทียบเส้นใยเหล็กกล้า-carbon ดำและ เหล็กกล้าความแข็งแรงสูง (Hight strength) จะพบว่า เส้นใยเหล็กกล้าความแข็งแรงสูงมีความ เหนียวและความสามารถยึดตัวได้สูงกว่าเมื่อเทียบกับเส้นใยคาร์บอน ซึ่งนั่นอาจหมายถึง เส้นใยเหล็กกล้าความแข็งแรงสูง เมื่อนำมาเสริมแรงพอลิเมอร์จะ ได้คอมโพสิตที่มีสมบัติเหนียวและ ความสามารถในการรับแรงกระแทก ได้ดีกว่าการใช้เส้นใยเสริมแรง เส้นใยcarbon เส้นไนเก็ว และ เส้นไยอะรามิก

2.2.3 การจัดเรียงตัวของเส้นใยที่มีผลต่อสมบัติวัสดุคอมโพสิตเส้นใยเสริมแรงการขัดเรียงตัวของเส้นใยเสริมแรงสามารถเรียงในวัสดุพื้นหลักได้หลายรูปแบบแต่สามารถแบ่งได้เป็น 4 กลุ่ม ดังแสดงในรูปที่ 2.5 ดังนี้ เส้นใยยาวไม่ต่อเนื่องเรียงแบบสุ่ม (Discontinued and random) เส้นใยยาวไม่ต่อเนื่องเรียงแนวเดียวกัน (Discontinued and aligned) เส้นใยยาวต่อเนื่องเรียงแนวเดียวกัน (Continued and aligned) และ การเรียงเส้นใยยาวต่อเนื่องسانเป็นผืน (Fabric) โดยแต่ละแบบมีสมบัติที่ต่างกัน กล่าวคือ เส้นใยเสริมแรงที่เรียงตัวแบบไม่ต่อเนื่องเรียงสุ่ม (Discontinued and random) สมบัติต้านทานแรงดึงใกล้เคียงกันทุกทิศทาง (ไอโซโทรปิก) แต่ประสิทธิภาพการเสริมแรงเป็น 1 ใน 5 ของชนิดที่เส้นใยเรียงแนวเดียว ส่วนเส้นใยยาวไม่ต่อเนื่องเรียงแนวเดียวกัน (Discontinued and aligned) มักนิยมใช้กับเส้นใยแก้ว สมบัติการต้านทานแรงดึงในทิศทางขนาดเส้นใยจะสูงกว่าทิศทางตั้งฉากมาก แต่สมบัติจะด้อยกว่าเส้นใยยาวต่อเนื่องเรียงแนวเดียวกัน (Continued and aligned) ซึ่งสมบัติการต้านทานแรงดึงในทิศทางขนาดเส้นใยจะสูงกว่าทิศทางตั้งฉากมาก และ การเรียงเส้นใยยาวต่อเนื่องسانเป็นผืน (Fabric) จะมีสมบัติต้านทานแรงดึงในทิศทางตั้งฉากและขนาดกับแรงดึงกว่าแบบอื่น ๆ

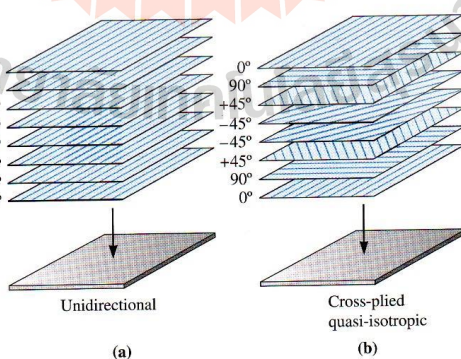


รูปที่ 2.5 รูปแบบการจัดเรียงตัวของเส้นใยในแบบต่าง ๆ ([www.saylordotorg.github.io](http://www.saylordotorg.github.io))

โดยทั่วไปเส้นใยมักถูกจัดวางในแนวศูนย์องศาเพื่อให้อ่ายู่ในแนวเดียวกับทิศทางของความเก็บในขณะที่ความแข็งแรงจะต่ำเมื่อเส้นใยมีการจัดเรียงตัวในทิศทางตั้งฉากกับแนวความเค้นที่มากระทำ ดังแสดงรายละเอียดในรูปที่ 2.6 จากดังกล่าวทำให้วัสดุคอมโพสิตเสริมแรงด้วยเส้นใยมีลักษณะเด่นอีกอย่างหนึ่ง คือ สามารถปรับแนวรับแรงให้เหมาะสมกับสภาพของแรงที่มากระทำ ยิ่งกว่านั้นเราสามารถจัดวางวัสดุเสริมแรงได้หลายชั้นในหลายทิศทางในพื้นหลัก ดังแสดงในรูปที่ 2.7 ทำให้การรับแรงที่ดีเกิดขึ้นได้หลายแนวบนชั้นงานคอมโพสิต



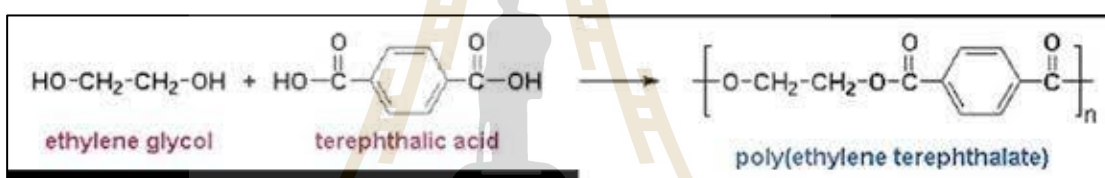
รูปที่ 2.6 ผลของการทิศทางการเสริมแรงของเส้นใยที่มีผลต่อความสามารถในการรับแรงดึง (กิตติพงษ์ กิมพงษ์ และคณะ, 2553)



รูปที่ 2.7 โครงสร้างของวัสดุคอมโพสิตที่มีการจัดเรียงตัวของเส้นใยทิศทางต่าง ๆ หลายชั้น  
 (a) การจัดเรียงตัวของเส้นใยทิศทางเดียวกันซ้อนกันหลายชั้น (b) การจัดเรียงตัวของเส้นใยหลายชั้นและหลายทิศทาง (กิตติพงษ์ กิมพงษ์ และคณะ, 2553)

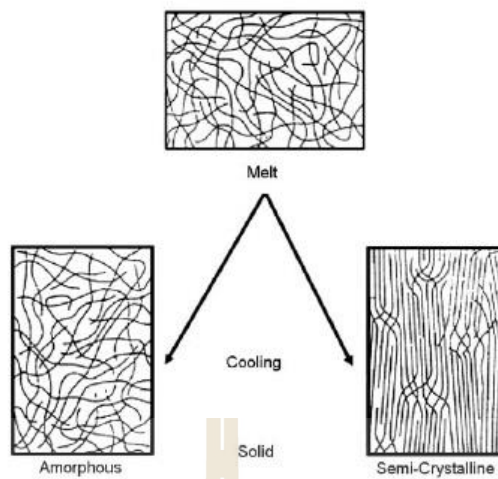
### 2.3 พอลิเอทิลีนเทเรฟทาเลต (Polyethylene Terephthalate: PET)

พอลิเมอร์พอลิเอทิลีนเทเรฟทาเลต (PET) เป็นเทอร์โมพลาสติกพอลิเอทิลีนเทเรฟทาเลต เมื่อได้รับความร้อนจะเกิดการอ่อนตัว โครงสร้างภายในเนื้อพอลิเมอร์จะไม่เกิดการเสื่อมสภาพเมื่อ heat ให้ความร้อนกับพอลิเมอร์และ เมื่อพอลิเมอร์เย็นลงจะกลับมาสภาพเดิมก่อน ถ้าความร้อนที่ให้ไม่สูงเกินไป โดยมีสมบัติเด่นคือ มีความเหนียวและยืดหยุ่น ทนต่อแรงกระแทก จึงไม่แตกเมื่อถูกแรงกดดัน และมีความใส โดยทั่วไป PET มีจุดหลอมเหลวประมาณ 260 องศาเซลเซียส ความหนาแน่นประมาณ 1.38 กรัมต่อลูกบาศก์เซนติเมตร (ที่ 20 องศาเซลเซียส) และ ดัชนีหักเหของแสงอยู่ในช่วง 1.57-1.58 ซึ่งการสังเคราะห์พอลิเอทิลีนเทเรฟทาเลตซึ่งจัดอยู่ในกลุ่มพอลิอสเทอร์ เกิดขึ้นจากปฏิกิริยาพอลิเมอไรซ์ชั้นแบบควบแน่น (condensation polymerization) ด้วยปฏิกิริยาเอนเทอริฟิเคลชั่นระหว่างเอทิลีนไกคลอกับ ไดเมทิลเทเรฟทาเลต หรือระหว่างเอทิลีนไกคลอกับกรดเทเรฟทาเลต โครงสร้างทางเคมีของพอลิเอทิลีนเทเรฟทาเลต แสดงดังรูปที่ 2.8



รูปที่ 2.8 ปฏิกิริยาเอนเทอริฟิเคลชั่นในการผลิตเรซิโนฟพอลิเอทิลีนเทเรฟทาเลต (Speight, J. G.; Lange, Norbert Adolph (2005). pp. 2807–2758.

พลาสติกพอลิเอทิลีนเทเรฟทาเลตนี้ มีทั้งโครงสร้างแบบอสัณฐาน (A-PET) ส่วนที่ไม่เลกูลเรียงตัวกันอย่างไม่เป็นระเบียบ และแบบกึ่งผลึก (Semi-Crystalline) เป็นส่วนที่ไม่เลกูลเรียงตัวกันอย่างไม่เป็นระเบียบและเป็นระเบียบผสมกัน (C-PET) ดังแสดงในรูปที่ 2.9 ซึ่งสมบัติของโครงสร้างทั้งสองแบบมีความต่างค่อนข้างมาก C-PET มีความแข็งแรงสูง แต่ความสามารถในการรับการกระแทกต่ำ ส่วน A-PET จะมีสมบัติในทางกลับกัน

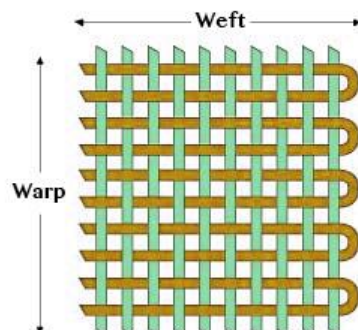


รูปที่ 2.9 จำลองพฤติกรรมเกิดผลึกของพอลิเมอร์พอลิเอทีลีนเทเรฟทาเดต \

(<https://commons.wikimedia.org/>)

#### 2.4 ตะแกรงเหล็กกล้าไร์สันนิม

ตะแกรงเหล็กกล้าไร์สันนิมเป็นการนำเส้นลวดคลายเส้น (จำนวนเส้นขึ้นอยู่กับช่องหรือตะแกรงที่ต้องการ) มาเรียงกันอย่างมีระเบียบตามแนวอนบนไปกับเครื่อง การสานตะแกรงเหล็กกล้าไร์สันนิม มีหลักการพื้นฐานเหมือนกันในทุกรูปแบบการผลิต โดยเลียนแบบจากการ ทอผ้า ซึ่งจะมีเส้นลวดเหล็กกล้าไร์สันนิมในแนวยาว คือ เส้นยืน (Warp) และเส้นลวดในแนวขวาง คือ เส้นผูก (Weft) เส้นลวดยืนจะถูกจัดเรียงตัวบนกันบนแกนที่มีความกว้างใกล้เคียงกับตะแกรง เรียกว่า แกนเส้นยืน (Warp beam) และ ลูกว่างไว้ด้านหลัง ดังแสดงในรูปที่ 2.10 ซึ่งลักษณะการสานนี้มี 4 รูปแบบ ดังรูปที่ 2.11 ดังนี้



รูปที่ 2.10 แสดงหลักการสานตะแกรงกล้าไร์สันนิม (von mirjam hintz , 2020 )

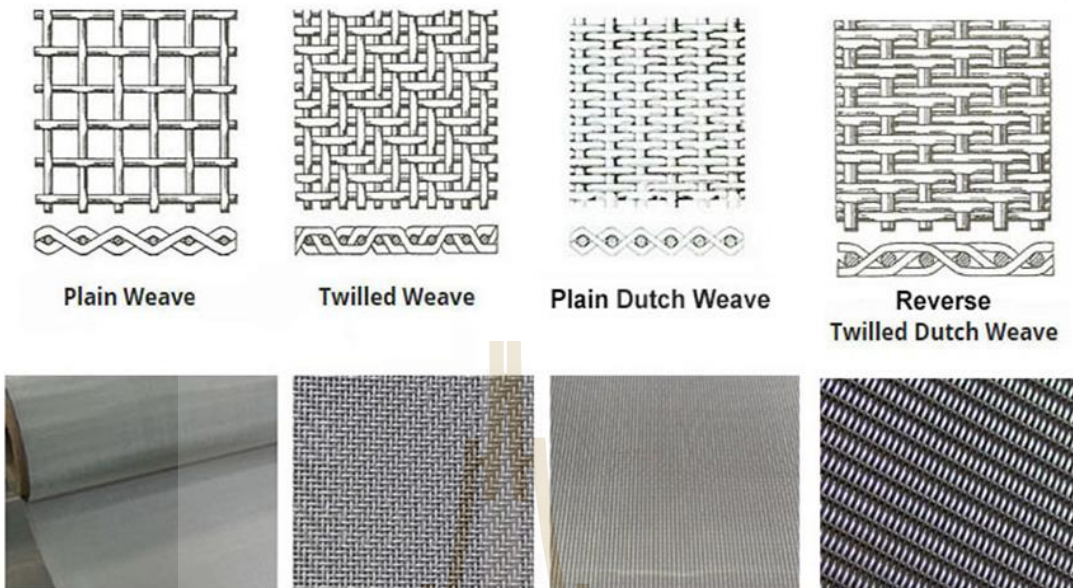
2.4.1 สาานขัดกัน (Plain weave) ลักษณะการสาานจะคล้ายกับการสาานแบบทั่วไป ในขันแรกนำเส้นลวดเดี่นแล้ววงลอดข้างใต้ จากนั้นวงข้ามเส้นต่อไปเรื่อยๆ โดยโครงสร้างจะเป็นแบบการสาาน ขึ้น 1 ลง 1 ทึ้งในลวดแนวตั้ง และแนวอน ลักษณะของจะเป็นสี่เหลี่ยมจัตุรัส

2.4.2 สาานทแยง (Twilled weave) สาานแบบลายทแยง เรียกว่า ลายสอง เป็นตะแกรงที่ใช้ได้ทันทีสุด มีลักษณะเด่นคือ ลวดพุ่งจะสอดขัดกับลวดยืน ทำให้เกิดสันมูนเป็นแนวเส้นทแยงบนตะแกรง ซึ่งอาจมีลายทอแบบทแยงขวาที่เรียกว่า Z-twill และทแยงซ้ายที่เรียกว่า S-twill หรืออาจเป็นแบบผสมที่มีลักษณะทแยงซ้ายขวามาพักกันตรงกลางที่เรียกว่าลายสองพ้อยน์ (Point-twill) ก็ได้

2.4.3 สาานขัดกันแบบดัตช์ (Plain Dutch Weave) ลักษณะการทอจะคล้ายกับ Plain weave แต่มีการสาานเพิ่มขึ้นอีก 1 ขั้น เป็นการสาานแบบ 2 ขั้น โดยโครงสร้างจะเป็นแบบลักษณะขึ้น 1 ลง 1 การทอจะใช้เส้นลวดค้านหนึ่งที่มีขนาดใหญ่และระยะห่างมากกว่าเส้นลวดที่ขัดกันในแนววาง ส่วนอีกค้านหนึ่งการทอ จะใช้เส้นลวดที่มีขนาดเล็ก(ละเอียด) และระยะห่างน้อยจะเรียงชิดกัน เส้น ต่อเส้น จึงทำให้เกิดช่องชิดกัน มีความหนาแน่น ความแข็งแรงและทนทาน มีประสิทธิภาพดีมากกว่าการทอแบบ Plain weave การทอแบบนี้เรียกอีกอย่างหนึ่งว่า” ตะแกรงลายเสือ “

2.4.4 สาานทแยงข้อนกลับ (Reverse Twilled Weave) การทอลักษณะข้อนกลับของการจัดเรียงลวดแบบลายขัดกันแบบดัตช์ Plain Dutch Weave โดยที่ลวดพุ่งที่ละเอียดกว่าจะถูกจัดวางเข้าด้วยกันอย่างแน่นหนาและ มีการทอลวดที่หนาขึ้นตามลวดยืนตามที่กำหนด ลายนี้มีความแข็งแรง เชิงกลไก โดยมีปริมาณของลวดสูงและทำงานได้ดีโดยเฉพาะอย่างยิ่งในการใช้งานตะแกรงแนวตั้ง และแนวอน

### Weave styles:



รูปที่ 2.11 ลักษณะการสานตะแกรงเหล็กกล้าไว้สนิมแบบต่าง ๆ (<https://www.fratellimariani.com/>)

ซึ่งจากการศึกษาข้อมูลเบรียบสมบัติของการสานแต่ละแบบของเส้นใยcarbon ดังแสดงในตารางที่ 2.3

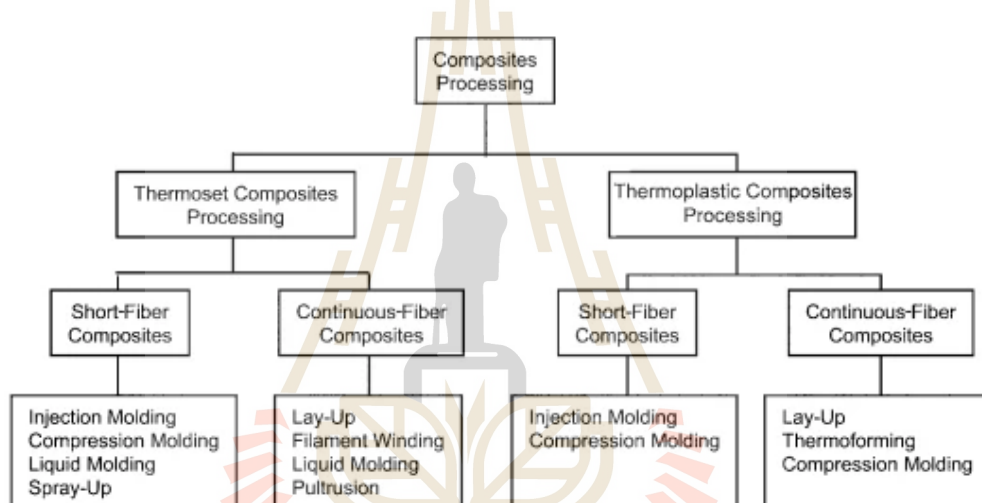
ตารางที่ 2.3 สมบัติของการสานเส้นใยcarbon (<https://www.plastics.g1/>)

Properties	Plain weave	Twilled Weave
Density (kg/m <sup>3</sup> )	1850	1850
Area (kg/m <sup>2</sup> )	1960	1980
Warp/inch & Weft/inch	12	16
Tensile strength (MPa)	0.3	0.147
Elongation %	1.25	1.85

จะเห็นได้ว่าสมบัติของการสานเส้นใยที่ถูกสานต่างกันระหว่างแบบขัดกัน (Plain weave) และสานแนวทแยง (Twilled Weave) มีความหนาแน่นเท่ากัน ซึ่งการสานแบบขัดกัน(Plain weave) มีปริมาณของเส้นใยต่ำกว่าแต่ความสามารถรับแรงดึงได้สูงกว่า (Plain weave) การสานแบบทแยง (Twilled Weave) ซึ่งงานนี้จึงเลือกใช้ตะแกรงเหล็กกล้าไว้สนิมที่สานแบบขัดกัน

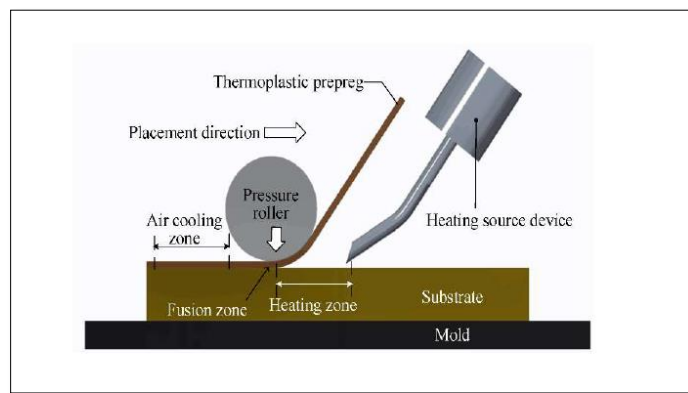
## 2.5 การขึ้นรูปวัสดุคอมโพสิตพอลิเมอร์เสริมแรงด้วยเส้นใย

วิธีการขึ้นรูปวัสดุคอมโพสิตผลิตจากแบงประเกทตามสมบัติ ของวัสดุพื้นและรูปร่างเส้นใย ซึ่งกล่าวโดยสรุปได้ ดังรูปที่ 2.12 การขึ้นรูปวัสดุพอลิเมอร์เสริมแรงด้วยเส้นใยขึ้นอยู่กับพฤติกรรม เชิงความร้อนของพอลิเมอร์เป็นสำคัญ (กิตตพงษ์ กิตตพงศ์, 2533) เพราะหลักการสำคัญคือการ พสมวัสดุพอลิเมอร์เข้ากับเส้นใย ซึ่งเกิดขึ้นได้ดีในขณะที่พอลิเมอร์หลอมเหลวโดยการให้ความร้อนเนื่องจากมีอุณหภูมิหลอมเหลวและขึ้นรูปก่อนที่จะทำให้เย็นตัวลงเพื่อเกิดการคงรูป โดยในอุตสาหกรรมวัสดุคอมโพสิต กระบวนการผลิตคอมโพสิตเทอร์โมพลาสติกเสริมแรงด้วยเส้นใย ต่อเนื่อง (Continuous-Fiber Composites) มีการขึ้นรูปได้หลัก 3 วิธีดังนี้



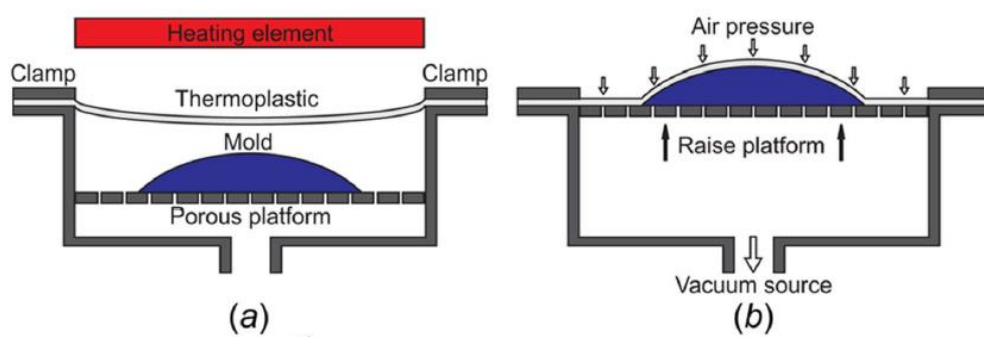
รูปที่ 2.12 กระบวนการขึ้นรูปวัสดุคอมโพสิตเสริมแรงด้วยเส้นใย (Girendra Pal Singh, 2020)

2.5.1 การขึ้นรูปจัดวาง (Lay-up process) ดังรูปที่ 2.13 แสดงการจำลองการขึ้นรูปด้วยการจัดวางพอลิเมอร์กับเส้นใย โดยเริ่มจากการให้ความร้อนพร้อมกับใช้ลูกรีดกดให้เรียบแผ่นพอลิเมอร์เทอร์โมพลาสติก จากนั้น ปูด้วยเส้นใยเสริมแรงลงไปโดยเรียงเป็นชั้น ๆ ตามการออกแบบวิธีการนี้หมายความว่าพอลิเมอร์ที่ขึ้นรูปเป็นแผ่นมาแล้ว



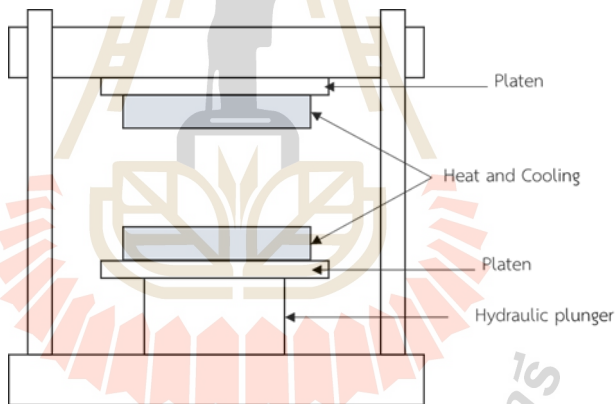
รูปที่ 2.13 การขึ้นรูปด้วย (Lay-up process) (Zhong liang Cao, M., 2020)

2.5.2 กระบวนการขึ้นรูปแบบเทอร์โมฟอร์ม Thermoforming กรรมวิธีการผลิตประเภทอัดขึ้นรูปพลาสติกแผ่น (Thermoforming) เป็นกรรมวิธีซึ่งนำมาใช้ใน อุตสาหกรรม เมื่อปี ค.ศ.1950 เครื่องมือและ เครื่องจักรที่ใช้มีหลายชนิดแตกต่างกันไปแล้วแต่ชนิดการใช้งาน แต่มีหลักการเหมือนกัน คือ นำแผ่นเทอร์โมพลาสติกกับเส้นใยเสริมแรงมาซ้อนกันหลังจากที่ไปให้ความร้อนพลาสติกจนอ่อนตัวแล้วนำไปอัดขึ้นรูปทึ่งให้เย็น แผ่นคอมโพสิตจะคงรูปตามต้องการ กรรมวิธีการผลิตประเภทนี้ใช้กับการผลิตชิ้นงานจำนวนมากไม่มาก บางครั้งจะใช้กับงานออกแบบพลาสติกที่ทดสอบ (Prototype) ซึ่งสามารถทำแม่แบบได้รวดเร็วและใช้ผลิตงานที่มีขนาดใหญ่ได้ แต่จะผลิตได้เร็วกว่าวิธีการขึ้นรูปด้วยมือ (Lay-up process) แต่ต้องลงทุนด้านแม่พิมพ์ จากรูปที่ 2.14 a และ b แสดงตัวอย่างการผลิตด้วยกระบวนการขึ้นรูปแบบเทอร์โมฟอร์ม Thermoforming จากรูปที่ 2.14 a คือ การให้ความร้อนจนคอมโพสิตเริ่มอ่อนตัว และรูปที่ 2.14 b เมื่อคอมโพสิตเริ่มอ่อนตัวก็จะสูญเสียอากาศภายในอุจจันพอลิเมอร์ถูกแม่พิมพ์อัดจนออกมายื่นรูปปร่องตามที่ออกแบบไว้



รูปที่ 2.14 กระบวนการขึ้นรูปแบบเทอร์โมฟอร์ม Thermoforming (Keith Q, 2018)

2.5.3 การอัดขึ้นรูป (Compression molding press, hot press) ดังแสดงรูปที่ 2.15 เป็นวิธีการขึ้นรูปคอมพอยต์ที่มีกระบวนการไม่ซับซ้อน เครื่องมือมีราคาไม่สูง ไม่มีเศษเหลือจากกระบวนการผลิตมากเหมือนกระบวนการอื่นๆ พลาสติก สามารถใช้กับเส้นใยยาวที่เป็นส่วนเสริมแรงในวัสดุคอมพอยต์ และสามารถผลิตในปริมาณต่อครั้งที่สูงกว่า การขึ้นรูปด้วยมือ (Hand lay-up. Hand lay-up process) และ กระบวนการขึ้นรูปแบบเทอร์โมฟอร์ม Thermoforming หลักการจะให้ความร้อนจนพลาสติกอ่อนตัวลงหรือหลอมเหลว จากนั้น ทำการกดอัดด้วยแรงดันเพื่อทำให้พลาสติก固ให้ เกิดเป็นรูปแบบตามแม่พิมพ์ที่กำหนด จากนั้นเมื่อชิ้นงานแข็งตัวแล้วก็ทำปลดออกจากแม่พิมพ์ และ จากการจำลองส่วนประกอบของเครื่องอัดขึ้นรูปร้อน ซึ่งการทำงานของเครื่องที่ใช้ในกระบวนการการกดอัดขึ้นรูปคอมพอยต์ มีส่วนประกอบหลักของเครื่องคือ แผ่นเหล็กอัดจำนวนสองชุด ซึ่งแผ่นหนึ่งสามารถเคลื่อนที่ขึ้นลงได้อิสระแต่หนึ่งจะถูกยึดติดกับที่ไว้ ทำให้สามารถเปิดและปิดแม่พิมพ์ได้ อุปกรณ์ให้ความร้อน ระบบขับเคลื่อน (Hydraulic) และอาจมีอุปกรณ์หล่อเย็นร่วมอยู่ด้วย



รูปที่ 2.15 จำลองส่วนประกอบของเครื่องอัดขึ้นรูป (Compression molding press, hot press)

## 2.6 งานวิจัยที่เกี่ยวข้อง

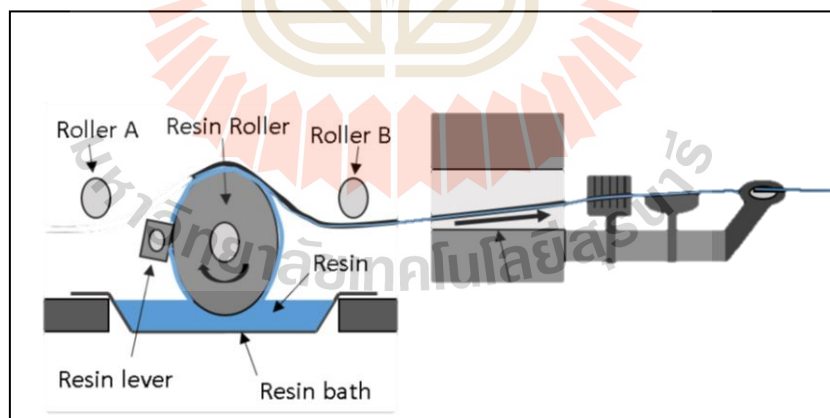
ด้วยงานวิจัยที่ดำเนินการผลิตคอมพอยต์พอลิเอทธิลีนเทเรฟทาเลตเสริมแรงด้วยตะแกรงเหล็กกล้าไร้สนิมยังไม่มีผู้วิจัยจึงได้เลือกงานวิจัยที่ใช้วัสดุกล้ายกัน มาทบทวนการศึกษา โดยมีรายละเอียด ดังนี้

Daniel Tran, 2016 ทดลองเปรียบเทียบวัสดุคอมพอยต์เนื้อพื้นพอลิเมอร์อีพอกซี่เสริมแรงต่างกันระหว่างเส้นใยเหล็กกล้าไร้สนิมเกรด 316 L มีเส้นผ่าศูนย์กลาง 0.8 มิลลิเมตร กับเส้นใยคาร์บอน สมบัติวัสดุในงานวิจัย แสดงดังตารางที่ 2.4 ตัวแปรที่ศึกษาแบ่งออกเป็น 2 ตัวแปร คือ

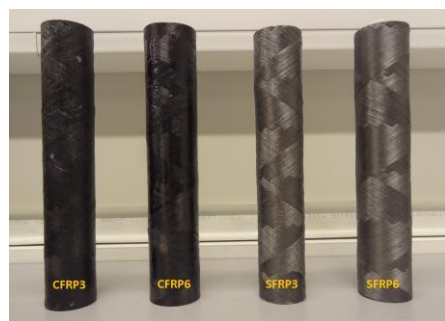
1) ชนิดของเส้นใยเสริมแรง และ 2) จำนวนชั้นตะแกรงเหล็กกล้าไร้สนิม 3 และ 6 ชั้น ขึ้นรูปคอมโพสิตด้วยกระบวนการดึงขึ้นรูปอย่างต่อเนื่อง (Pultrusion Process) ดังแสดงในรูปที่ 2.16 หลังขึ้นรูปลักษณะของชิ้นงานมีรูปร่างเป็นท่อขวาง ดังรูปที่ 2.17 และ นำชิ้นงานทดสอบแรงกดอัดพบว่าวัสดุคอมโพสิตอีพ็อกซี่เสริมไขเหล็กกล้าไร้สนิมเกรด 316 L จำนวน 3 ชั้น รับแรงกดได้ต่ำกว่าวัสดุคอมโพสิตอีพ็อกซี่เสริมแรงด้วยเส้นใย carbon แต่เมื่อคอมโพสิตอีพ็อกซี่เสริมแรงด้วยตะแกรงเหล็กกล้าไร้สนิมเกรด 316 L จำนวน 6 ชั้น มีความสามารถในการรับแรงกดอัดและยืดตัวได้สูงกว่า คอมโพสิตอีพ็อกซี่เสริมแรงด้วยเส้นใย carbon ดังรูปที่ 2.18 รูปที่ 2.19 รูปที่ 2.20 และรูปที่ 2.21

ตารางที่ 2.4 สมบัติของวัสดุในงานวิจัย

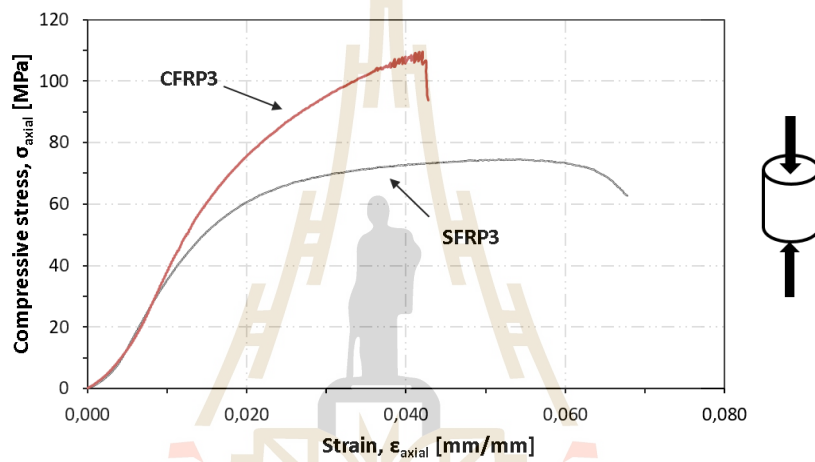
วัสดุ	E (GPa)	$\sigma_{UTS}$ (MPa)	Elongation (%)	Density (g/cm <sup>3</sup> )
316L stainless steel fiber (d=8 μm)	193	1700	19.0	8.0
T700SC Carbon fiber (d=7μm)	230	4900	1.2	1.8
EPIKOTE MGS RIM 135 epoxy Resins	3.2	65	12	1.2



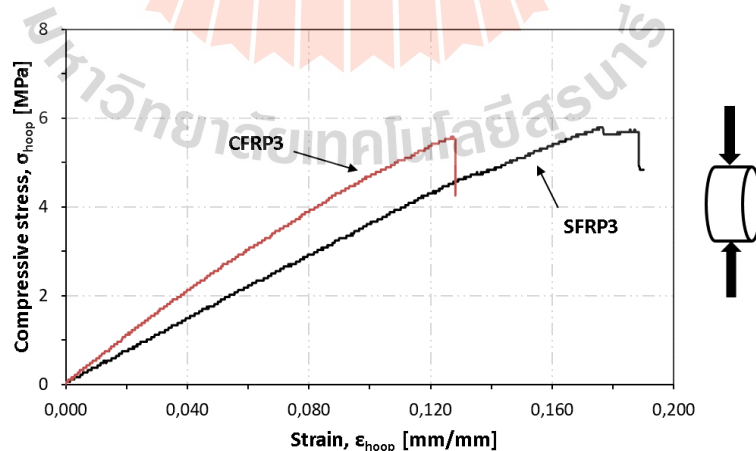
รูปที่ 2.16 กระบวนการดึงขึ้นรูปอย่างต่อเนื่อง (Pultrusion Process)



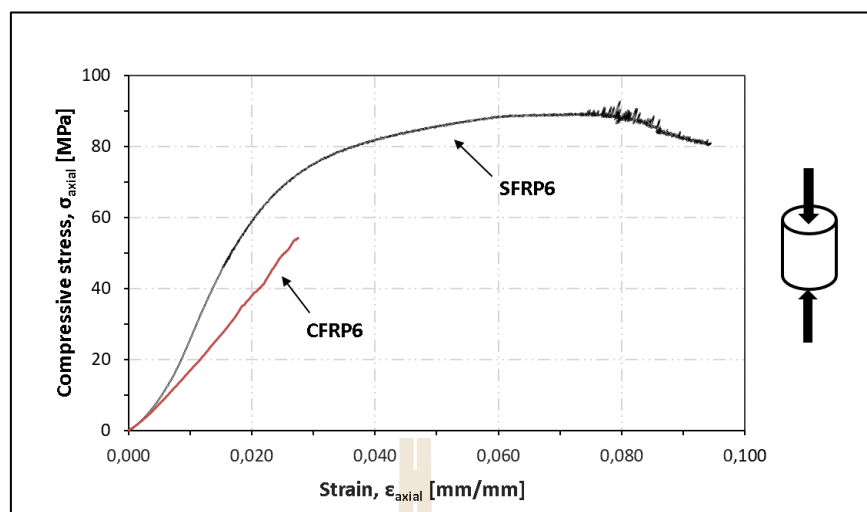
รูปที่ 2.17 ชิ้นงานวัสดุคอมโพลิตหลังผ่านการขึ้นรูป



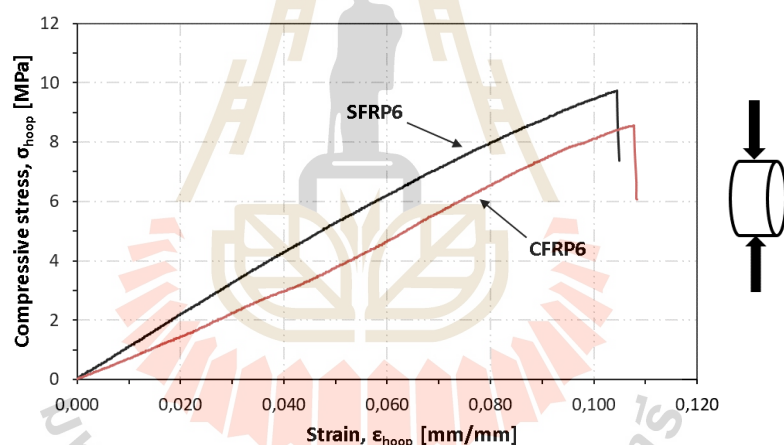
รูปที่ 2.18 ผลทดสอบแรงกดอัดชิ้นงานเสริมแรงเส้นใย 3 ชั้น ในแนวตั้ง



รูปที่ 2.19 ผลทดสอบแรงกดอัดชิ้นงานเสริมแรงเส้นใย 3 ชั้น ในแนวอน

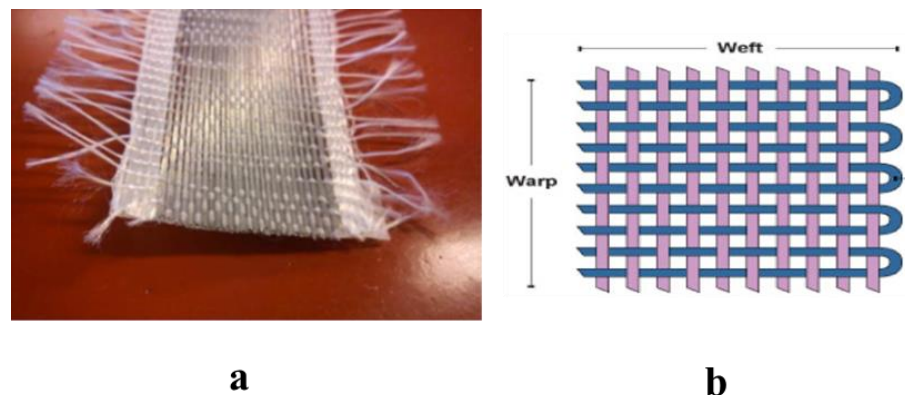


รูปที่ 2.20 ผลทดสอบแรงกดอัดชิ้นงานเสริมแรงเส้นใย 6 ชั้น ในแนวอนุ



รูปที่ 2.21 ผลทดสอบแรงกดอัดชิ้นงานเสริมแรงเส้นใย 6 ชั้น ในแนวอนุ

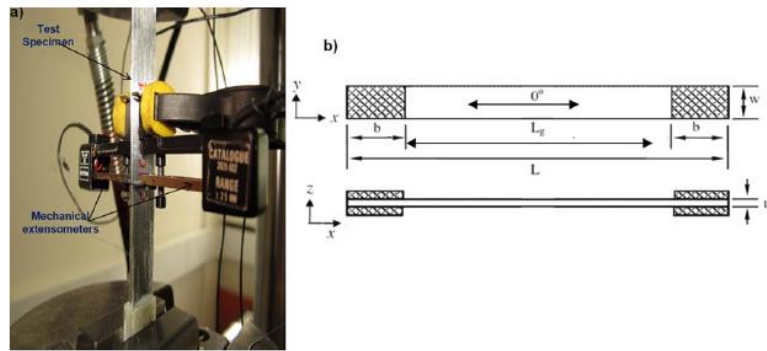
R.T. Durai Prabhakaran และคณะ ได้ทดลองผลิตวัสดุคอมโพสิตพอลิเมอร์ชนิดอีพอกซี่ เสริมแรงเส้นใยเหล็กกล้าไร้สนิมเกรด 316L มีเส้นผ่าศูนย์กลางขนาด 0.21 มิลลิเมตร โดยสำนับเป็น ผืนกับเส้นใยพอลิเอทีลีนเทเรฟทาเลต ดังรูปที่ 2.22 ตัวแปรการทดลอง คือ จำนวนชั้นเสริมแรง 1 และ 2 ชั้น ด้วยวิธีการเทคนิคฉีดสูญญากาศ (Vacuum infusion technique) ดังรูปที่ 2.23 และ ทดสอบแรงดึงในทิศทางเดียว (Unidirectional) ดังรูปที่ 2.24 และตรวจสอบโครงสร้างภาคตัดขวาง ระดับจุลภาคของคอมโพสิต



รูปที่ 2.22 ลักษณะเส้นใยเหล็กที่ลูกสานเป็นผืน (Steel fabric) และ เส้นใยโพลิเอทีลีนเทเรฟทา เลटเป็นเส้นยืน (Weft yarns) เส้นผ่าศูนย์กลาง 0.30 มิลลิเมตร (a) ผืนเส้นใย (b) จำลองการสาน

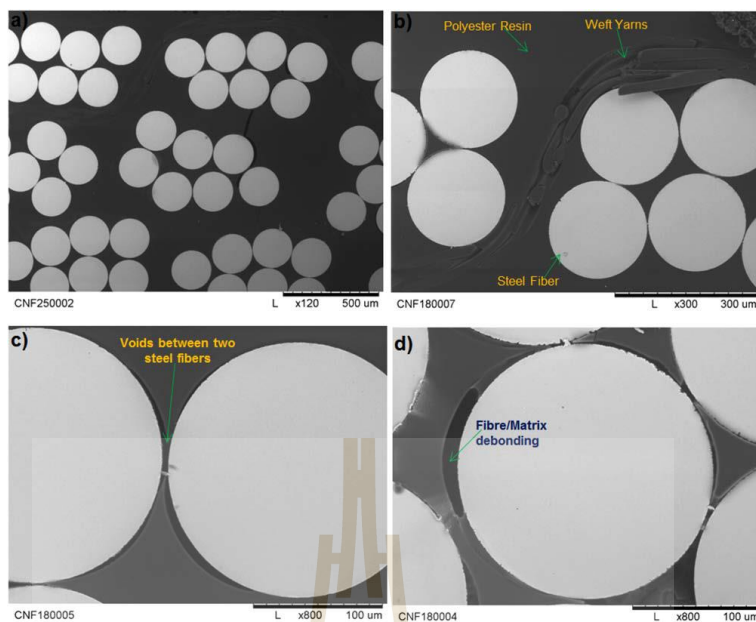


รูปที่ 2.23 วิธีการขึ้นรูปด้วยเทคนิค (Vacuum infusion) ขึ้นงานวัสดุคอมโพสิตอีพอกซีเสริมแรง ด้วยเส้นใยเหล็กกล้าไร้สนิมเกรด 316L งานกับเส้นใยโพลิเอทีลีนเทเรฟทาเลต



รูปที่ 2.24 การทดสอบแรงดึง (Tensile test) และจำลองลักษณะชิ้นงานคอมพิวเตอร์ที่ใช้ทดสอบ  
แรงดึง

จากการศึกษาของงานวิจัยดังกล่าว พบว่า วัสดุคอมพิวเตอร์อีพ็อกซี่เสริมแรงด้วยเส้นใยเหล็กกล้าไร้สนิมเกรด 316L สามารถทนเส้นใยพอลิเอทิลีนเทเรฟทาเลตจำนวน 2 ชั้น ได้ดีกว่าเส้นใยพอลิเอทิลีนเทเรฟทาเลตจำนวน 1 ชั้น และจากการตรวจสอบโครงสร้างภาพระดับมหภาคภาคตัดขวางคอมพิวเตอร์ ดังรูปที่ 2.25 a และ 2.25 b พบข้อบกพร่องในเนื้อวัสดุคอมพิวเตอร์ ว่ามีช่องว่าง บริเวณ รอยประสานของเส้นใยเสริมแรงและเนื้อพื้น และที่กำลังขยายสูงขึ้นดังรูปที่ 2.25c และ 2.25 d พบว่าเกิดการแยกตัว (Deboning) ณ ตำแหน่งดังกล่าว อาจเกิดจากความสามารถในการประสานกันไม่ดี อีกทั้งการสานเส้นเหล็กกล้าไร้สนิมและเส้นใยพอลิเอทิลีนเทเรฟทาเลต พบว่าเส้นใยพอลิเอทิลีนเทเรฟทาเลตขาดและแยกออกจากเนื้อพื้นดังรูปที่ 2.25 b

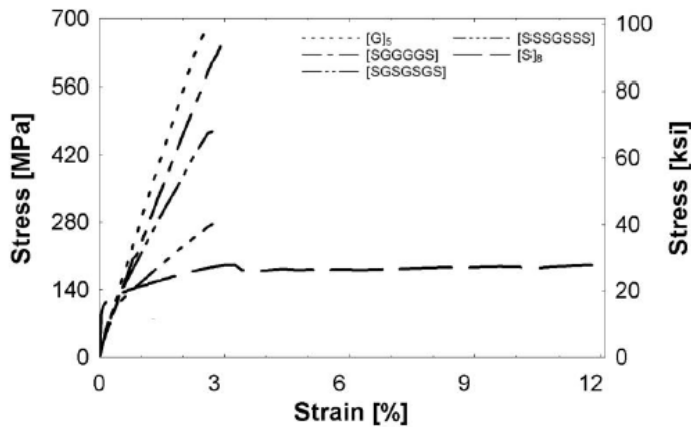


รูปที่ 2.25 ภาพถ่ายภาคตัดขวางชิ้นงานวัสดุคอมโพสิตเสริมแรงด้วยแผ่นใย 2 ชั้น (a) ภาพถ่ายโดยรวมของชิ้นงาน (b) การประสานกันระหว่างแผ่นใยเหล็กที่สำนเป็น แผ่นกับเมทริกซ์ (c) ช่องว่างระหว่างจุดที่ติดกันของเส้นใยเหล็กที่สำนกับเมทริกซ์ (d) การประสานกันระหว่างเส้นใยเหล็กที่สำนเป็นแผ่นกับเนื้อพื้นที่กำลังขยายสูง

Amanda K. McBride และคณะ, 2017 ได้ทดลองเปรียบเทียบความสามารถในการรับแรงของ วัสดุคอมโพสิตพอลิเมอร์ชนิดอีพ็อกซี่เสริมแรงด้วยเส้นใยแก้วและเส้นใยเหล็กกล้าไร้สนิมเกรด 316L ที่สัดส่วนต่างๆ ดังตารางที่ 2.5 และทดสอบแรงดึง ได้ผลการทดสอบดังรูปที่ 2.26

ตารางที่ 2.5 สัดส่วนของเส้นใยเสริมแรง

Layer Notation	Glass fiber fraction	Steel fiber friction	Total fiber volume fraction
[G] <sub>s</sub>	34.7± 0.1%	-	34.7± 0.1%
[SGGGGS]	28.2± 0.1%	8.2%	36.4± 0.1%
[SGSGSS]	20.3± 0.2%	15.7± 0.2%	36.0± 0.4%
[SSSGSSS]	6.5%	22.8± 0.1%	29.3± 0.2%
[S] <sub>s</sub>	-	30.9± 0.5%	30.9± 0.5%



รูปที่ 2.26 วัสดุคอมโพสิตพอลิเมอร์ชนิดอี้พอกซีเสริมแรงด้วยเส้นใยแก้วและเส้นไยเหล็กกล้า  
ไรสันิมเกรด 316 L ที่ปริมาณต่าง ๆ

จากรูปที่ 2.24 วัสดุคอมโพสิตพอลิเมอร์ชนิดอี้พอกซีที่เสริมแรงด้วยเส้นใยแก้วให้ความสามารถในการรับแรงดึงสูงกว่าคอมโพสิตพอลิเมอร์ชนิดอี้พอกซีที่เสริมแรงด้วยเส้นไยเหล็กกล้าไรสันิม ในขณะเดียวกันเส้นใยเหล็กกล้าไรสันิมมีความสามารถในการยึดได้สูง

จากการศึกษาที่ต่อไปนี้ ข้างต้นจะเห็นได้ว่า วัสดุคอมโพสิตที่เสริมแรงด้วยเส้นใยเหล็กกล้าไรสันิม มีสมบัติในการรับแรงดึงและยึดตัวดี ในขณะเดียวกันยังพบรอยแยก รอยประสาร ระหว่างเนื้อพื้นและเส้นใยเสริมแรง ดังนั้น การเลือกใช้พ้อทีลีนเทเรฟทาเลตเสริมแรงด้วยเป็นเนื้อพื้นที่สามารถเชื่อมกับเส้นใยเหล็กกล้าไรสันิม น่าจะทำให้ปัญหาการแยกตัวของเนื้อพื้นกับเส้นใยลดลงได้

## บทที่ 3

### วัสดุ อุปกรณ์ และ ระเบียบวิธีการดำเนินการ

ในบทนี้ผู้วิจัยอธิบายถึงวัสดุและอุปกรณ์ ที่ใช้ในการศึกษางานวิจัยที่ต้องการความคุณ เป็นอย่างดี เพื่อให้ผลงานวิจัยที่มีความถูกต้องน่าเชื่อถือ นอกจากนี้ในบทนี้ผู้วิจัยยังกล่าวถึง ภาพรวมของขั้นตอนการดำเนินงานวิจัยอีกด้วย

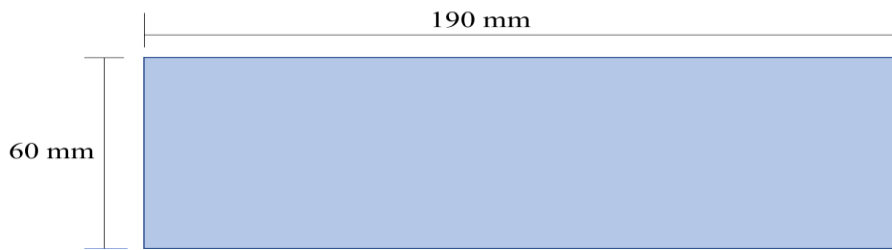
#### 3.1 วัสดุ

วัสดุที่นำมาขึ้นรูปเป็นชิ้นงานวัสดุคอมพอยสิตในการศึกษานี้ประกอบไปด้วยวัสดุ 2 ประเภท ดังนี้

3.1.1 พอลิเอทิลีนเทเรฟทาเลต (Polyethylene terephthalate, PET) ซึ่งในงานวิจัยนี้ใช้ สัญลักษณ์ย่อ PET ในเนื้อหาต่อไป มีขนาดก่อนตัดกว้าง 300 มิลลิเมตร ยาว 450 มิลลิเมตร และ ความหนา 0.5 มิลลิเมตร พลิต โดยบริษัท Acrysunday ประเทศญี่ปุ่น ดังรูปที่ 3.1 และจะถูก นำมาใช้เป็นวัสดุเนื้อพื้น ซึ่งมีสมบัติทั่วไปดังตารางที่ 3.1 โดยแผ่น PET จะถูกตัดด้วยเครื่องตัด แผ่นวงจรเพื่อให้ได้ขนาดกว้าง 60 มิลลิเมตร ยาว 190 มิลลิเมตร ดังรูปที่ 3.2 ในการนำไปขึ้นรูปเป็น ชิ้นงานคอมพอยสิต



รูปที่ 3.1 แผ่นพอลิเอทิลีนเทเรฟทาเลต (Polyethylene terephthalate, PET)



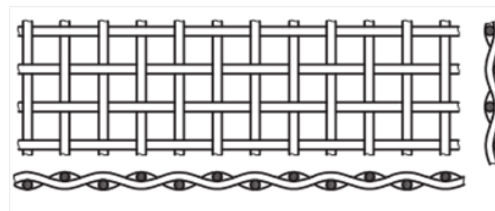
รูปที่ 3.2 ขนาดชิ้นงานพอลิอีทิลีนเทเรฟทาเลต (PET) ก่อนขึ้นรูปเป็นชิ้นงานคอมโพสิต

ตารางที่ 3.1 สมบัติทั่วไปของพอลิอีทิลีนเทเรฟทาเลต

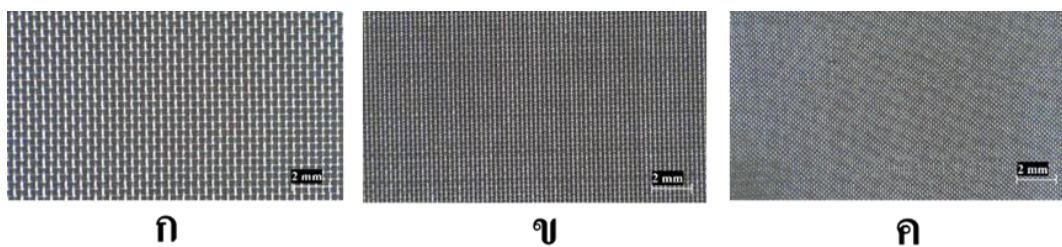
วัสดุ	ความหนาแน่น (g/cm <sup>3</sup> )	จุดหลอมเหลว (°C)	อุณหภูมิสภาพ แก้ว (°C)	สัมประสิทธิ์การขยายตัวเชิง ความร้อน (Wm <sup>-1</sup> K <sup>-1</sup> )
PET	1.2	260	75	0.15-0.24

หมายเหตุ ข้อมูลความหนาแน่นได้จากการทดลอง และ ข้อมูลอื่น ๆ จาก (พิมพ์เพ็ญ พรเฉลิมพงศ์, 2010)

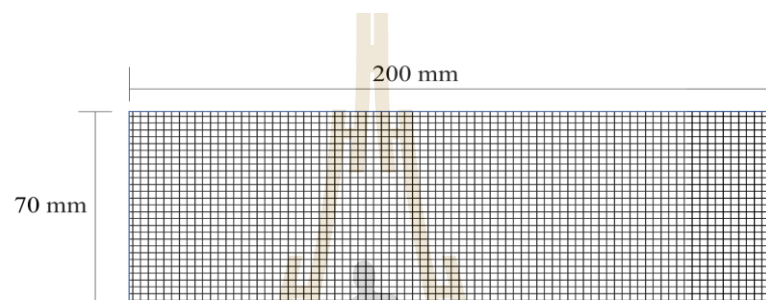
3.1.2 ตะแกรงเหล็กกล้าไร้สนิมเกรด 304 (SUS304) โดยสั่งซื้อจากบริษัท ยูโคลจิ กรุ๊ป (ไทยแลนด์) จำกัด ถูกนำมาใช้เป็นวัสดุเสริมแรง จำนวน 3 ขนาด คือ 1) เมช (Mesh) 60 2) เมช 100 และ 3) เมช 200 ตามลำดับ โดยเหล็กกล้าไร้สนิมทำตะแกรงมีส่วนผสมทางเคมีดังตารางที่ 3.2 สำหรับการสานตะแกรงเป็นการสานแบบธรรมชาติทั่วไป (Plain Weave) (Suwaninpang 2019) คล้ายกับการทำผ้าทั่วไป ที่นำเส้นลวดคาดกันแบบข้ามเส้นต่อไปเรื่อย ๆ โดยโครงสร้างจะเป็นแบบลักษณะ ขึ้น 1 ลง 1 ซึ่งการสานจะใช้เส้นลวดแนวตั้ง และเส้นลวดนอน ดังรูปที่ 3.3 และ รูปที่ 3.4 แสดงความแตกต่างของตะแกรงแต่ละขนาดเมมที่ใช้ในโดยขนาดและสมบัติของตะแกรงเหล็กกล้าไร้สนิมแต่ละเมชแสดงดังตารางที่ 3.3 ก่อนนำตะแกรงเหล็กกล้าไร้สนิมไปขึ้นรูปเป็นชิ้นงานคอมโพสิตจะตัดให้ได้ขนาดความกว้าง 70 มิลลิเมตร ยาว 200 มิลลิเมตร ดังรูปที่ 3.5



รูปที่ 3.3 ลักษณะจำลองการสานลวดตะแกรงเหล็กกล้าไร้สนิมแบบธรรมชาติทั่วไป  
(Plain Weave) ที่มา [www.meshfromchina.com](http://www.meshfromchina.com)



รูปที่ 3.4 การสานของตะแกรงลวดเหล็กกล้าไร้สนิมขนาดเมช (ก) เมช 60 (ข) เมช 100 และ (ค) เมช 200 ตามลำดับ



รูปที่ 3.5 ขนาดชิ้นงานตะแกรงเหล็กกล้าไร้สนิมก่อนนำไปขึ้นรูป

ตารางที่ 3.2 ส่วนผสมทางเคมีของตะแกรงเหล็กกล้าไร้สนิม เกรด SUS 304

Component (ธาตุ)	C	Si	Mn	P	S	Cr	Ni
Mesh size (ขนาด เมช)							
60	0.055	0.430	1.180	0.030	0.025	18.000	8.380
100	0.035	0.500	1.050	0.027	0.005	17.520	8.200
200	0.055	0.430	1.180	0.030	0.025	18.000	8.380

หมายเหตุ ข้อมูลจากบริษัท ยูโลจิ กรุ๊ป (ไทยแลนด์) จำกัด

ตารางที่ 3.3 ขนาดและสมบัติของตะแกรงลวดเหล็กกล้าไร้สนิมเกรด SUS 304

เบอร์ตะแกรง (Mesh size)	เส้นผ่าศูนย์กลาง (mm)	ความสามารถรับแรงดึง (N) ชิ้นงานกว้าง 15 มิลลิเมตร	น้ำหนักต่อพื้นที่ 30x30 mm (g)
60	0.15	485	0.5138
100	0.10	386	0.6267
200	0.051	314	0.4901

หมายเหตุ ข้อมูลจากการความสามารถในการรับแรงดึงและน้ำหนักได้จากการทดลอง และบริษัท  
ยูโอลีจี กรุ๊ป (ไทยแลนด์) จำกัด

### 3.2 อุปกรณ์

เครื่องมือและอุปกรณ์ที่ใช้ในการศึกษาในงานวิจัยมีดังนี้

3.2.1 เครื่องอัดขึ้นรูป (Compression molding) รุ่น MODEL PR2D-W300L350 PM-WCL แสดงดังรูปที่ 3.6 เป็นเครื่องมือสำหรับขึ้นรูปวัสดุคอมโพสิตด้วยการกดอัดร่วมกับการให้ความร้อน การทำงานแรงอัดจะถูกให้โดยระบบไฮดรอลิกอัดที่แผ่นอัดผ่านแม่พิมพ์ส่วนบน และส่วนล่างที่เคลื่อนที่เข้าหากัน โดยเครื่องทำงานต่อเนื่องอัดโน้มติดด้วยอุณหภูมิ และเวลาในการขึ้นรูป ตามสภาพที่ต้องการ ซึ่งเครื่องอัดปรับอุณหภูมิสูงสุดได้ 280 องศาเซลเซียส และแรงอัดได้สูงสุด 2500 psi โดยขนาดของแม่พิมพ์ไม่เกิน 300x350 มิลลิเมตร



รูปที่ 3.6 เครื่องอัดขึ้นรูป (Compression molding) รุ่น MODEL PR2D-W300L350 PM-WCL

3.2.2 เครื่องตัดแผ่นวงจรพิมพ์ SHR-150 (PCB Shearing Machine SHR-150) ดังรูปที่ 3.7 ใช้สำหรับตัดชิ้นงานวัสดุคอมพ�สิตหลังจากขึ้นรูปซึ่งเป็นเครื่องตัดชนิดตั้ง โต๊ะทำงานด้วยมือ ออกแบบสำหรับตัดแผ่นวงจรพิมพ์โดยการตัดการซึ้งงานจะใช้แรงเฉือนบนวัสดุแยกออกจากตำแหน่งที่ตัด ซึ่งเครื่องตัดสามารถตัดวัสดุที่มีลักษณะเป็นแผ่น เช่น พลาสติก อลูมิเนียม ทองเหลือง กลาสไฟเบอร์ อนึ่งการตัดดังกล่าวจะทำให้ขอบตัดเกิดการเสียรูป เพื่อกำจัดผลของการเสียรูปหลังการตัดด้วยเครื่องดังกล่าว ผู้วิจัยจะใช้การขัดขอบของชิ้นงานคอมพอยติอีกรอบ ด้วยกระดาษทรายเบอร์ 400



รูปที่ 3.7 เครื่องตัดแผ่นวงจรพิมพ์ SHR-150

3.2.3 เครื่องขัด ดังรูปที่ 3.8 เครื่องขัดกระดาษทรายแบบงานหมุนยึด Laizhou Huayin รุ่น Mopao2DE เป็นเครื่องขัดชนิดงานคู่ ซึ่งมีขนาดเดือนผ่านศูนย์กลางไม่น้อยกว่า 250 มิลลิเมตร งานขัดขับเคลื่อนด้วยมอเตอร์ปรับความเร็วในการหมุนของงานขัดสูงสุดได้ 600 ต่อนาที สามารถใช้น้ำหล่อเย็นขณะขัดชิ้นงาน



รูปที่ 3.8 เครื่องขัดชิ้นงานแบบงานหมุน

3.2.4 เครื่องทดสอบแรงดึงอเนกประสงค์ อเนกประสงค์ (Universal Testing Machine หรือ UTM) ) ขนาด 5 กิโลนิวตัน ยี่ห้อ Instron รุ่น 5565 แสดงในรูปที่ 3.9 เป็นเครื่องมือที่ใช้สำหรับการทดสอบหาความสามารถในการรับแรงดึงสูงสุดของชิ้นงานคอมโพสิตหลังขึ้นรูป



รูปที่ 3.9 เครื่องทดสอบแรงดึงขนาด 5 กิโลนิวตัน (kN)

3.2.5 ชุดเครื่องมือสำหรับการประเมินความหนาแน่นของวัสดุ ดังรูปที่ 3.10 ยี่ห้อ METTLER TOLEDO Mettler Toledo รุ่น ML-series เป็นชุดอุปกรณ์ในการซั่งน้ำหนักของชิ้นงานวัสดุคอมโพสิตทั้งในน้ำ และในบรรยากาศ เพื่อคำนวณหาความหนาแน่นของวัสดุคอมโพสิต ซึ่งชุดเครื่องมือดังกล่าวประกอบด้วย เครื่องซั่งน้ำหนักแบบดิจิตอลทนน้ำ 4 ตำแหน่ง และ บีกเกอร์ขนาด 250 มิลลิลิตร ใช้บรรจุน้ำสำหรับการซั่งน้ำหนักในน้ำ หลังจากซั่งน้ำหนักในบรรยากาศและน้ำ ค่าน้ำหนักที่ได้จะถูกนำมาคำนวณตามสมการที่ 3.1 เพื่อหาค่าความหนาแน่นของวัสดุคอมโพสิต

$$\rho_c = \frac{A}{A-B} (\rho_0 - \rho_l) + \rho_L \quad (3.1)$$

$\rho_c$	คือ	ความหนาแน่นของวัสดุคอมโพสิต
$\rho_0$	คือ	ความหนาแน่นของน้ำข้ามทดสอบ
$\rho_L$	คือ	ความหนาแน่นของอากาศขณะทดสอบ
A	คือ	น้ำหนักของวัสดุคอมโพสิตชั้งในอากาศ
B	คือ	น้ำหนักของวัสดุคอมโพสิตชั้งในน้ำ



รูปที่ 3.10 ชุดอุปกรณ์สำหรับทดสอบความหนาแน่น

3.2.6 กล้องจุลทรรศน์สเตอริโอ ชื่อ Leica รุ่น EZ4D พร้อมชุดแสดงภาพที่มีโปรแกรมแสดงรูปที่ 3.11 มีเลนส์ตัวกำลังขยาย 10 เท่า มีกำลังขยายในช่วง 8 ถึง 35 เท่า เป็นเครื่องมือที่ใช้สำหรับถ่ายภาพภาคโครงสร้างภาชนะด้วยระดับมหภาคของชิ้นงานคอมโพสิต



รูปที่ 3.11 กล้องถ่ายภาพสเตอริโอ

3.2.7 ไมโครมิเตอร์ (Micrometer) ยี่ห้อ มิตูโตโย (Mitutoyo) รุ่น 103-129 สเกลวัด 0 - 25 มิลลิเมตร ความละเอียดของการวัด 0.001 มิลลิเมตร ดังรูปที่ 3.12 ใช้สำหรับวัดความหนาของชิ้นงานคอมพอสิตหลังบึ้นรูป



รูปที่ 3.12 ไมโครมิเตอร์

3.2.8 เวอร์เนียคลิปเปอร์ (Vernier Caliper) ยี่ห้อ Mitutoyo รุ่น 513-128 ดังรูปที่ 3.13 โดยเวอร์เนียคลิปเปอร์มีสเกลวัด 0 ถึง 150 มิลลิเมตร เป็นแบบอ่านค่าด้วยผู้ใช้งาน (MANUAL) ความละเอียดของการวัดจะเท่ากับ 0.02 มิลลิเมตร ใช้สำหรับวัดขนาดด้านอื่น ๆ ของชิ้นงาน



รูปที่ 3.13 เวอร์เนียคลิปเปอร์

3.2.9 กล้องจุลทรรศน์อิเล็กตรอนแบบส่องกราด (Scanning Electron Microscope / SEM) รุ่น JEOL JSM-6010LV ดังรูปที่ 3.14 ใช้สำหรับถ่ายภาพผิวเรียบแตกหักของชิ้นงานคอมพอสิตหลังทดสอบแรงดึง โดยก่อนถ่ายภาพชิ้นงานคอมพอสิตจำเป็นต้องผ่านการเคลือบทอง (Au-sputtering) ด้วยเครื่อง Neo-Coater รุ่น MP19020NCTR ดังแสดงในรูปที่ 3.15 เป็นเวลา 2 นาที เพื่อทำให้ผิวชิ้นงานนำไฟฟ้าได้



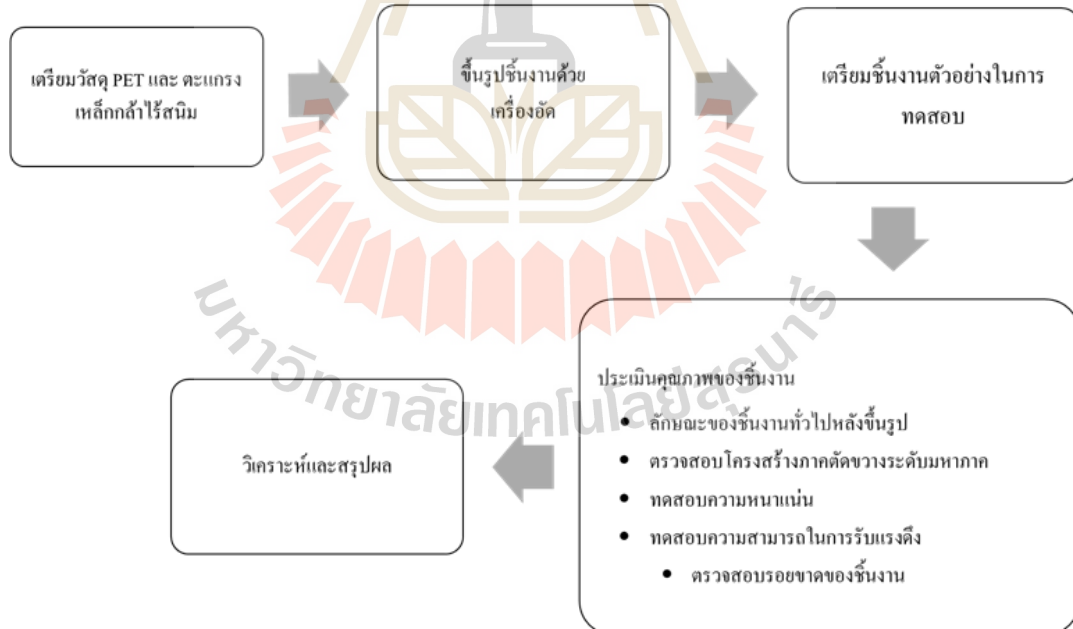
รูปที่ 3.14 กล้องจุลทรรศน์อิเล็กตรอนแบบส่องกราด



รูปที่ 3.15 เครื่องเคลือบพลาสติก

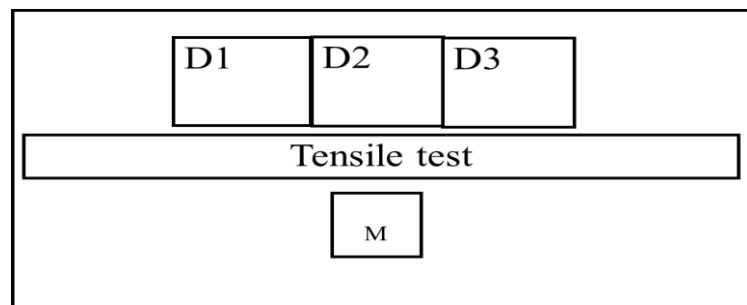
### 3.3 ขั้นตอนการดำเนินงานวิจัยทั่วไป

ภาพรวมขั้นตอนการดำเนินงานวิจัยแสดง ดังรูปที่ 3.16 จากรูปที่ 3.16 ขั้นตอนการดำเนินงานวิจัยเริ่มจากการเตรียมวัสดุที่ใช้ผลิตวัสดุคอมโพสิต ซึ่งประกอบไปด้วย 1) แผ่นพอลิเอทิลีนเทเรฟทาเลต ใช้สำหรับผลิตเป็นวัสดุเนื้อพื้น โดยก่อนที่จะนำไปขึ้นรูปได้ทำการตัดแผ่นพอลิเอทิลีนเทเรฟทาเลต ด้วยเครื่องตัดแผ่นวงจรพิมพ์ให้ได้ขนาด  $60 \times 190$  มิลลิเมตร และ 2) วัสดุเสริมแรงทะแกร่งเหล็กกล้าไร้สนิม ถูกตัดด้วยกรรไกรตัดโลหะให้ได้ขนาด  $70 \times 200$  มิลลิเมตร หลังจากการตัดวัสดุทั้งสองจะถูกนำมาผลิตเป็นวัสดุคอมโพสิตแล้ว ขั้นตอนถัดมาคือ การขึ้นรูปชิ้นงานคอมโพสิตด้วยเครื่องอัด (Compression molding machine) โดยนำวัสดุมาเรียงประบกกันเพื่อผลิตวัสดุคอมโพสิตเสริมแรงด้วยแรงแกร่งเหล็กกล้าไร้สนิมจำนวน 1 ชั้น และ 2 ชั้น ที่ทิศทางการวางตะแกรงเหล็กกล้าไร้สนิม 0 องศา และ 45 องศาเทียบกับแนวยาวของแผ่นพอลิเอทิลีนเทเรฟทาเลต ซึ่งการขึ้นรูปแต่ละประเภทของวัสดุคอมโพสิตการศึกษานี้จะถูกอธิบายในรายละเอียดในบทที่ 4 และบทที่ 5 หลังจากขึ้นรูปวัสดุคอมโพสิตเสริมแรงจะถูกนำไปตรวจสอบลักษณะ และประเมินคุณภาพตามลำดับ



รูปที่ 3.16 ขั้นตอนการดำเนินงานวิจัย

จากรูปที่ 3.16 ขั้นตอนการดำเนินงานวิจัยในส่วนประเมินคุณภาพของชิ้นงานคอมโพสิต หลังการขึ้นรูป เริ่มจากการประเมินดักษณะทั่วไปของชิ้นงานคอมโพสิตหลังการขึ้นรูปด้วยตาเปล่า จากนั้น ชิ้นงานคอมโพสิตจะถูกแบ่งเป็นส่วน ๆ ดังรูปที่ 3.17 โดย 1) ชิ้นงานคอมโพสิตตำแหน่ง M มีขนาด 20x20 มิลลิเมตร ที่ถูกตัดแบ่งด้วยเครื่องตัดแผ่นวงจรพิมพ์ ดังระบุในหัวข้อ 3.2.2 และนำไปขัดด้วยเครื่องขัดจานหมุนกระดาษทรายตั้งแต่เบอร์ 400 600 800 1000 และ 1200 ตามลำดับ จากนั้น ขัดละเอidxbn ผ้าสักหลาดด้วยอะลูมิն่า 0.3 และ 0.05 ไมครอน เพื่อใช้ตรวจสอบโครงสร้าง ภาคตัดขวางระหว่างระดับมหาภกผ่านกล้องสเตอริโอ เพื่อประเมินหาจุดกพร่องในเนื้อวัสดุคอมโพสิต และการจัดเรียงของชิ้นเสริมแรงในเนื้อพื้นพอลิเอทิลีนเทเฟฟทาเลต 2) ชิ้นงานคอมโพสิตตำแหน่ง D1 D2 และ D3 ที่ถูกตัดด้วยเครื่องตัดแผ่นวงจรพิมพ์จะถูกนำไปขัดกระดาษทรายเบอร์ 600 และ 800 ตามลำดับ ที่บริเวณขอบของชิ้นงานจากการตัด ด้วยเครื่องขัดจานหมุนให้ได้ขนาด 30x30 มิลลิเมตร ชิ้นงาน D1 D2 และ D3 จะถูกนำไปทดสอบหาความหนาแน่น โดยใช้ชุดเครื่องมือ สำหรับการทดสอบหาความหนาแน่นจากการซั่งน้ำหนักของชิ้นงานตัวอย่างในน้ำ และในอากาศ และ 3) ชิ้นงาน Tensile test ที่ถูกนำไปทดสอบความสามารถในการรับแรงดึง ซึ่งถูกตัดด้วยเครื่องตัดแผ่นวงจรพิมพ์ และขัดด้วยกระดาษทรายเบอร์ 400 และ 600 บริเวณขอบชิ้นงานเพื่อลบรอยเสียรูปจากการตัดด้วยเครื่องขัดแบบจานหมุนให้ได้ขนาดของชิ้นงานตัวอย่าง ดังแสดงในรูปที่ 3.18 สำหรับการทดสอบความสามารถในการรับแรงดึงและความสามารถในการยึดตัว จะดำเนินการด้วย เครื่องทดสอบแรงดึงขนาด 5 กิโลนิวตัน ยี่ห้อ INTRON รุ่น 5565 ใช้ความเร็วในการเคลื่อนที่หัวจับชิ้นงาน 2 มิลลิเมตรต่อนาทีดึงในทิศทางเดียว (Uni-axial) จนชิ้นงานขาดออกจากกันอ่านค่าแรงสูงสุดที่ชิ้นงานคอมโพสิตรับได้ และชิ้นงานจะต้องวัดความยาวก่อน และหลังชิ้นงานทดสอบเมื่อประเมินความสามารถในการยึดตัว หลังจากนั้น ชิ้นงานคอมโพสิตที่ผ่านการทดสอบแรงดึงที่ขาดออกจากกันจะถูกตัดส่วนปลายของรอยขาดด้วยกรรไกรตัดโลหะ และนำไปเคลือบทองและก่อนนำไปตรวจสอบรอยขาดของวัสดุคอมโพสิตภาคตัดขวางชิ้นงานด้วยกล้องจุลทรรศน์ อิเล็กตรอนแบบส่องgraphic



รูปที่ 3.17 ตำแหน่งในการตัดเตรียมตัวอย่างสำหรับการตรวจสอบลักษณะและสมบัติของชิ้นงานวัสดุคอมโพสิต



รูปที่ 3.18 ชิ้นงานทดสอบความสามารถในการรับแรงดึง

หลังจากการขันตอนการประเมินคุณภาพวัสดุคอมโพสิตจะนำข้อมูลที่ได้ไปวิเคราะห์อภิปรายและสรุปผลการทดลองงานวิจัยตามวัตถุประสงค์ในแต่ละข้อของงานวิจัยต่อไป

## บทที่ 4

### ศึกษาการผลิตวัสดุคอมโพสิตพอลิเอทิลีนแทรฟิกาเลตเสริมแรงด้วยตะแกรง เหล็กกล้าไร้สนิม 1 ชั้น

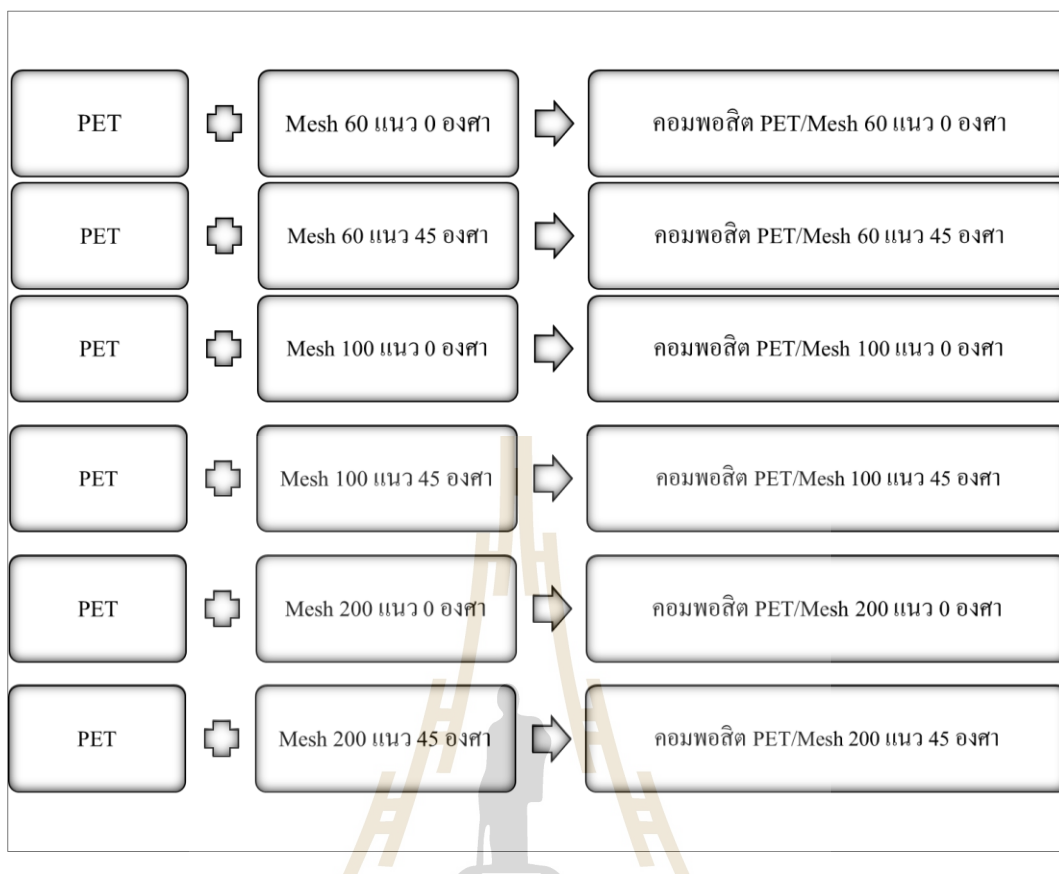
#### 4.1 บทนำ

โลกในยุคปัจจุบันมุ่งมั่นที่จะร่วมกันที่จะสร้างโลกที่ยั่งยืน กิจกรรมทางเศรษฐกิจ ต่าง ๆ จึงจำเป็นต้องไม่ก่อให้เกิดมลพิษ หรือสร้างมลพิษน้อยที่สุด การขันส่งเป็นกิจกรรมทางเศรษฐกิจที่สร้างมลพิษสูงที่สุดกิจกรรมหนึ่ง หนึ่งในวิธีการลดการปล่อยมลพิษจากการขันส่ง คือ การลดน้ำหนักยานยนต์ต่าง ๆ ดังนี้ วัสดุที่นำมาผลิตเป็นชิ้นส่วนหลาย ๆ ชิ้นส่วนในยานยนต์ จึงถูกเปลี่ยนมาใช้วัสดุที่น้ำหนักเบา และมีความแข็งแรงสูง เช่น การใช้วัสดุคอมโพสิตแทนเหล็กกล้า ดังตัวอย่าง บริษัทเก็นเนทที่นำวัสดุคอมโพสิตพอลิเมอร์เสริมแรงด้วยเส้นใยคาร์บอนไฟเบอร์ มาใช้ในหลาย ๆ จุด อาทิ บนรถยนต์ โครงเบาะนั่ง ฝากระโปรงหน้า ของซุปเปอร์คาร์แบรนด์ เอฟาร์โอมิโอ (Alfa Romeo) ทำให้ลดน้ำหนักโดยรวมของรถยนต์ได้ถึงร้อยละ 20 และยังคงความแข็งแรง และความปลดภัยในการขับขี่ อีกด้วย บริษัท Bond-Laminates GmbH เป็นบริษัทในเครือ LANESS พัฒนาโครงสร้างเบาะนั่งรถยนต์ (car seat shell) ผลิตจากคอมโพสิตเทอร์โน พลาสติกเสริมแรงไบแก้ว ซึ่งมีความแข็งแรง และทนต่อการกัดกร่อน มีน้ำหนักเบากว่าโครงสร้างที่ทำจากเหล็กกล้าถึง 800 กรัม (Omega Nexus Plastics Intelligence Unit, 2563) เป็นต้น วัสดุคอมโพสิตพอลิเมอร์เสริมแรงด้วยเส้นใย (Fiber) เป็นหนึ่งในวัสดุเบาที่ถูกคาดการณ์ว่า จะนำมาใช้อย่างกว้างขวางเนื่องจากมีความแข็งแรงสูงขณะที่มีความหนาแน่นของวัสดุต่ำ อีกทั้งยังสามารถขึ้นรูปเป็นชิ้นส่วนซับซ้อนได้ง่าย อย่างไรก็ตามเส้นใยเสริมแรงที่นิยมส่วนใหญ่ทำจากวัสดุเซรามิกส์ เช่น เส้นใยคาร์บอน เส้นไบแก้ว และเส้นไบเคฟล่า ทำให้มีข้อจำกัดด้านการยึดตัวได้น้อย เพราะเส้นใยเสริมแรงเซรามิกส์มีความแข็งเปราะ รวมไปถึงมีการยึดเกาะกันระหว่างเนื้อพื้นกับเส้นใยเสริมแรง ตำแหน่งการแยกตัวของรอยประสาน (Delaminate) ระหว่างวัสดุเนื้อพื้นกับวัสดุเสริมแรงขณะผลิต และการใช้งาน ข้อจำกัดดังกล่าวทำให้วัสดุคอมโพสิตพอลิเมอร์เสริมแรงด้วยเส้นใยไม่สามารถนำผลิตชิ้นส่วนบางประเภท เช่น เพลาข้อเหวี่ยง โครงรถยนต์ หรือชิ้นส่วนในงานอุตสาหกรรมที่ต้องการวัสดุที่มีความแข็งแรงและยึดตัวได้ดี จากเหตุผลดังกล่าวผู้วิจัยจึงมีแนวคิดที่จะสร้างวัสดุคอมโพสิตชนิดใหม่ที่มีความสามารถรับแรง และยึดตัวได้ดี จากการเลือกเนื้อพื้นพอลิเมอร์ และเส้นใยที่มีการยึดเกาะกันดี ซึ่งจากการศึกษางานวิจัยของ Katayama และคณะ(2008) เรื่องการเชื่อมแผ่น

พอลิเอทิลีนเทเรฟทาเลตกับแผ่นเหล็กกล้าไร้สนิมพบว่า นอกเหนือจากนี้ พอลิเอทิลีนเทเรฟทาเลต และเหล็กกล้าไร้สนิมมีความแข็งแรงสูง และความหนาแน่นมากพอลิเอทิลีนเทเรฟทาเลต, PET กับเหล็กกล้าไร้สนิมได้สามารถซ่อมติดกันได้ โดยรอยเชื่อมที่ได้มีความแข็งแรงเมื่อเป็นชิ้นนี้ ผู้วิจัยจึงคาดการณ์ว่าถ้านำพอลิเอทิลีนเทเรฟทาเลตกับ ตะแกรงลวดเหล็กไร้สนิมมาประกอบกันเป็นวัสดุคอมโพสิตปัญหาการเกิดการแยกตัวบริเวณรอยประสานน่าจะลดลงและควรได้วัสดุคอมโพสิตคุณภาพสูง ผู้วิจัยจึง ต้องการศึกษาความเป็นไปได้ในการผลิตวัสดุคอมโพสิตจากพอลิเมอร์ และศึกษาผลของขนาด ทิศทางการวางตะแกรงเหล็กกล้าไร้สนิมชนิดพอลิเอทิลีนเทเรฟทาเลตเสริมแรงด้วยตะแกรงเหล็กกล้าไร้สนิมต่อสมบัติของคอมโพสิตที่ได้

#### 4.2 ระเบียบวิธีการ

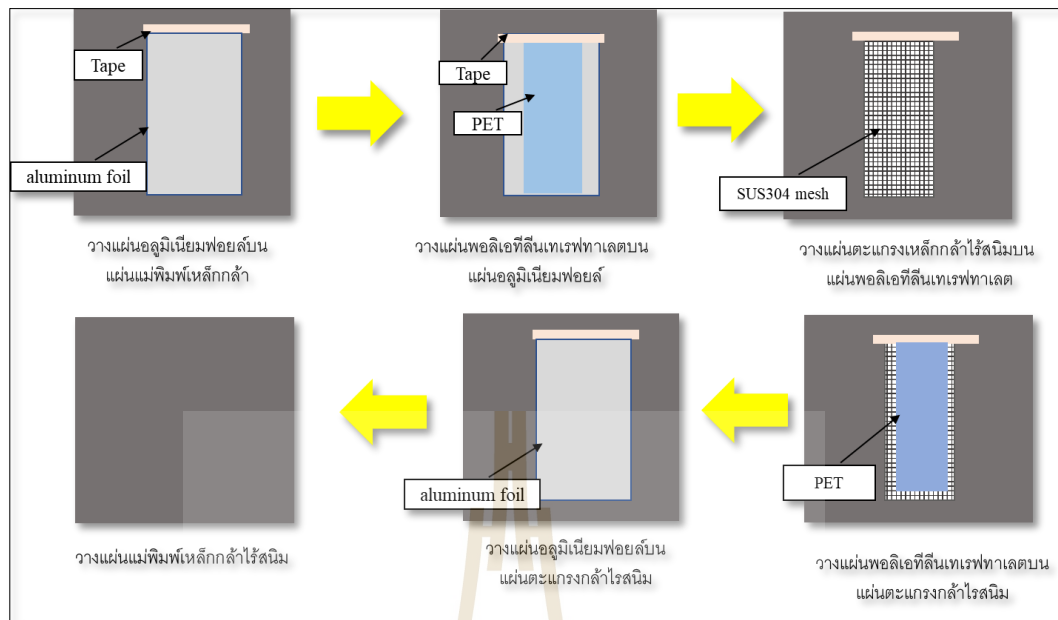
ในการศึกษานี้วัสดุที่นำมาผลิตเป็นวัสดุคอมโพสิตหนึ่งชิ้นประกอบด้วย แผ่นพอลิเอทิลีนเทเรฟทาเลต (PET) ขนาด  $60 \times 190$  มิลลิเมตร หนา  $0.5$  มิลลิเมตร จำนวน  $2$  แผ่น ประกอบตะแกรงเหล็กกล้าไร้สนิมเกรด  $304$  (SUS304) ซึ่งเป็นวัสดุเสริมแรง ขนาด  $70 \times 200$  มิลลิเมตร จำนวน  $1$  ชิ้น การผลิตวัสดุคอมโพสิตพอลิเอทิลีนเทเรฟทาเลตเสริมแรงด้วยตะแกรงเหล็กกล้าไร้สนิม  $1$  ชิ้น นี้ มีการกำหนดประเภทของชิ้นงานวัสดุคอมโพสิตที่จะขึ้นรูป ดังแสดงรูปที่  $4.1$  จากรูปที่  $4.1$  ชิ้นงานคอมโพสิตจะแบ่งออกเป็น  $6$  ประเภท กล่าวคือ คอมโพสิตพอลิเอทิลีนเทเรฟทาเลต เสริมแรงตะแกรงเหล็กกล้าไร้สนิมขนาดเมช  $60 \times 100$  และ  $200$  โดยที่แต่ละตะแกรงเหล็กกล้าไร้สนิมจะมีทิศทางการวางในแนว  $0$  องศา และ  $45$  องศา สำหรับขั้นตอนการเตรียมชิ้นงาน คอมโพสิตและการผลิตชิ้นงานคอมโพสิตมีรายละเอียดดังนี้ ดังรูปที่  $4.2$  เป็นการเตรียมชิ้นงานเพื่อผลิตเป็นไปตามสภาพการทดลองต่าง ๆ ก่อนที่จะนำไปขึ้นรูป ดังรูปที่  $4.3$  โดยมีขั้นตอนการทดลองดังต่อไปนี้



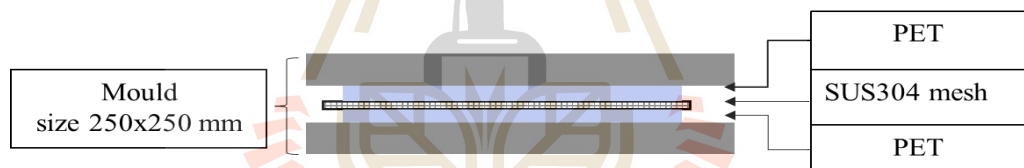
รูปที่ 4.1 ชี้นงานคอมโพสิต PET เสริมแรงดึงด้วยตะแกรงเหล็กกล้าไร้สนิมจำนวน 1 ชั้น ที่แนว  
การวางตะแกรงเหล็กกล้าไร้สนิมต่าง ๆ

#### 4.2.1 การจัดวางชี้นงานก่อนขึ้นรูป

แผ่นพอลิเอทิลีนเทเรฟทาเลต และแผ่นตะแกรงเหล็กกล้าไร้สนิมผ่านการตัดให้ได้ขนาดที่กำหนดดังข้างต้นแล้ว จะถูกนำมาจัดเรียงเพื่อขึ้นรูปเป็นวัสดุคอมโพสิตบนแม่พิมพ์ที่ใช้เป็นแผ่นเหล็กกล้าขนาด 250X250 มิลลิเมตร ดังรูปที่ 4.2 สำหรับขั้นตอนการจัดเรียงเริ่มจากวางแผ่นอะลูมิเนียมฟอยล์เพื่อป้องกันการติดของวัสดุคอมโพสิตบนแม่พิมพ์ โดยอะลูมิเนียมฟอยล์จะถูกติดด้วยเทปกาวเพื่อไม่ให้หลุดขณะขึ้นรูป จากนั้น นำแผ่นพอลิเอทิลีนเทเรฟทาเลตวางบนกึ่งกลางแผ่นเหล็กกล้าแม่พิมพ์พร้อมกับติดเทปกาวที่ด้านบนมาติดกับอะลูมิเนียมฟอยล์ และตามด้วยตะแกรงเหล็กกล้าไร้สนิม และแผ่นพอลิเอทิลีนเทเรฟทาเลตวางประกอบและนำแผ่นอะลูมิเนียมฟอยล์วางประกอบอีกที่พร้อมกับติดเทปกาวที่ด้านบนแล้วนำแผ่นแม่พิมพ์เหล็กอีกแผ่นวางประกอบ โดยลักษณะการเรียงแต่ละชั้นแสดงดังรูปที่ 4.3



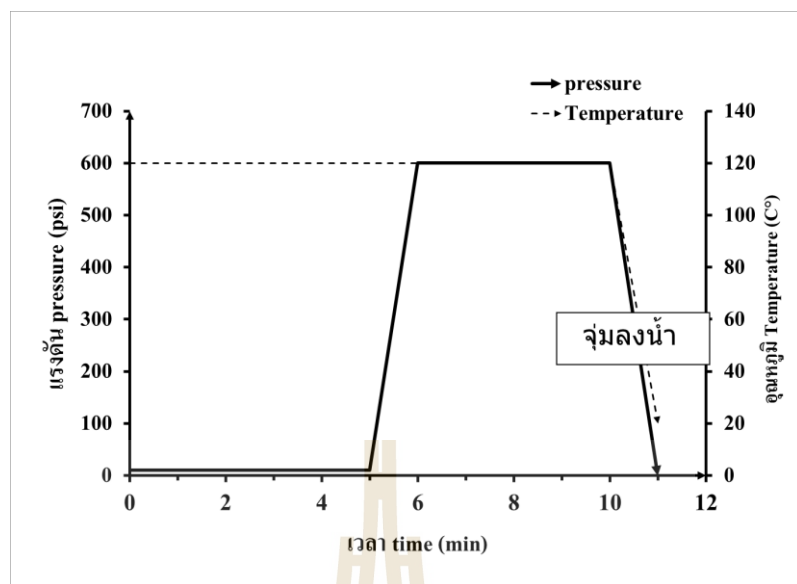
รูปที่ 4.2 ขั้นตอนการเตรียมชิ้นงานก่อนขึ้นรูป



รูปที่ 4.3 ลักษณะการวางเรียงประกอบของชิ้นงานก่อนขึ้นรูป

#### 4.2.2 การขึ้นรูปชิ้นงาน

หลังจากการจัดเรียงชิ้นงานบนแม่พิมพ์แล้วจะแม่พิมพ์ถูกวางเข้าแม่พิมพ์ของเครื่องอัด (Compression Molding) โดยสภาวะการขึ้นรูปแสดงรูปที่ 4.4 โดยเครื่องอัดขึ้นรูปจะเคลื่อนแม่พิมพ์ล่างดันมาประกอบกับแม่พิมพ์บนเป็นเวลา 5 นาทีที่อุณหภูมิ 120 องศาเซลเซียส จากนั้นเครื่องจะอัดแม่พิมพ์ชิ้นงานคอมโพสิตเป็นเวลา 5 นาทีที่อุณหภูมิ 120 องศาเซลเซียส แรงดัน 600 psi จากนั้นนำแม่พิมพ์ออกจากเครื่องอัดมาจุ่มน้ำ เพื่อให้เย็นตัวดังแสดงในรูปที่ 4.5



รูปที่ 4.4 สถานะการขึ้นรูปชิ้นงาน



รูปที่ 4.5 ขั้นตอนการนำชิ้นงานจุ่มในน้ำ ก. การนำชิ้นงานเข้าเครื่องอัดขึ้นรูป ข. การทำให้ชิ้นงานเย็นตัวในน้ำ

หลังจากการขึ้นรูปแล้ว ชิ้นงานคอมพ็อสิตจะตรวจสอบ ลักษณะของชิ้นงาน โครงสร้างภาคตัดขวางระดับมหภาค ความหนาแน่นและทดสอบแรงดึง โดยละเอียดของวิธีการ ตรวจสอบได้อธิบายโดยละเอียดแล้วในบทที่ 3

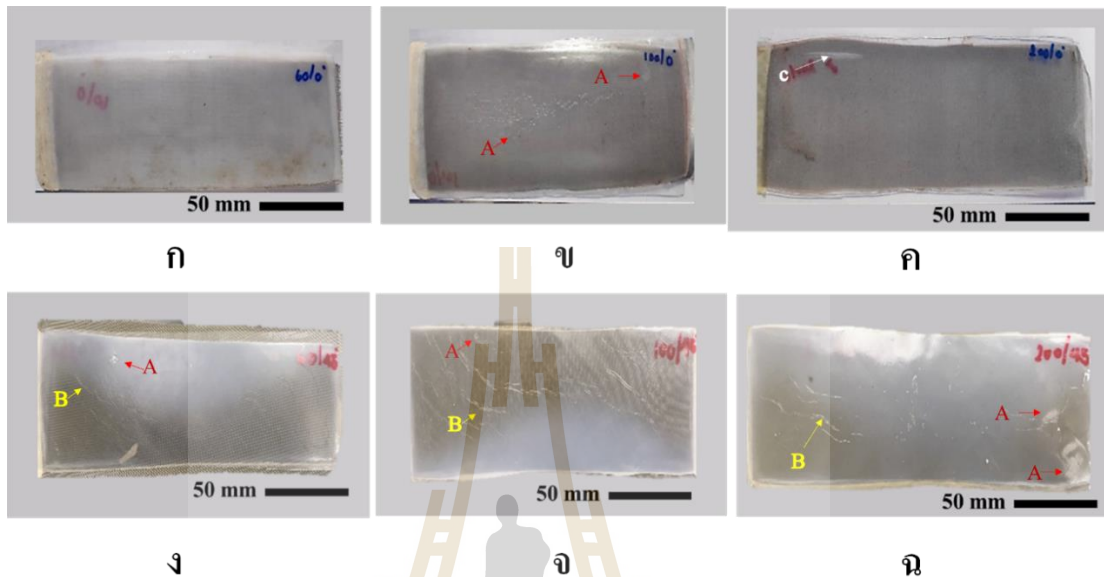
### 4.3 ผลงานวิจัยและการอภิปรายผล

ภายหลังขึ้นรูปชื่นงานคอมพอสิตพอลิเอทีลีนเทเรฟทาเลตเสริมแรงด้วยตะแกรงเหล็กกล้าไร์สนิมจำนวน 1 ชั้นประเภทต่าง ๆ ผู้วิจัยได้ประเมินคุณภาพของ โดยผลการตรวจสอบมีรายละเอียดดังนี้

#### 4.3.1 ลักษณะชื่นงานภายหลังจากขึ้นรูป

จากรูปที่ 4.6 แสดงลักษณะชื่นงานคอมพอสิตพอลิเอทีลีนเทเรฟทาเลตเสริมตะแกรงเหล็กกล้าไร์สนิมจำนวน 1 ชั้นที่แนวการวางตะแกรงเหล็กกล้าไร์สนิมในทิศทาง 0 องศา และ 45 องศาภายหลังการขึ้นรูป จากรูปที่ 4.6 จะเห็นว่าชื่นงานคอมพอสิตพอลิเอทีลีนเทเรฟทาเลตเสริมแรงด้วยตะแกรงเหล็กกล้าไร์สนิม ขนาดเมช 60 100 และ 200 ที่วางในแนว 0 องศา และ 45 องศาทั้ง 6 ประเภทที่ผ่านการขึ้นรูปมีความคล้ายกัน กล่าวคือ ชื่นงานคอมพอสิตมีสีขาวโปร่ง แสดงจากการสังเกตด้วยตาเปล่าสามารถมองเห็นชื่นตะแกรงเหล็กกล้าไร์สนิมด้านใน นอกจากนี้ ชื่นงานคอมพอสิตพอลิเอทีลีนเทเรฟทาเลตเสริมแรงด้วยตะแกรงเหล็กกล้าไร์สนิมขนาดเมช 60 100 และ 200 ที่ผ่านกระบวนการอัดขึ้นรูปยังมีฟองอากาศในจุดต่าง ๆ เล็กน้อยบนผิวชื่นงาน ดังแสดงในรูปที่ 4.6 (ข) (ง) (จ) และ (ฉ) ณ ตำแหน่ง A ฟองอากาศดังกล่าววนจะเกิดขึ้นเกิดจาก การใช้เครื่องขัดขึ้นรูป ทำให้ขดขัดขึ้นรูปชื่นงานอากาศไม่สามารถหล่อออกหันจึงแข็งอยู่บนผิวชื่นงาน นอกจากนี้บริเวณขอบใกล้ล้มของชื่นงานคอมพอสิตพอลิเอทีลีนเทเรฟทาเลตเสริมแรงตะแกรงเหล็กกล้าไร์สนิมต่าง ๆ มีการขยายกว้างกว้างขอบส่วนใจกลางของชื่นงาน เกิดจากการขยายตัวของเนื้อพอลิเอทีลีนเทเรฟทาเลตที่ได้รับความร้อนจนอ่อนตัว และเมื่อมีแรงกดอัดเนื้อพอลิเมอร์พolymer ที่จะหลอมทรุดในรูประดับแรงงานเต็มจนเนื้อส่วนที่เกินหลักทรงกล่องไปด้านข้าง ทำให้ขอบของชื่นงานกว้างขึ้น และกว้างมากบริเวณด้านข้างของชื่นงาน ซึ่งวัสดุคอมพอสิตพอลิเอทีลีนเทเรฟทาเลตตะแกรงเหล็กกล้าไร์สนิมขนาดเมช 200 มีการขยายของเนื้อพื้นที่บริเวณปลายอกมาด้านข้างมากที่สุด โดยน่าจะเกิดจากเส้นผ่าศูนย์กลางของลวดขนาดเล็กและسانของตะแกรงเหล็กกล้าไร์สนิมจะอ่อนตัวขนาดเมช 60 และขนาดเมช 100 ทำให้เนื้อพื้นพอลิเอทีลีนเทเรฟทาเลตแทรกเข้าไใต้น้อยกว่า ทำให้ขอบของชื่นงานขยายกว้างกว่าทั้งทิศทางการวางตะแกรงเหล็กกล้าไร์สนิมในแนว 0 องศา และแนว 45 องศา และการขยายด้านที่ทำให้เกิดการนิ่กขาดของชื่นงานคอมพอสิตพอลิเอทีลีนเทเรฟทาเลต เสริมแรงด้วยตะแกรงเหล็กกล้าไร์สนิมขนาดเมช 200 วางแนว 0 องศา ดังแสดงในรูปที่ 4.6 (ค) ณ ตำแหน่ง c อนึ่งชื่นงานคอมพอสิตพอลิเอทีลีนเทเรฟทาเลตเสริมแรงตะแกรงเหล็กกล้าไร์สนิมขนาด 60 100 และ 200 ในทิศทางการวางแนว 45 องศา ดังแสดงในรูปที่ 4.6 (ง) (จ) และ (ฉ) ณ ตำแหน่ง B เกิดรอยย่นบนชื่นงาน ซึ่งน่าจะเกิดจากการวางตะแกรงเสริมแรงทิศทาง 45 องศา ขัดขวางการเคลื่อนตัวของเนื้อพอลิเอทีลีนเทเรฟทาเลตเข้าไป

ทำให้เนื้อพอลิเอทีลีนเทเรฟทาเลตแทรกระหว่างช่องว่างของตะแกรงเหล็กกล้าไวร์สันมไม่ดี ส่งผลทำให้ชิ้นงานคอมพอสิตมีผิวของบางตำแหน่งเกิดการย่น



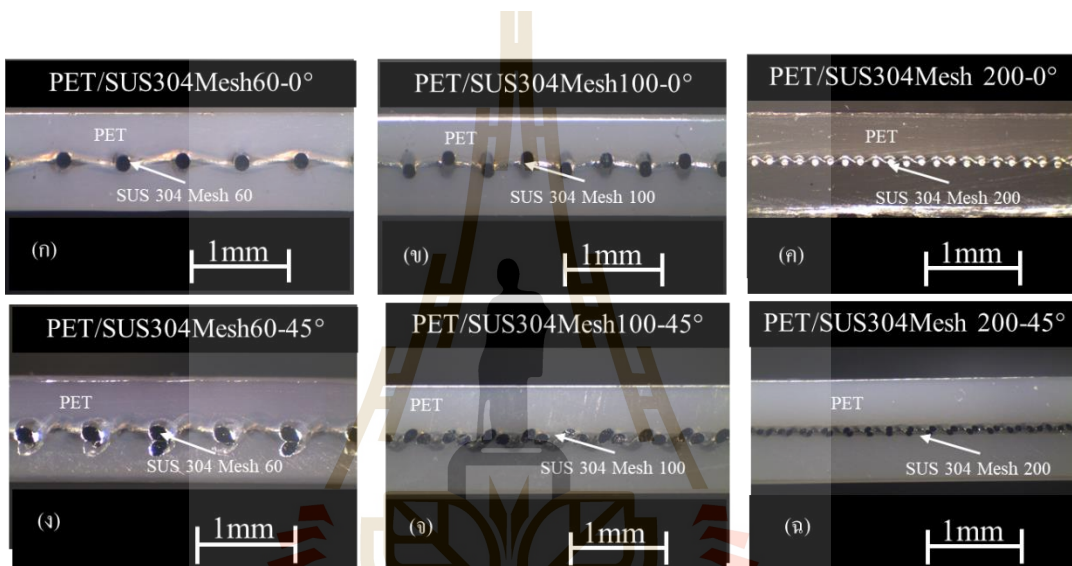
รูปที่ 4.6 ชิ้นงานคอมพอสิตเสริมแรงตะแกรงกล้าไวร์สันมจำนวน 1 ชิ้น ภายหลังขึ้นรูป

(ก) ตะแกรงเหล็กกล้าไวร์สันมขนาดเมช 60 แนว 0 องศา (ข) ตะแกรงเหล็กกล้าไวร์สันมขนาดเมช 100 แนว 0 องศา (ค) ตะแกรงเหล็กกล้าไวร์สันมขนาดเมช 200 แนว 0 องศา (ง) ตะแกรงเหล็กกล้าไวร์สันมขนาดเมช 60 แนว 45 องศา (จ) ตะแกรงเหล็กกล้าไวร์สันมขนาดเมช 100 แนว 45 องศา (ฉ) ตะแกรงเหล็กกล้าไวร์สันมขนาดเมช 200 แนว 45 องศา โดยจุดบกพร่องบนชิ้นงาน (A) เกิดฟองอากาศบนชิ้นงาน (B) เกิดรอยย่นบน (C) รอยนีดขาด

#### 4.3.2 การตรวจสอบโครงสร้างภาคตัดขวางระดับมหภาค

รูปที่ 4.7 แสดงโครงสร้างภาคตัดขวางของชิ้นงานคอมพอสิตพอลิเอทีลีนเทเรฟทาเลต (PET) เสริมแรงด้วยตะแกรงเหล็กกล้าไวร์สันมจำนวน 1 ชิ้นที่ทิศทางการวางต่าง ๆ ระดับมหภาคภายหลังกระบวนการอัดขึ้นรูป จากรูปที่ 4.7 จะเห็นว่าภาคตัดขวางของชิ้นงานคอมพอสิตประกอบไปด้วยเนื้อพื้น พอลิเอทีลีนเทเรฟทาเลตสลับกับตะแกรงเหล็กกล้าไวร์สันมที่อยู่ในกลางโดยเนื้อพื้นพอลิเอทีลีนเทเรฟทาเลตเมื่อได้รับความร้อน และแรงดันในกระบวนการอัดขึ้นรูปเนื้อของพอลิเอทีลีนเทเรฟทาเลตจะสามารถแทรกผ่านช่องว่างของตะแกรงเหล็กกล้าไวร์สันมแต่ละขนาดชิ้นได้ ไม่มีฟองอากาศ ไม่พบรูพรุนในเนื้อพอลิเอทีลีนเทเรฟทาเลตของชิ้นงานคอมพอสิต ตลอดจนการประสานระหว่างเนื้อพื้นพอลิเอทีลีนเทเรฟทาเลตกับตะแกรงเหล็กกล้าไวร์สันมเสริมแรง รูปที่

4.7(ก ข ค ง จ และ ฉ) ไม่พบช่องว่าง ณ รอยประสานในการตรวจสอบโครงสร้างระดับมหภาคของชิ้นงานคอมพอสิต ในขณะที่การวางแผนแกรงเหล็กกล้าไร์สันิมเสริมแรงที่ทิศทาง 0 องศา และ 45 องศา มีลักษณะของลายลวดเหล็กกล้าไร์สันิมในแนวนอนต่างกัน กล่าวคือการวางแผนแกรงเหล็กกล้าไร์สันิมเสริมแรงในแนว 0 องศาจะมีความในแนวขั้กกันไปมาระหว่างการประสาน ส่วนการวางแผนแกรงเหล็กกล้าไร์สันิมเสริมแรงในแนว 45 องศา ลวดในแนวไม่มีการขัดกันของลวดเหล็กกล้าไร์สันิมในแนวนอนเป็นการยืนยันว่า ตะแกรงกล้าไร์สันิมถูกวางตรงตามที่กำหนดไว้ใน การทดลอง



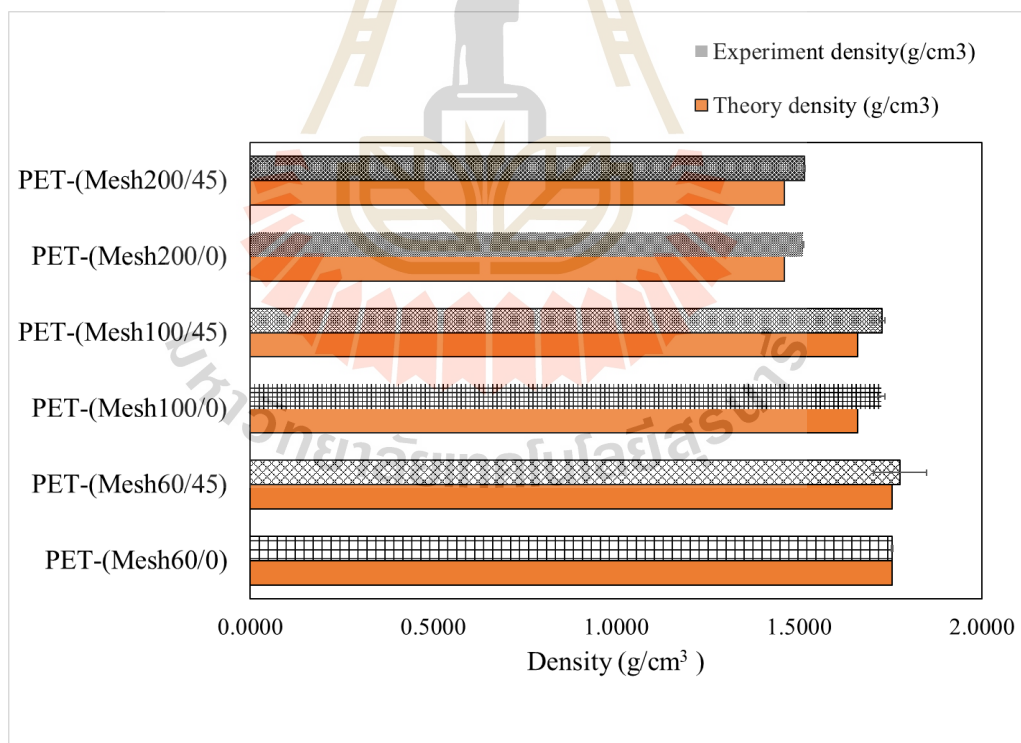
รูปที่ 4.7 โครงสร้างภาครดดของชิ้นงานคอมพอสิตพอลิเอทิลีนเทเรฟทาเลต เสริมแรงด้วยตะแกรงเหล็กกล้าไร์สันิมจำนวน 1 ชั้น

(ก) ตะแกรงเหล็กกล้าไร์สันิมขนาดเมช 60 แนว 0 องศา (ข) ตะแกรงเหล็กกล้าไร์สันิมขนาดเมช 100 แนว 0 องศา (ค) ตะแกรงเหล็กกล้าไร์สันิมขนาดเมช 200 แนว 0 องศา (ง) ตะแกรงเหล็กกล้าไร์สันิมขนาดเมช 60 แนว 45 องศา (จ) ตะแกรงเหล็กกล้าไร์สันิมขนาดเมช 100 แนว 45 องศา (ฉ) ตะแกรงเหล็กกล้าไร์สันิมขนาดเมช 200 แนว 45 องศา

#### 4.3.3 ความหนาแน่น

จากการทดสอบความหนาแน่นของชิ้นงานคอมพอสิตพอลิเอทิลีนเทเรฟทาเลต เสริมแรงด้วยตะแกรงเหล็กกล้าไร์สันิม จำนวน 1 ชั้น ประเภทต่าง ๆ ดังแสดงในรูปที่ 4.8 จาก รูปที่ 4.8 จะเห็นว่า ชิ้นงานคอมพอสิตที่เสริมแรงด้วยตะแกรงเหล็กกล้าไร์สันิมขนาดเมช 60 จะมีความหนาแน่นสูงกว่า ชิ้นงานคอมพอสิตเสริมแรงด้วยตะแกรงเหล็กกล้าไร์สันิมขนาดเมช 100 และ 200

และลดลั่นกันตามลำดับ ซึ่งค่าความหนาแน่นของวัสดุคอมพอสิตจะขึ้นกับน้ำหนักต่อพื้นที่ของตะแกรงเหล็กกล้าไร้สนิมเป็นหลัก โดยตะแกรงเหล็กกล้าไร้สนิมขนาดเมช 60 มีน้ำหนักต่อพื้นที่สูง และตามด้วย เมช 100 และ เมช 200 ตามลำดับ ในขณะที่อิทธิพลของทิศทางการเสริมแรงของตะแกรงเหล็กกล้าไร้สนิมในวงแหวน 0 องศาและ 45 องศา มีผลต่อความหนาแน่นของวัสดุคอมพอสิตภายหลังการอัดขึ้นรูป แม้คุณจะมีอนุวัติการวงตะแกรงเหล็กกล้าไร้สนิมทิศทาง 45 องศา จะให้ความหนาแน่นสูงกว่ากีตามแต่ความความเคลื่อนที่แสดงทำให้เห็นว่า ความหนาแน่น ใกล้เคียงกัน และเมื่อเปรียบเทียบกับผลความหนาแน่นของคอมพอสิตทางการทดลองกับจากการคำนวณด้วยสมการ 4.1 พบว่า ความหนาแน่นของคอมพอสิตพอลิเอทิลีนเทเรฟทาเลตเสริมแรงด้วยตะแกรงเหล็กกล้าไร้สนิมหลังอัดขึ้นรูปทางปฏิบัติให้สูงกว่าค่าความหนาแน่นทางการคำนวณทางทฤษฎี นั่นเกิดจากผลของการอัดขึ้นรูปเนื่องพื้นพอลิเอทิลีนเทเรฟทาเลตถูกกดอัดให้เข้าเต็มขีดซึ่งว่างระหว่างตะแกรงลวดเหล็กกล้าไร้สนิมจะไม่มีรูพรุนภายในชิ้นงาน และไอลอยอกจากด้านข้างทำให้ขนาดชิ้นงานใหญ่กว่าขนาดของพอลิเอทิลีนเทเรฟทาเลตเริ่มต้น ดังจะเห็นได้จากชิ้นงานหลังขึ้นรูป กว้างกว่าก่อนการผลิต โดยวิธีการอัดขึ้นรูป



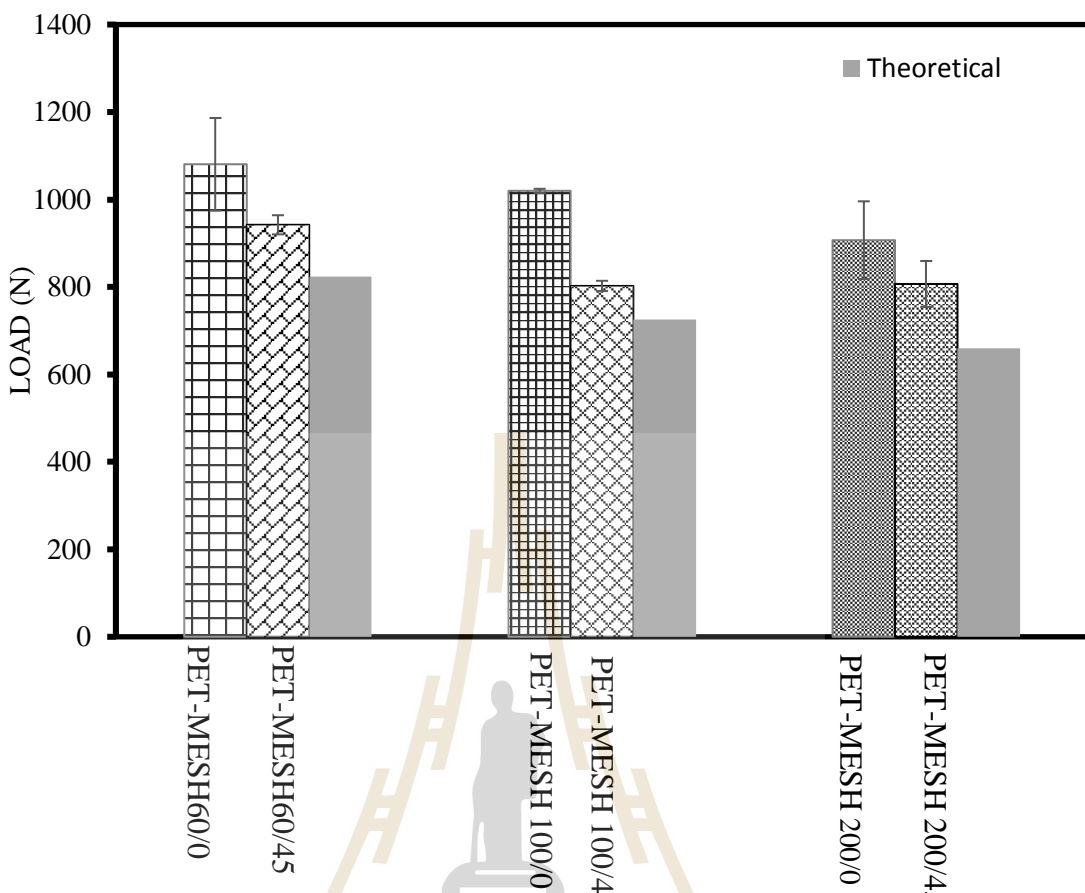
รูปที่ 4.8 ความหนาแน่นของชิ้นงานวัสดุคอมพอสิตพอลิเอทิลีนเทเรฟทาเลตเสริมแรงด้วยตะแกรงเหล็กกล้าไร้สนิม จำนวน 1 ชิ้น ทิศทาง 0 องศา และ 45 องศาที่ขนาดเมช 60 100 และ 200

$$\rho_c = \frac{m_{PET} + m_{Mesh}}{V_{PET} + V_{Mesh}} \quad (4.1)$$

$\rho_c$	คือ ความหนาแน่นของคอมพอลิทิกทุงที่มี
$m_{PET}$	คือ น้ำหนักของพอลิเอทิลีนเทเรฟทาเลต
$m_{mesh}$	คือ น้ำหนักของตะแกรงเหล็กกล้าไร้สนิม
$V_{PET}$	ปริมาตรของพอลิเอทิลีนเทเรฟทาเลต
$V_{mesh60}$	ปริมาตรของตะแกรงเหล็กกล้าไร้สนิม

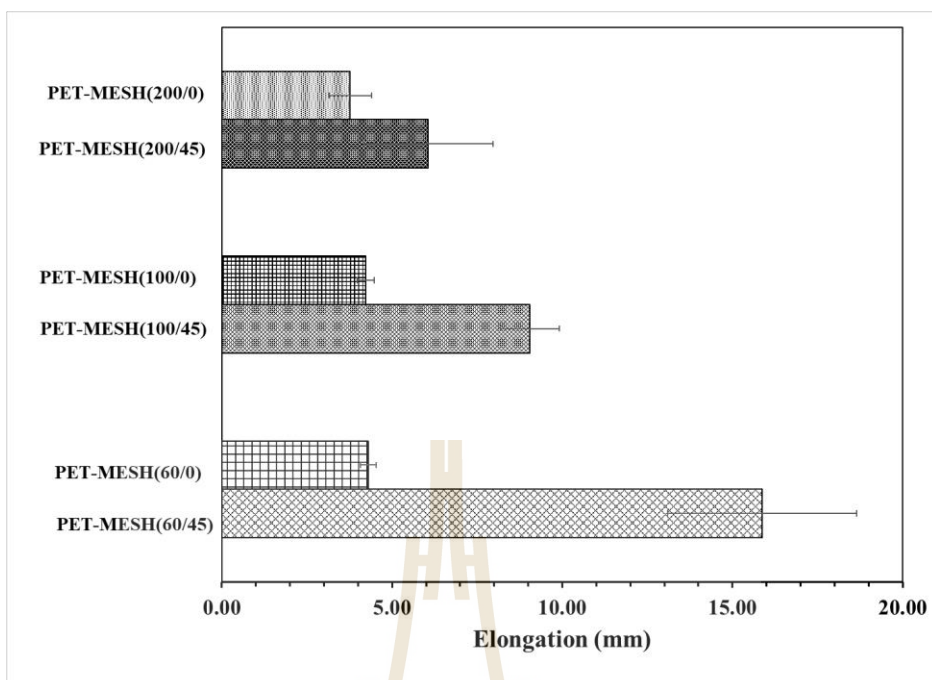
#### 4.3.4 ความสามารถในการรับแรงดึง

จากการทดสอบหาค่าความสามารถในการรับแรงสูงสุดของชิ้นงานคอมพอลิท ได้ผลการทดสอบ ดังแสดงในรูปที่ 4.9 จากรูปที่ 4.9 ดังกล่าวเห็นได้ว่า วัสดุคอมพอลิทิตต่าง ๆ ที่ขึ้นรูปมาสามารถรับแรงดึงสูงสุดใกล้เคียงกับผลรวมของค่าความสามารถในการรับแรงสูงสุดของพอลิเอทิลีนเทเรฟทาเลตรวมกับค่าความสามารถในการรับแรงสูงสุดของตะแกรง漉คเหล็กกล้าไร้สนิม ด้วยเหตุนี้ จึงอาจจะกล่าวได้ว่าวัสดุคอมพอลิทิตที่พัฒนาขึ้นความสามารถในการรับแรงดึงขึ้นกับวัสดุที่นำมาประกอบกัน โดยชิ้นงานคอมพอลิทิตที่เสริมแรงด้วยตะแกรง漉คเหล็กกล้าไร้สนิมขนาดเมช 60 จะสามารถรับแรงได้สูงสุด ตามด้วยชิ้นงานคอมพอลิทิตที่เสริมแรงด้วยตะแกรง漉คเหล็กกล้าไร้สนิมขนาดเมช 100 และ 200 ตามลำดับ ซึ่งทิศทางการวางชิ้นเส้นเสริมแรงในแนว 0 องศาจะให้ความสามารถในการรับแรงดึงสูงกว่าการเสริมแรงทิศทางการวาง 45 องศา เกิดจาก การวางตะแกรงเหล็กกล้าไร้สนิมเสริมแรงที่ทิศทางองศาเป็นสภาวะนี้เส้น ไขรับแรงอยู่ในแนวรับแรงพอดีขีณะที่ การวางในทิศทาง 45 องศาเส้นไขรับแรงอีียง 45 องศา ทำให้รับแรงได้น้อยลง



รูปที่ 4.9 ความสามารถในการรับแรงดึงสูงสุดของชิ้นงานคอมโพสิตเสริมแรงด้วยตะแกรงเหล็กกล้าไร์สนิม จำนวน 1 ชิ้น

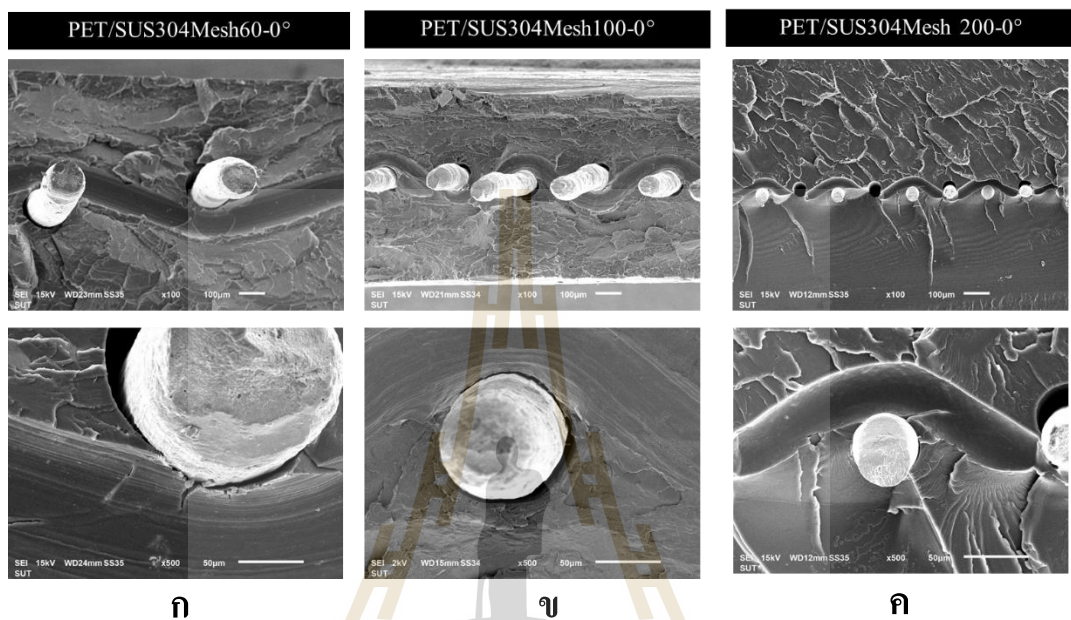
ในส่วนของความสามารถในการยึดตัวของชิ้นงานแสดงผลการยึดตัวสูงสุด ดังรูปที่ 4.10 จากรูปที่ 4.10 พบร่วมกันว่า วัสดุคอมโพสิต พอลิเอทิลีนเทเรฟทาเลตเสริมแรงด้วยตะแกรงเหล็กกล้าไร์สนิมขนาดเมช 60 100 และ 200 วางแผนเสริมแรงทิศทางแนว 0 ยึดตัวออกได้น้อยกว่าการแนว 45 องศาอย่างมีนัยสำคัญ นอกจากนี้ยังพบร่วมกันว่า การยึดตัวของตะแกรงเหล็กกล้าไร์สนิมวางแผนในทิศทาง 0 องศา มีขนาดใกล้เคียงกัน ขณะที่แนวการวางแผนตะแกรงเหล็กกล้าไร์สนิมในทิศทาง 45 องศา ตะแกรงเหล็กกล้าไร์สนิม เมช 60 จะยึดตัวได้สูงสุดและตามด้วย เมช 100 และ เมช 200 ตามลำดับ ที่เป็นเห็นนี้ เพราะขนาดช่องว่างของตะแกรงเหล็กกล้าไร์สนิม เมช 60 สูงสุด และลดลงเป็นลำดับ จาก เมช 100 และ เมช 200



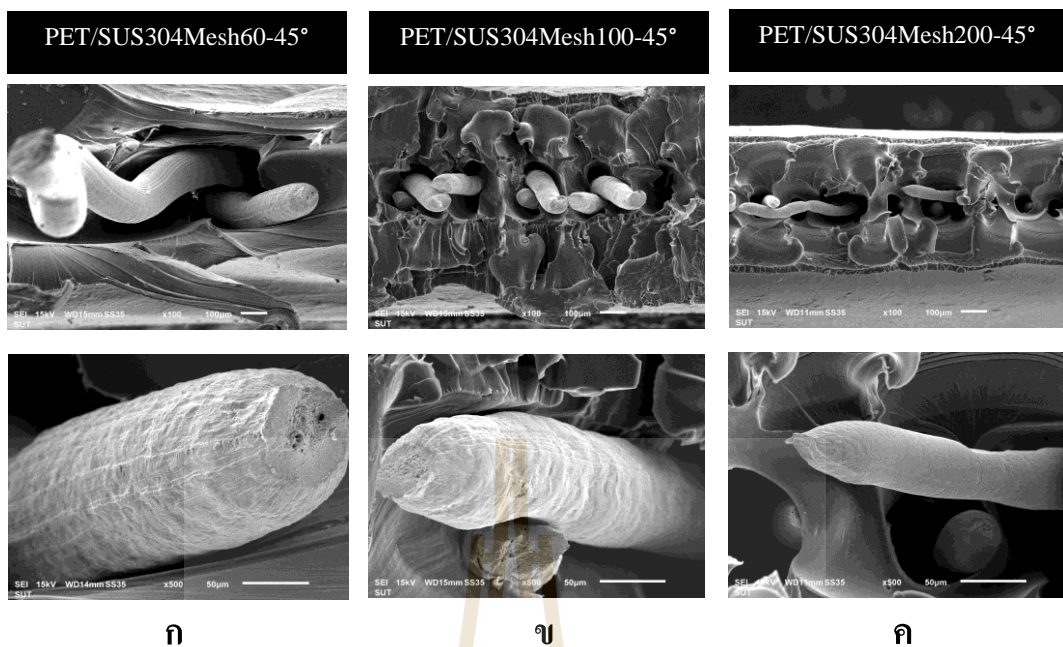
รูปที่ 4.10 ระบบขีดของชิ้นงานคอมโพสิตเสริมแรงด้วยตะแกรงเหล็กกล้าไร์สันมิลเริมแรงจำนวน 1 ชิ้น

ภายหลังทดสอบความสามารถในการรับแรงดึงขนาด ชิ้นงานที่ขาดฉุกนำมานำไปทดสอบลักษณะพิวาราคาดของชิ้นงาน จากรูปที่ 4.10 แสดงลักษณะรอยขาดของชิ้นงานวัสดุคอมโพสิตพอลิเอทิลีนเทเรฟทาเลตเสริมด้วยตะแกรงเหล็กกล้าไร์สันขนาดเมช 60 100 และ 200 วงในทิศทาง 0 องศา พบว่า พื้นผิวการขาดสังเกตเนื้อพื้นพอลิเอทิลีนเทเรฟทาเลต จะขาดออกก่อนที่ตะแกรงเหล็กกล้าไร์สันขนาด โดยวัสดุเนื้อพื้นพิรวดรุขระ (ragged) และ รอยขาดแบบพิวเรียน (flat) ผสมกัน แต่ตะแกรงเหล็กกล้าไร์สันจะรอยขาดแบบถักกับราย (cup-cone) ขณะที่จากรูปที่ 4.11 แสดงการแตกหักของชิ้นงานคอมโพสิตพอลิเอทิลีนเทเรฟทาเลตเสริมแรงด้วยตะแกรงเหล็กกล้าไร์สันขนาด เมช 60 100 และ 200 วงแนว 45 องศา สังเกตได้ว่าลักษณะรอยขาดที่เนื้อพื้น พอลิเอทิลีนเทเรฟทาเลตเป็นแบบบรุขระ (ragged) และคงให้เห็นว่าเนื้อพื้นจะค่อย ๆ ขาดออกจากกันในขณะรับแรงดึงก่อนและตามด้วยเส้นไขเสริมแรงที่วางในแนว 45 องศา เกิดการยุบตัวและเข้าหากันและตามด้วยการยึดตัวของเส้นไขจนเส้นไขขาดในที่สุด จากการตรวจสอบผิวรอยแตกนี้ เป็นหลักฐานที่ชัดเจนว่า พอลิเมอร์ชนิดพอลิเอทิลีนเทเรฟทาเรตเนื้อพื้นขาดก่อน และการยึดตัวดำเนินต่อไปบนเส้นไขเสริมแรง ในกรณีทาง wang ตะแกรงเหล็กกล้าไร์สันมิลเริมแรงแนว 45 องศา เส้นไขแต่ละเส้นจะยุบตัวหากันก่อน การยุบตัวเข้าหากันของเส้นไขสองเส้นที่ติดกัน ทำให้การยึด

ตัวเกิดได้มากและจะมากกรณีที่ช่องว่างตะแกรงเหล็กกล้าไร์สันิสูงทำให้การเสริมแรงด้วยตะแกรงเหล็กกล้าไร์สันิ เมช 60 คอมพอสิตที่ได้มีความสามารถในการยึดตัวของการเสริมแรงทิศทาง 45 องศา คึกกว่า 0 องศา



รูปที่ 4.11 ผิวเดกหักของชิ้นงานคอมพอสิตเสริมแรงด้วยตะแกรงเหล็กกล้าไร์สันิจำนวน 1 ชิ้น  
วางแผน 0 องศา (ก) ตะแกรงเหล็กกล้าไร์สันิขนาดเมช 60 (ข) ตะแกรงเหล็กกล้าไร์สันิขนาดเมช 100 และ (ค) ตะแกรงเหล็กกล้าไร์สันิขนาดเมช 200



รูปที่ 4.12 การแตกหักของชิ้นงานที่เสริมแรงด้วยตะแกรงเหล็กกล้าไร้สนิมจำนวน 1 ชั้น วางแนว 45 องศา (ก) ตะแกรงเหล็กกล้าไร้สนิมขนาดเมช 60 (ข) ตะแกรงเหล็กกล้าไร้สนิมขนาดเมช 100 (ค) ตะแกรงเหล็กกล้าไร้สนิมขนาดเมช 200

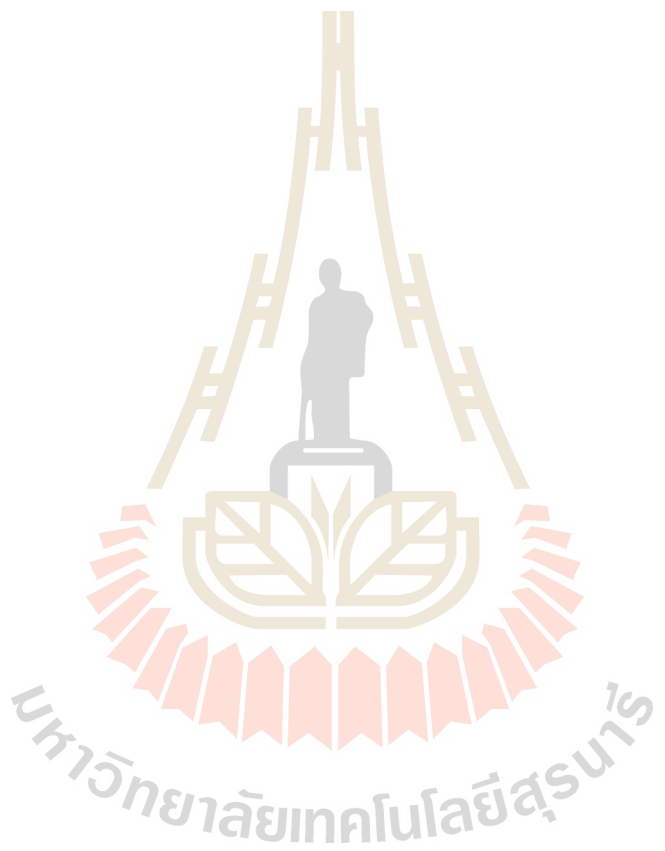
#### 4.4 สรุปผลงานวิจัย

จากผลการทดลองศึกษานี้ผู้วิจัยสามารถสรุปผลการศึกษาได้ดังต่อไปนี้

4.4.1 จากการตรวจสอบลักษณะคอมโพสิตที่ได้จากการอัดขึ้นรูปร้อน ชิ้นงานที่ได้ค่อนข้างสมบูรณ์แต่มีจุดบกพร่อง เช่น ฟองอากาศ รอยย่น และ นิเกิลชาในบางชิ้นงาน ในขณะที่การตรวจสอบภาคตัดขวางระดับหน้ากากชิ้นงาน ไม่พบการแยกของวัสดุเนื้อพื้นกับเส้นใยเสริมแรง และความสามารถในการต้านทานแรงดึงของคอมโพสิตมีความต้านทานแรงดึงสูง ดังนั้น จึงกล่าวได้ว่า มีความเป็นไก่ที่จะผลิต และ ได้วัสดุคอมโพสิตพอลิเอทิลีนเทเรฟทาเลตเสริมแรงด้วยตะแกรงเหล็กกล้าไร้สนิมด้วยกระบวนการอัดขึ้นรูปร้อน

4.4.2 ผลของขนาดตะแกรงเหล็กกล้าไร้สนิมเสริมแรง ขนาดเมช 60 100 และ 200 ส่งผลต่อสมบัติ ความหนาแน่นของชิ้นงานและความสามารถในการรับแรงดึงของวัสดุคอมโพสิต โดยทั้งความหนาแน่น และ ความสามารถในการรับแรงดึงขึ้นกับสมบัติประกอบกันนิวัสดุเนื้อพื้นพลาสติกและตะแกรงกล้าไร้สนิม แต่ขึ้นกับตะแกรงเหล็กกล้าไร้สนิม ดังนั้น ทำให้คอมโพสิตที่ใช้ตะแกรงเหล็กกล้าไร้สนิมขนาดเมช 60 มีความหนาแน่นและความแข็งแรงสูงสุด

4.4.3 ผลของทิศทางวางแผนตามกรอบหลักกล้าฯรีสันนิมส์ริมแวง ส่งผลต่อสมบัติในการยึดตัวของคอมพ์ติดอย่างมาก โดยทิศทางการวางแผน 45 องศา จะทำให้ยึดตัวได้สูงกว่าแนวการวางแผน 0 องศา แต่จะทำให้ความสามารถในการรับแรงดึงลดลง



## บทที่ 5

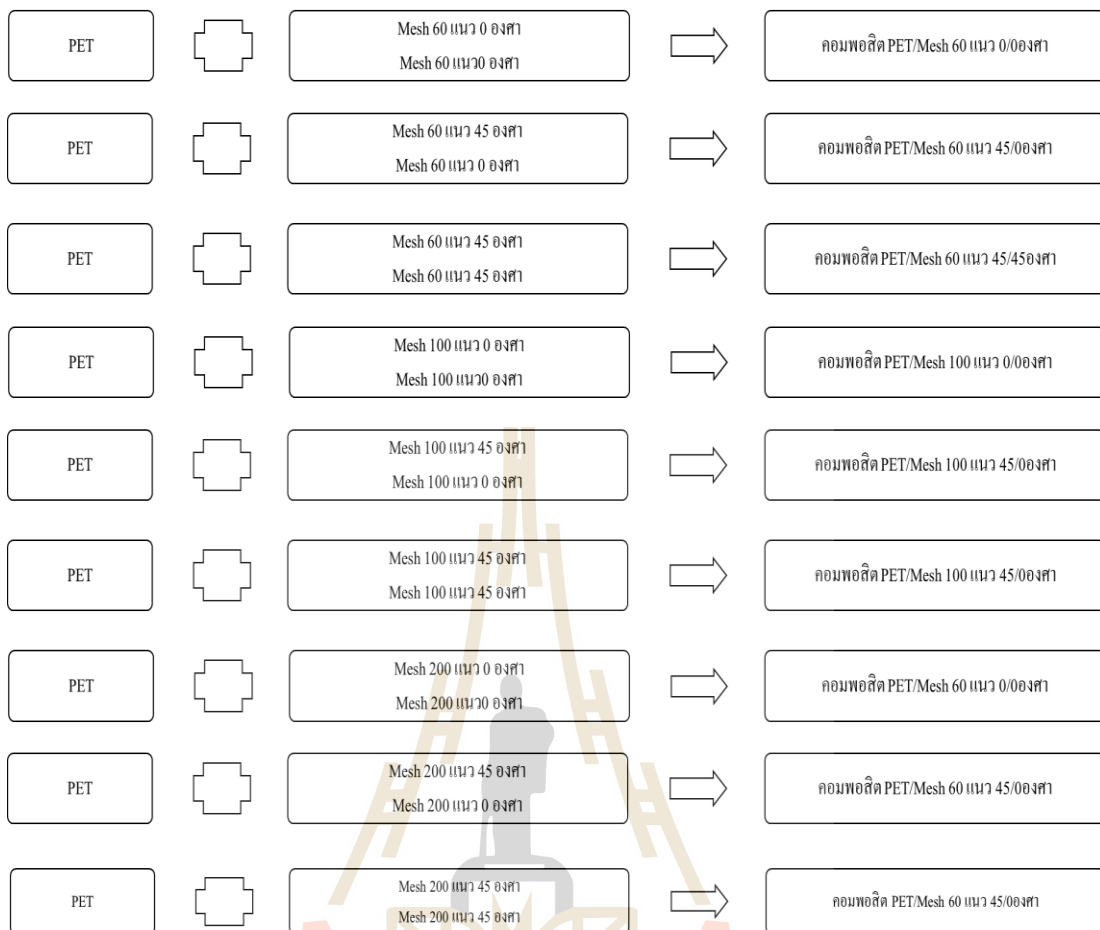
### การผลิตวัสดุคอมพอสิตพอลิเอทิลีนเทเรฟทาเลตเสริมแรงด้วยตะแกรง เหล็กกล้าไร้สนิมจำนวน 2 ชั้น

#### 5.1 บทนำ

จากบทที่ 4 ผู้วิจัยได้แสดงให้เห็นแล้วว่าสามารถผลิตคอมพอสิตพอลิเอทิลีนเทเรฟทาเรต เสริมแรงด้วยตะแกรงเหล็กกล้าไร้สนิมได้ด้วยการอัดขึ้นรูปบนแม่พิมพ์ภายใต้ความดันและ อุณหภูมิที่เหมาะสมพร้อมทั้งคอมพอสิตชนิดใหม่ที่ได้นี้มีสมบัติที่ดี โดยสมบัติทางกลของคอมพอสิตขึ้นกับความแข็งแรงของเส้นใยเสริมแรงซึ่งมีอิทธิพลมากที่สุดต่อสมบัติของวัสดุคอมพอสิต ดังนั้น การใช้เส้นใยเสริมแรงเพิ่มขึ้น และทิศทางการวางที่เหมาะสมน่าจะสามารถเพิ่ม ประสิทธิภาพของวัสดุคอมพอสิต ได้ เช่น งานวิจัยของ T.Seshaiah และ K.Vijaya kumar reddy (2018) ได้ศึกษาผลกระบวนการของการเส้นใยที่วางตัวในทิศทางต่าง ๆ และจำนวนชั้นในคอมพอสิต อีพอซิลิเซอร์ิมแรงด้วยเส้นใยแก้ว พบว่า วัสดุคอมพอสิตอีพอซิลิเซอร์ิมแรงด้วยเส้นใยแก้วจำนวน 1 ชั้นทิศทาง 0 องศา มีความสามารถในการด้านทานแรงดึงสูงแต่เมื่อตัวได้น้อย ในขณะที่การเสริมแรง เส้นใยแก้วจำนวน 2 ชั้นในทิศทาง 45/45 องศา คอมพอสิตมีความสามารถในการยึดตัวได้สูง เพื่อยืนยันผลของทิศทางการวางตัวของเส้นใยเสริมแรง และจำนวนชั้นของเส้นใยเสริมแรงต่อ สมบัติเชิงกลของวัสดุคอมพอสิตหายใจ จึงได้ทำศึกษาผลของการใช้ตะแกรงต่าง ๆ ที่จำนวนชั้น เสริมแรง 2 ชั้น ที่วางตัวในแนวการวางต่าง ๆ ต่อสมบัติของวัสดุคอมพอสิตพอลิเอทิลีนเทเรฟทา เลตเสริมแรงด้วยตะแกรงเหล็กกล้าไร้สนิม

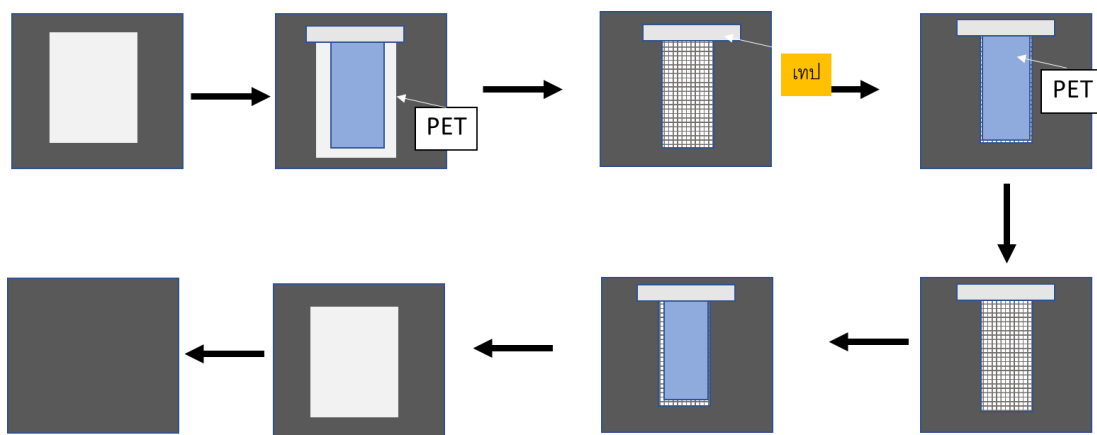
#### 5.2 ระเบียบการทดลอง

ในการศึกษานี้ วัสดุที่นำมาผลิตเป็นวัสดุคอมพอสิตจะใช้วัสดุชนิดเดียวกันกับการผลิตคอมพอสิต 1 ชั้น แต่ในการขึ้นรูปเป็นวัสดุคอมพอสิตเสริมแรงด้วยตะแกรงเหล็กกล้าไร้สนิม ใน การศึกษานี้ใช้ตะแกรงเหล็กกล้าไร้สนิมเสริมแรงจำนวน 2 ชั้น โดยใช้วัสดุเนื้อพื้นพอลิเอทิลีน เทเรฟทาเลต (PET) จำนวน 3 แผ่น วางสลับกับวัสดุเสริมแรงตะแกรงเหล็กกล้าไร้สนิมจำนวน 2 ชั้น ที่ขนาดเมช 60 100 และ 200 ที่วางในทิศทางทั้งให้แนว 0 องศา และ 45 องศา ทำให้ได้วัสดุ คอมพอสิตที่ผลิตขึ้น ดังรูปที่ 5.1

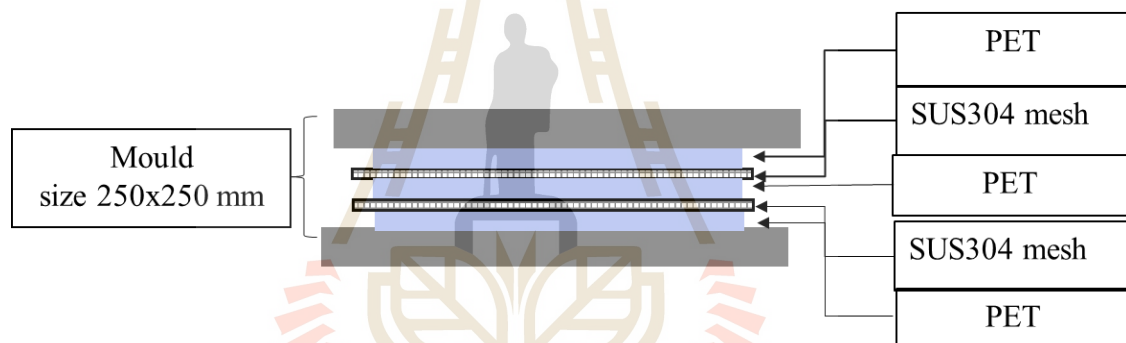


รูปที่ 5.1 ประเภทของวัสดุคุณพอสิตพอลิเอทีลีนเทเรฟทาเลตเสริมแรงด้วยตะแกรงเหล็กกล้าไร้สนิมจำนวน 2 ชั้น

สำหรับขั้นตอนการเตรียมชิ้นงานจะคล้ายคลึงบทที่ 4 หัวข้อที่ 4.2.2 จากรูปที่ 5.2 แสดงขั้นตอนเรียงชิ้นงานพอลิเอทีลีนเทเรฟทาเลตประยุกต์กับชิ้นเสริมแรงตะแกรงเหล็กกล้าไร้สนิม สลับกันตามลำดับ หลังจากการซ่อนกันของวัสดุเนื้อพื้นและวัสดุเสริมแรงแล้วจะได้ชิ้นการเรียงดังรูปที่ 5.3



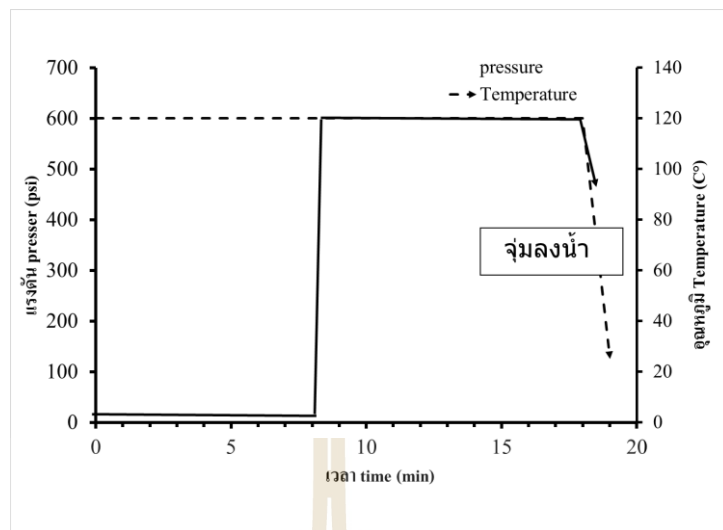
รูปที่ 5.2 ขั้นตอนการเรียงชิ้นงานก่อนขึ้นรูปของวัสดุคอมพอสิตพอลิเอทีลีนเทเรฟทาเลตเสริมแรง  
ตะแกรงเหล็กกล้าไร้สนิม จำนวน 2 ชั้น ก่อนขึ้นรูป



รูปที่ 5.3 การเรียงชิ้นงานก่อนขึ้นรูปเป็นวัสดุคอมพอสิตวัสดุคอมพอสิตพอลิเอทีลีนเทเรฟทาเลต  
เสริมแรงตะแกรงเหล็กกล้าไร้สนิมจำนวน 2 ชั้น

### 5.2.1 การขึ้นรูปชิ้นงาน

ภายหลังจากการจัดเตรียมชิ้นงานก่อนการขึ้นรูปแล้วชิ้นงานจะถูกอัดด้วยเครื่องอัด  
ขึ้นรูป (Compression Molding) เพื่อขึ้นรูปชิ้นงานภายใต้สภาวะการขึ้นรูป ดังรูปที่ 5.4 โดยสภาวะ  
การขึ้นรูปชิ้นงานที่ใช้คืออุณหภูมิ 120 องศาเซลเซียส อบแห้ง (Pre-heat) เป็นเวลา 8 นาที ที่อุณหภูมิ  
120 องศาเซลเซียส ขณะอบทำการกดอัดขึ้นรูปใช้แรงดัน 600 psi เวลา 10 นาที และทำให้เย็น  
ชิ้นงานด้วยการนำไปจุ่มในน้ำ ดังแสดงในรูปที่ 4.3



รูปที่ 5.4 สภาพการขึ้นรูปชิ้นงาน ของวัสดุคอมพอยต์พอลิเอทีลีนเทเรฟทาเลตเสริมด้วยแรง  
ตะแกรงเหล็กกล้าไรีสันิม จำนวน 2 ชั้น

หลังจากนั้นชิ้นงานขึ้นรูปแล้วเราดำเนินการขึ้นงานคอมพอยต์พอลิเอทีลีนเทเรฟทาเลต  
เสริมด้วยแรงตะแกรงเหล็กกล้าไรีสันิม จำนวน 2 ชั้น ไปประเมินคุณภาพ อันประกอบไปด้วย  
ลักษณะขึ้นงานหลังขึ้นรูป โครงสร้างภาคตัดขวางระดับมหภาค ความหนาแน่น และทดสอบแรง  
ดึง เพื่อศึกษาอิทธิพลของ ขนาด จำนวนชั้น และ ทิศทางการเสริมแรงตะแกรงเหล็กกล้าไรีสันิม  
ต่อสมบัติของวัสดุคอมพอยต์พอลิเอทีลีนเทเรฟทาเลตเสริมแรงด้วยตะแกรงเหล็กกล้าไรีสันิม  
และนำมาพิจารณาอีกด้วย

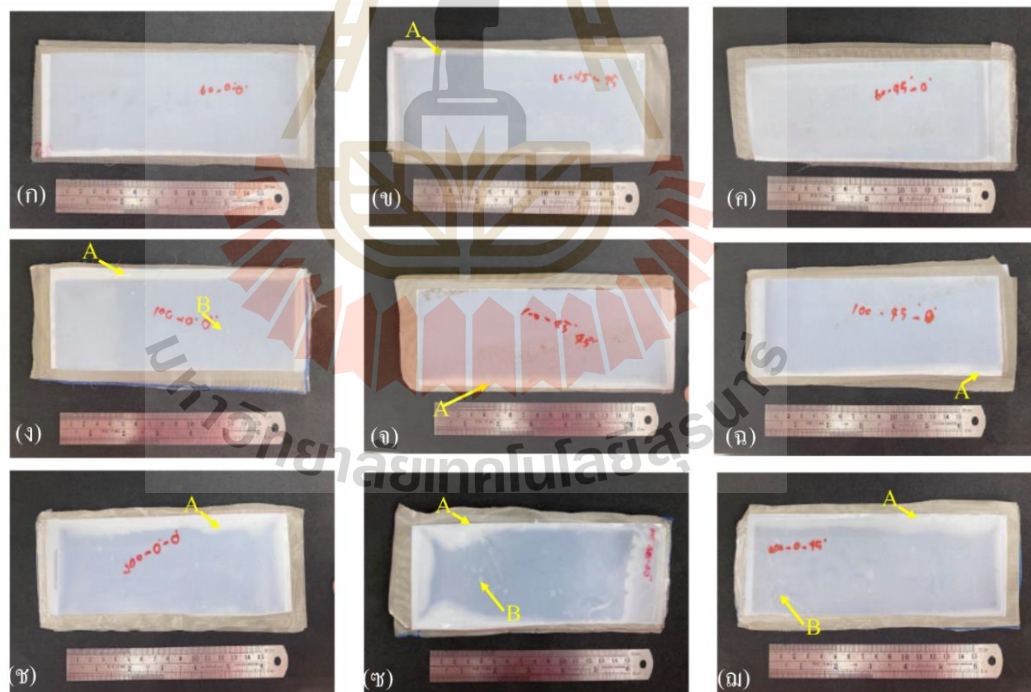
### 5.3 ผลการวิจัยและอภิปรายผลการวิจัย

จากการตรวจสอบและประเมินคุณภาพชิ้นงานต่างๆ ได้ผลการทดลองและอภิปรายมีดัง  
รายละเอียดต่อไปนี้

#### 5.3.1 ลักษณะของชิ้นงานวัสดุคอมพอยต์ภายหลังการขึ้นรูป

ลักษณะของชิ้นงานวัสดุคอมพอยต์ภายหลังการขึ้นรูปแสดง ดังรูปที่ 5.5 จากรูปที่  
5.5 พบว่า ชิ้นงานหลังขึ้นรูปมีลักษณะเดียวกับชิ้นงานที่ขึ้นรูปด้วยตะแกรงเหล็กกล้าไรีสันิม  
1 ชั้น และมีตำแหน่งบริเวณขอบของชิ้นงานคอมพอยต์ ณ ตำแหน่ง A ดังรูปที่ 8.5 (ข ง จ ช ฉ และ ณ)  
ที่เนื้อของพอลิเอทีลีนเทเรฟทาเลตเสริมไม่แทรกเข้าไปในตะแกรงเหล็กกล้าไรีสันิม ซึ่งเห็น  
ได้ชัดเจน กับชิ้นงานคอมพอยต์ที่ผลิตจากตะแกรง มีความละอิยดสูงขนาด 200 ซีซิ่ง  
พอลิเอทีลีนเทเรฟทาเลตแทรกตัวมากขึ้น ปัญหาดังกล่าวอาจเกิดจากการให้ความร้อนของเครื่องอัด

ขึ้นรูปที่มีการกระจายตัวไม่สม่ำเสมอ ทำให้แม่พิมพ์มีอุณหภูมิต่ำกว่าบริเวณตรงกลางแม่พิมพ์ชิ้นงาน เนื้อพอลิเอทิลีนเทเรฟทาเลตเมื่อรับความร้อน ณ ตำแหน่งไขกลางแม่พิมพ์เมื่ออ่อนตัวสามารถไหลเข้าแทรกในตะแกรงเหล็กล้าໄร์สันิมในขณะที่บริเวณด้านข้างแม่พิมพ์ที่สัมผัสกับอากาศอุณหภูมิต่ำกว่าเนื้อของพอลิเอทิลีนเทเรฟทาเลตเสริมจึงยึดตัวน้อยกว่าจึงไม่สามารถไหลและแทรกเข้าตะแกรงได้สมบูรณ์ ดังนั้น ในขนาดตะแกรงที่มีความละเอียดของสารานน้อยที่สุดคือตะแกรงเหล็กล้าໄร์สันิมขนาดเมช 60 ทั้งในแนว 0 และ 45 ของของชิ้นงานมีการแทรกเข้าไปให้ตะแกรงได้มากกว่าตะแกรงเหล็กล้าໄร์สันิม ขนาด เมช 100 และ 200 ที่เสริมในทิศทาง 0 องศา และ 45 องศา นอกจากนี้บางตำแหน่งของชิ้นงานคอมโพสิต ดังรูปที่ 5.5 (ง ช และ ณ) เกิดฟองอากาศเล็กน้อยบนผิวชิ้นงาน เช่นเดียวกับการใช้ตะแกรงเหล็กล้าໄร์สันิม 1 ชิ้น นอกจากเรายังพบว่าสภาวะที่ใช้ในการขึ้นรูปชิ้นงานคอมโพสิตพอลิเอทิลีนเทเรฟทาเลตเสริมแรงตะแกรงเหล็กล้าໄร์สันิม 2 ชิ้น ใช้เวลาในการขึ้นรูปนานขึ้น เมื่อเทียบกับการขึ้นรูปตะแกรงเหล็กล้าໄร์สันิม เพื่อทำให้วัสดุคอมโพสิตที่ได้มีความสมบูรณ์

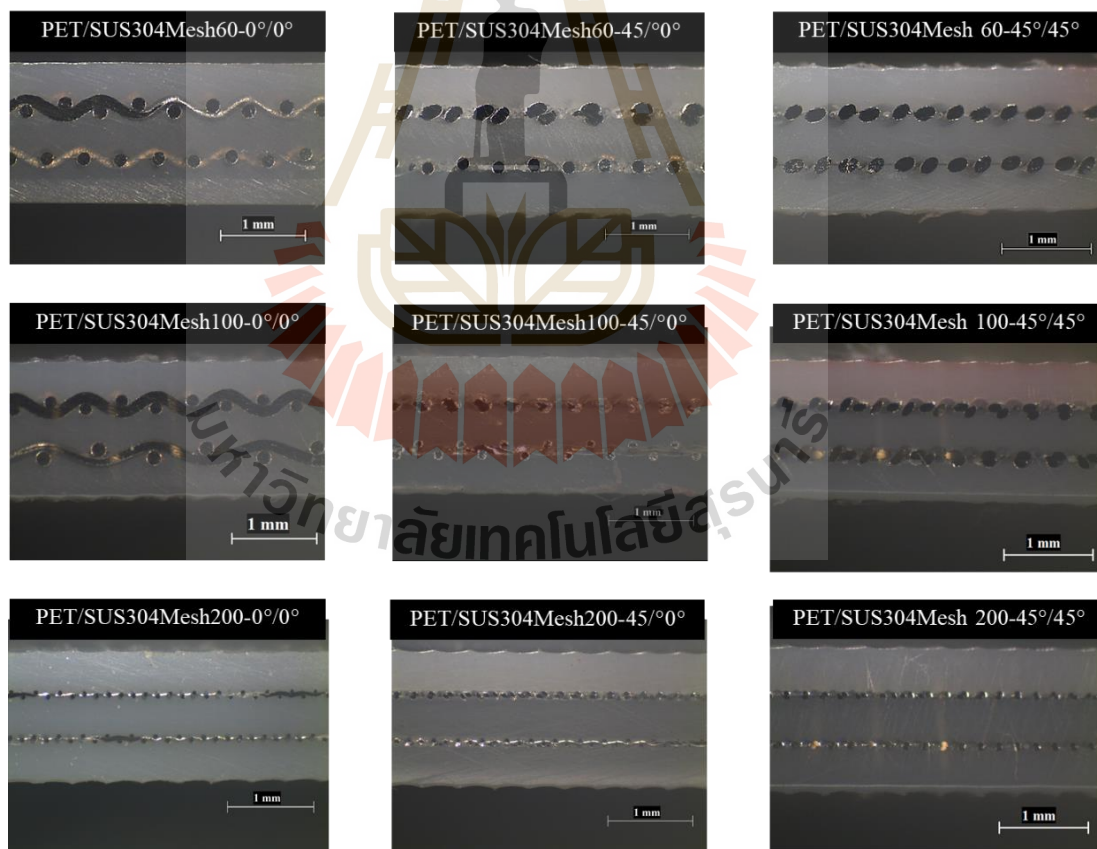


รูปที่ 5.5 ถักยานะของชิ้นงานคอมโพสิตพอลิเอทิลีนเทเรฟทาเลตเสริมแรงด้วยตะแกรงเหล็กล้าໄร์สันิมจำนวน 2 ชิ้น

(ก) ตะแกรงเหล็กกล้าไร้สนิมขนาดเมช 60 แนว 0/0 องศา (ข) ตะแกรงเหล็กกล้าไร้สนิมขนาดเมช 60 แนว 45/0 องศา (ค) ตะแกรงเหล็กกล้าไร้สนิมขนาดเมช 60 แนว 45/45 องศา (ง) ตะแกรงเหล็กกล้าไร้สนิมขนาดเมช 100 แนว 0/0 องศา (จ) ตะแกรงเหล็กกล้าไร้สนิมขนาดเมช 100 แนว 45/0 องศา (ฉ) ตะแกรงเหล็กกล้าไร้สนิมขนาดเมช 100 แนว 45/45 องศา (ช) ตะแกรงเหล็กกล้าไร้สนิมขนาดเมช 200 แนว 0/0 องศา (ซ) ตะแกรงเหล็กกล้าไร้สนิมขนาดเมช 200 แนว 45/0 องศา และ (ฌ) ตะแกรงเหล็กกล้าไร้สนิมขนาดเมช 200 แนว 45/45 องศา โดย คือ (A) วัสดุเนื้อพื้นที่ไม่แทรกไปในคอมโพสิต (B) ฟองอากาศบนคอมโพสิต

### 5.3.2 โครงสร้างภาคตัดขวางระดับมหภาค

ภายหลังการขึ้นรูปชิ้นงานคอมโพสิตพอลิเอทีลีนเทเรฟทาเลตเสริมแรงด้วยตะแกรงเหล็กกล้าไร้สนิมจำนวน 2 ชิ้น การตรวจสอบภาคตัดขวางชิ้นงานคอมโพสิตประเภทต่าง ๆ ระดับมหภาคโดยการใช้กล้องสตอเรอ视 ไอให้ผลแสดงดังรูปที่ 5.6

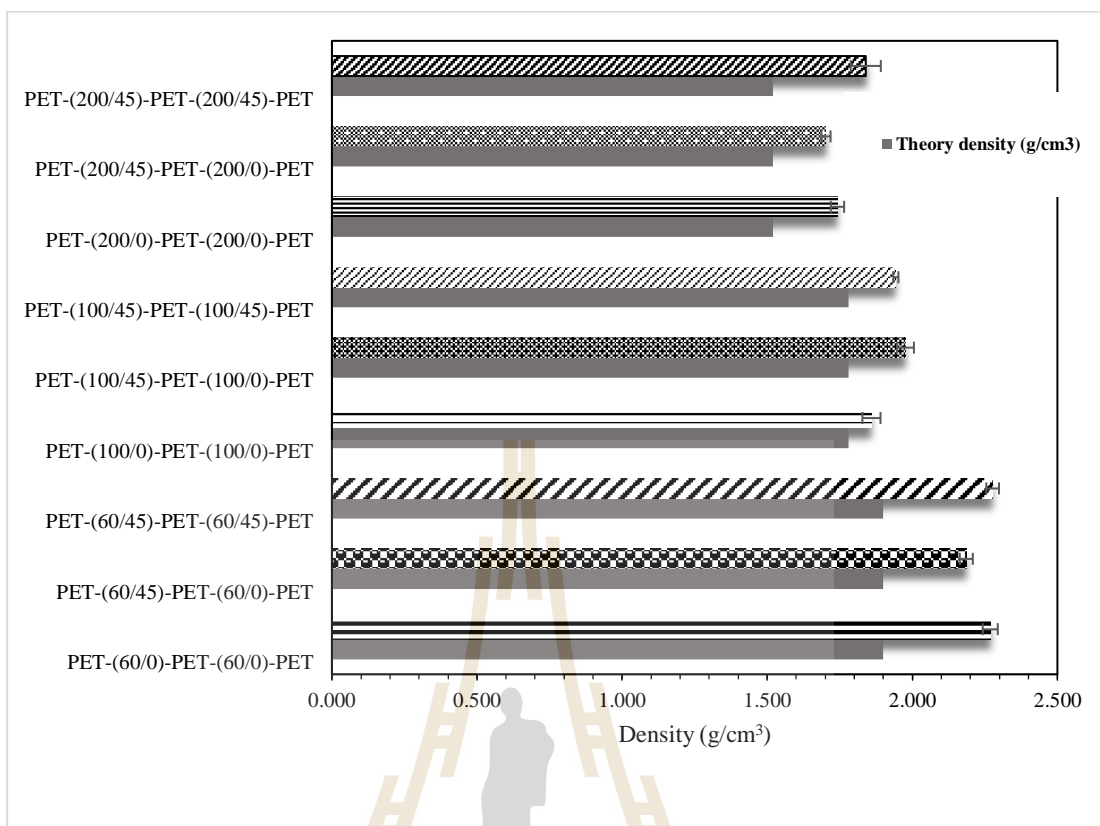


รูปที่ 5.6 โครงสร้างภาคตัดขวางระดับมหภาคชิ้นงานคอมโพสิตพอลิเอทีลีนเทเรฟทาเลตเสริมแรงด้วยเหล็กกล้าไร้สนิม จำนวน 2 ชิ้น

จากรูปที่ 5.6 พบว่า วัสดุคอมพิวเตอร์ชีนจานพอลิเอทีลีนเทเรฟทาเดตเสริมแรงด้วยตะแกรงเหล็กกล้าไร้สนิม 2 ชั้น มีความสมบูรณ์ไม่พบรูพรุน และรอยแตกในเนื้อพอลิเอทีลีนเทเรฟทาเดต นอกจากนี้ยัง พบว่า พอลิเอทีลีนเทเรฟทาเดตยังประสานได้ดีกับตะแกรงเหล็กกล้าไร้สนิม เช่นเดียวกับผลการตรวจสอบโครงสร้างภาคตัดขวางชีนจานคอมพิวเตอร์ที่ใช้ตะแกรงเหล็กกล้าไร้สนิม 1 ชั้น นอกจากนี้จากรูปที่ 5.6 ยังพบลักษณะของตะแกรงเสริมแรงวางตัวต่างกัน เมื่อทิศทางการวางตะแกรงไม่เหมือนกันในการขึ้นรูป ซึ่งยืนยันว่าการผลิตคอมพิวเตอร์ที่ถูกต้องตามประเภทที่ต้องการ

### 5.3.3 ผลการทดสอบความหนาแน่นของชีนจาน

จากผลการทดสอบหาความหนาแน่นของชีนจานภายหลังการขึ้นรูป ดังแสดงในรูปที่ 5.7 จากรูปที่ 5.7 ความหนาแน่นของวัสดุคอมพิวเตอร์ชีนจานพอลิเอทีลีนเทเรฟทาเดตเสริมแรงด้วยตะแกรงเหล็กกล้าไร้สนิมขนาดแต่ละเมชทั้ง 60 100 และ 200 ไม่กว่าจะวางตะแกรงเหล็กกล้าไร้สนิมในทิศทางใดก็ตาม ก็ให้ความหนาแน่นใกล้เคียงกัน แต่จะต่างกันตามการใช้ตะแกรงเหล็กกล้าไร้สนิมขนาดเมช 60 มีความหนาแน่นมากกว่า เมช 100 และ เมช 200 ตามลำดับ น้ำหนักของขนาดของตะแกรงเหล็กกล้าไร้สนิมแต่ละเมชมีความหนาแน่นไม่เท่ากัน ซึ่งตะแกรงเหล็กกล้าไร้สนิมเมชขนาด 60 มีน้ำหนักต่อพื้นที่ของตะแกรงสูงกว่าเมชขนาด 100 และ 200 ส่างผลต่อความหนาแน่นรวมของวัสดุคอมพิวเตอร์ที่เสริมแรงด้วยตะแกรงเหล็กกล้าไร้สนิม 1 ชั้น กับเสริมแรงตะแกรงเหล็กกล้าไร้สนิม 2 ชั้น พบว่า ความหนาแน่นของคอมพิวเตอร์ชีนจานพอลิเอทีลีนเทเรฟทาเดตเสริมแรงด้วยตะแกรงเหล็กกล้าไร้สนิม 2 ชั้น มีความหนาแน่นสูงกว่า เสริมแรงด้วยตะแกรงเหล็กกล้าไร้สนิม 1 ชั้น ทุกประเภทของตะแกรงที่ใช้ในการศึกษา และถ้าเปรียบเทียบกับความหนาแน่นตามทฤษฎี พบว่า ความหนาแน่นทางการทดลองสูงกว่าความหนาแน่นตามทฤษฎีที่คำนวณจากการในบทที่ 4 สมการที่ 4.1 ทุกคอมพิวเตอร์ที่ขึ้นรูปที่เป็นนี้ เพราะเราบวกการขยายตัวของพอลิเอทีลีนทาร์ฟหลังการขึ้นรูป

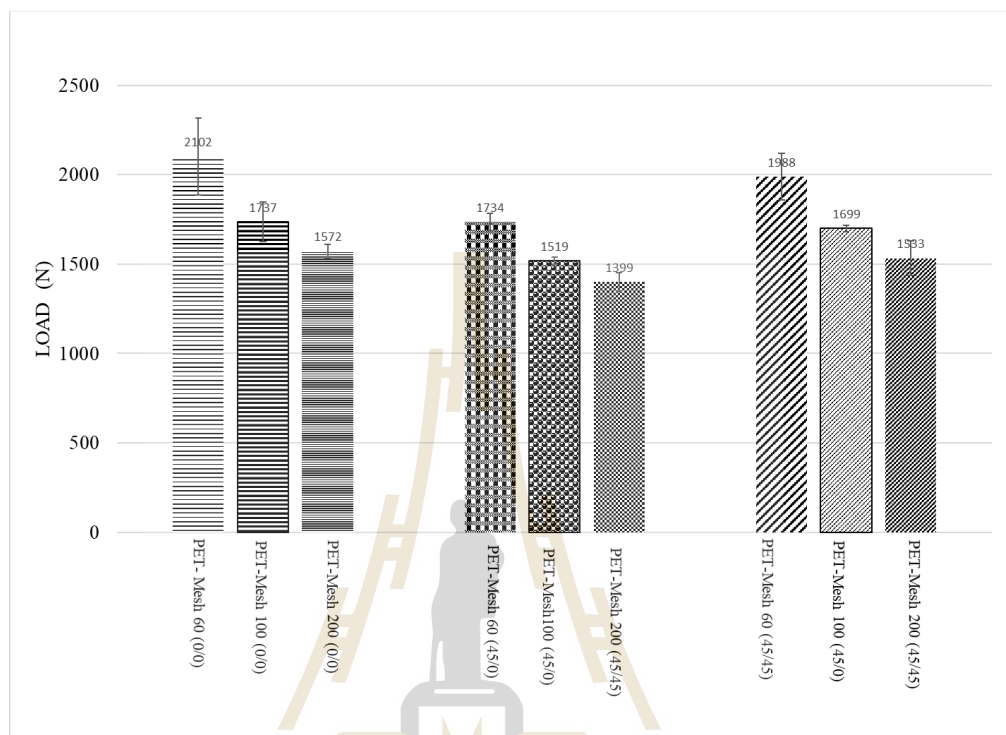


รูปที่ 5.7 ความหนาแน่นคอมโพสิตพอลิเอทีเลตเทเรฟทาเลตเสริมแรงด้วยตะแกรงเหล็กกล้าไร้สนิม จำนวน 2 ชั้น

#### 5.3.4 ผลการทดสอบความสามารถในการรับแรงดึง

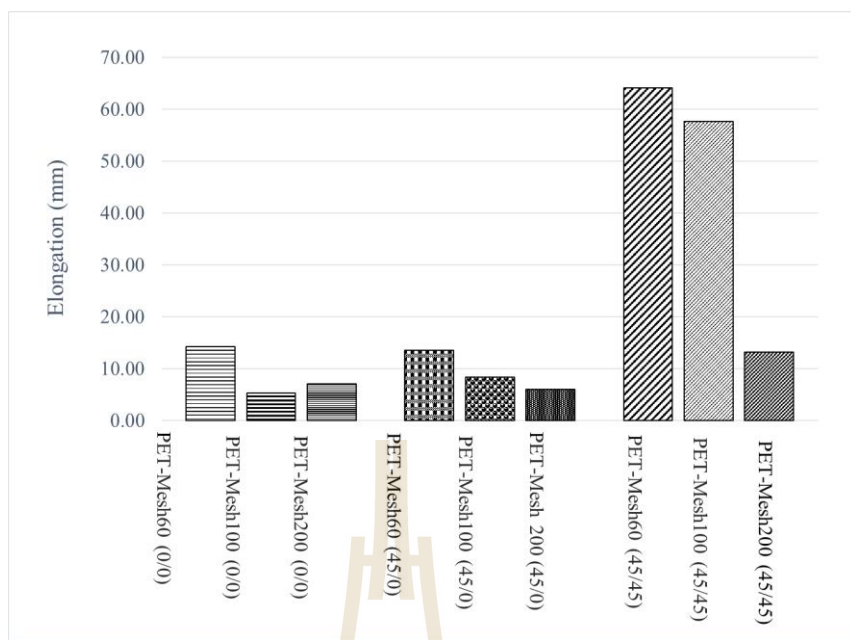
เมื่อนำวัสดุคอมโพสิตที่เสริมแรงด้วยตะแกรง 2 ชั้น ไปทดสอบแรงดึงในแกนทิศทางเดียว (Uni-axial tensile test) ได้ผลการทดสอบดังนี้ การทดสอบความสามารถในการรับแรงดึงสูงสุดของชิ้นงานวัสดุคอมโพสิตพอลิเอทีเลตเทเรฟทาเลตเสริมแรงด้วยตะแกรงเหล็กกล้าไร้สนิมที่เมช 60 100 และ 200 จำนวน 2 ชั้น ประเภทต่าง ๆ แสดงดังรูปที่ 5.8 เมื่อพิจารณาการวางแผนแรงดึงแนวเดียวกัน 2 ชั้น จากรูปที่ 5.8 ความสามารถในการรับแรงดึงของคอมโพสิตพอลิเอทีเลตเทเรฟทาเลตเสริมแรงด้วยตะแกรงเหล็กกล้าไร้สนิมเสริมแรงขนาดเมช 60 จำนวน 2 ชั้น จะให้แรงดึงสูงกว่าขนาด เมช 100 และ เมช 200 จำนวน 2 ชั้น และลดลงตามลำดับ ซึ่งพฤติกรรมการรับแรงดึงสูงสุดเกิดขึ้นลักษณะเดียวกันกับคอมโพสิตพอลิเอทีเลตเทเรฟทาเลตเสริมแรงด้วยตะแกรงเหล็กกล้าไร้สนิม 1 ชั้น นอกจากนี้ยังพบว่าการวางแผนแรงดึงเหล็กกล้าไร้สนิมทิศทาง 0/0 องศา ให้แรงต้านทานการดึงสูงสุด และ 45/45 องศา ต่ำลงมา และ 0 /45 องศาต่ำสุด ที่เป็นเช่นนี้ เพราะทิศ

ทางการรับแรงของเส้นลวดเบลี่ยนแปลงตามแนวการวางเส้นลวดทำให้พฤติกรรมรับแรงเบลี่ยนแปลงไปตามแนวโน้มดังกล่าว



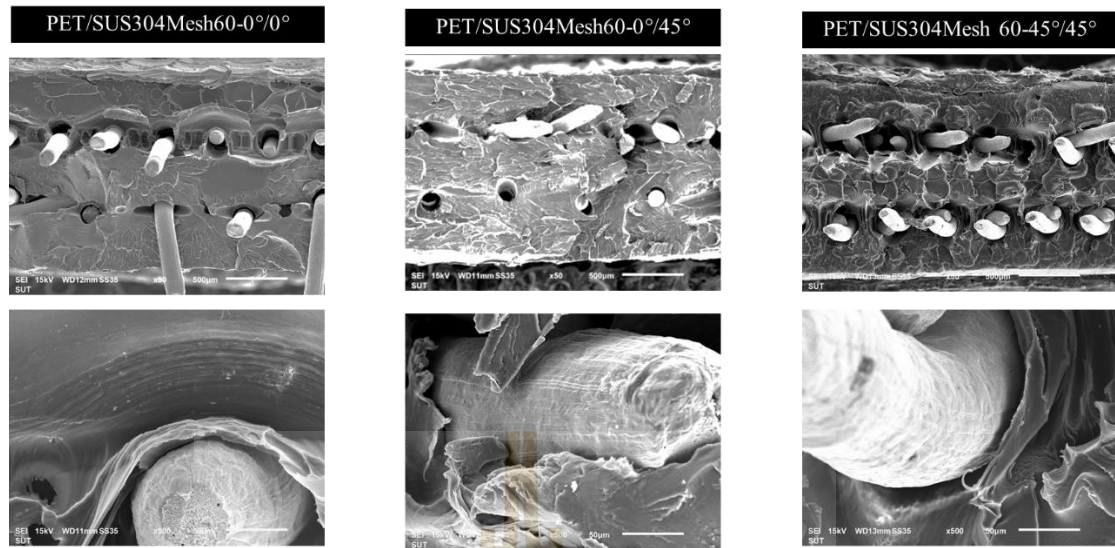
รูปที่ 5.8 ความสามารถในการรับแรงดึงของชิ้นงานคอมโพสิตพอลีเอทิลีนเทเรฟทาเลตเสริมแรงด้วยตะแกรงเตรินแรงตะแกรงเหล็กกล้า ไวร์สันิมจำนวน 2 ชั้น

ยังไกกว่า 2 ชั้น ถ้าเราเปรียบเทียบความสามารถในการรับแรงของคอมโพสิตเสริมแรงด้วยตะแกรงเหล็กกล้าไวร์สันิม 1 ชั้น กับ 2 ชั้น จะพบว่าการเสริมแรงด้วยตะแกรงเหล็กกล้าไวร์สันิม 2 ชั้น ให้ความสามารถในการรับแรงดีกว่าทุกกรณี

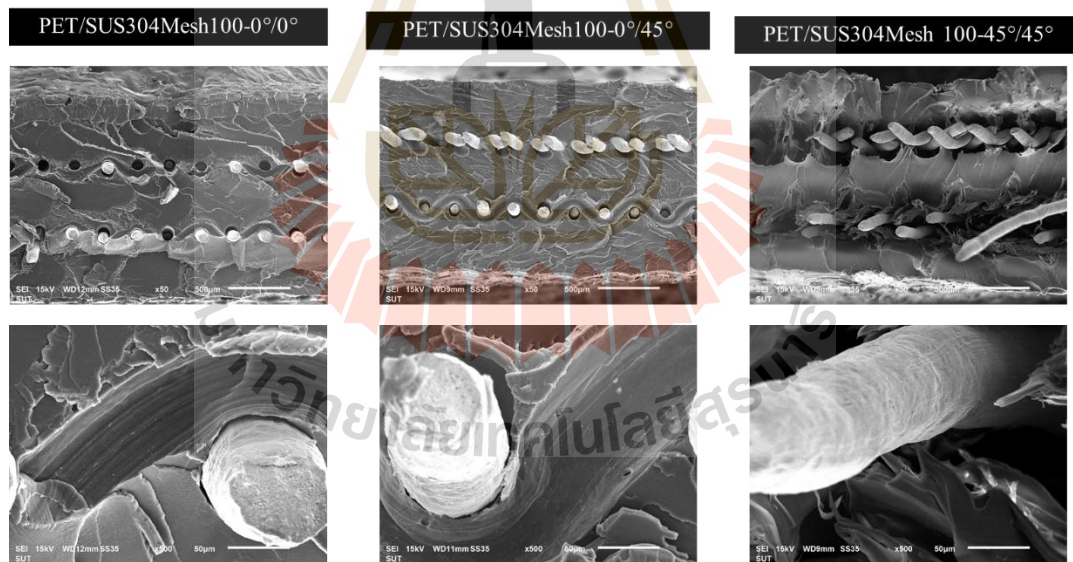


รูปที่ 5.9 ความสามารถในการยึดของวัสดุคอมโพสิตพอลิเอทีลีนเทเรฟทาเดตเสริมแรงด้วยตะแกรงเหล็กกล้าไร้สนิม 2 ชั้น

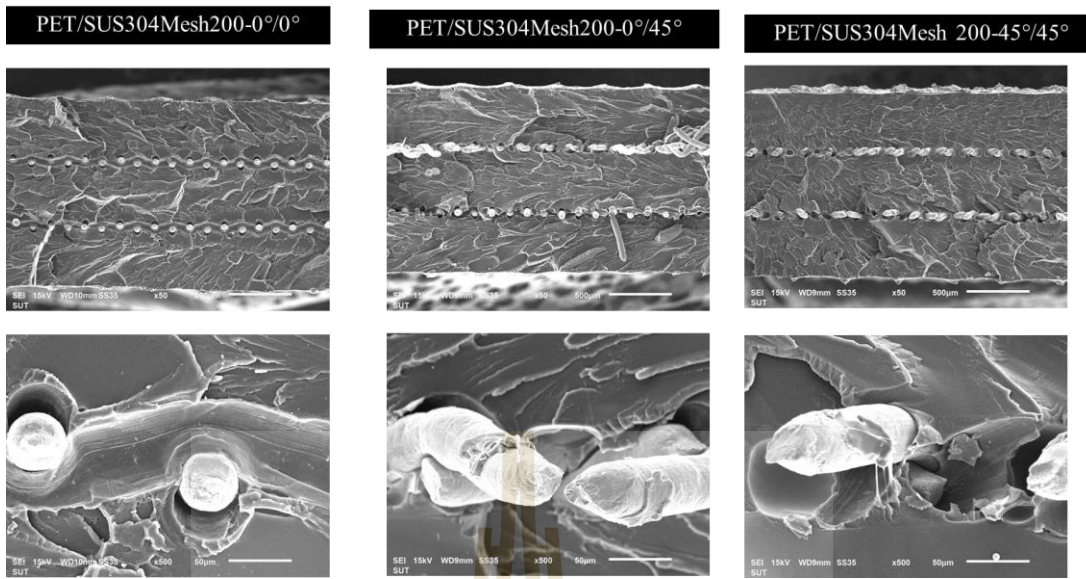
จากรูปที่ 5.9 แสดง ความสามารถในการยึดตัวของวัสดุคอมโพสิตพอลิเอทีลีนเทเรฟทาเดตที่เสริมแรงด้วยตะแกรง 2 ชั้น พบร่วมกับค่า Elongation (mm) ที่เพิ่มขึ้นตามที่คาดการณ์ไว้ สำหรับแต่ละ configuration ที่ระบุในรูปที่ 5.9 ค่า Elongation (mm) ที่สูงที่สุดคือ PET-Mesh60 (45/45) ที่มีค่า Elongation (mm) ประมาณ 13 mm และค่าที่ต่ำที่สุดคือ PET-Mesh60 (0/0) ที่มีค่า Elongation (mm) ประมาณ 5 mm แสดงให้เห็นว่าความสามารถในการยึดตัวของวัสดุจะเพิ่มขึ้นเมื่อเพิ่มระดับการเสริมแรงด้วยตะแกรงเหล็กกล้าไร้สนิม 2 ชั้น แต่จะลดลงเมื่อเพิ่มระดับการเสริมแรงด้วยตะแกรงเหล็กกล้าไร้สนิม 1 ชั้น ซึ่งเป็นผลลัพธ์ที่ได้จากการทดลองใน實驗室.



รูปที่ 5.10 การแตกหักของวัสดุคอมโพสิตพอลิเอทิลีนเทเรฟทาเลตเสริมแรงด้วยตะแกรงเหล็กกล้า  
ไร์สนิม 60 จำนวน 2 ชิ้น



รูปที่ 5.11 การแตกหักของวัสดุคอมพอยต์พอลิเอทิลีนเทเรฟทาเลตเสริมแรงด้วยตะแกรงเหล็กกล้า  
ไร์สนิมขนาดเมช 100 จำนวน 2 ชิ้น



รูปที่ 5.12 การแตกหักของวัสดุคอมโพสิตพอลิเอทีลีนเทเรฟทาเดตเสริมแรงด้วยตะแกรงเหล็กกล้าไร์สันขนาดเมช 200 จำนวน 2 ชิ้น

หลังจากการทดสอบแรงดึงขึ้นงานคอมโพสิตที่ขาดถูกนำมาทำการตรวจสอบโดยแตกถ่ายกล้องจุลทรรศน์อิเล็กตรอนแบบส่องgraphic และได้ผลการตรวจสอบดังรูปที่ 5.10 รูปที่ 5.11 และรูปที่ 5.12 จากรูปที่ 5.1- 5.12 พบร้า เนื้อพื้นพอลิเอทีลีนเทเรฟทาเดตมีผิวแตกเรียบ กรณีที่ตะแกรงเหล็กกล้าไร์สันวางในแนว 0/0 องศา และจะมีลักษณะผิวเสี้ยรูปร่างของกรณีที่เสริมแรงตะแกรงเหล็กกล้าไร์สันวางตัวในแนว 45/45 องศา นอกจากนี้ยังพบว่าพอลิเมอร์พอลิเอทีลีนเทเรฟทาเดตเสริมแรงด้วยตะแกรงเหล็กกล้าไร์สัน 1 ชิ้น อีกทั้งยังพบว่าเส้นคาดมีการขาดแบบถาวรและรายซึ่งแสดงถึงการแตกหักแบบเหนีyxของลวด อนึ่งด้วยลวดมีการสารานักันทำให้เกิดช่องว่างของตะแกรงในแนว 45 องศา ทำให้ลวดเคลื่อนที่มีชิดกันได้ขยับดึง ทำให้การยึดตัวในแนวการวางตะแกรงเหล็กกล้าไร์สัน 45 องศา สูงมากกว่า 0 องศา

#### 5.4 สรุปผลการวิจัย

จากผลการทดลองศึกษาอิทธิพลของขนาด จำนวนชิ้น และทิศทางการเสริมแรงตะแกรงเหล็กกล้าไร์สันสามารถสรุปได้ดังนี้

5.4.1 การผลิตคอมพอสิตพอลิเอทีลีนเทเฟฟทาเดตเสริมแรงด้วยตะแกรงเหล็กกล้าไร้สนิมที่หนาขึ้น (ใช้จำนวนชั้นของตะแกรงมากขึ้น) จะต้องใช้เวลาในการกดอัดและให้อุณหภูมินานขึ้นรูป เพื่อให้ได้งานที่มีความสมบูรณ์เช่นเดิม

5.4.2 ความหนาแน่นของคอมพอสิตพอลิเอทีลีนเทเฟฟทาเดตเสริมแรงด้วยตะแกรงเหล็กกล้าไร้สนิม 2 ชั้นสูงกว่า 1 ชั้น ความหนาแน่นเพิ่มขึ้นเมื่อใช้ตะแกรงที่มีน้ำหนักต่อหน่วยที่ตะแกรงสูง และไม่ขึ้นกับทิศทางการวางตะแกรงเหล็กกล้าไร้สนิม

5.4.3 ความสามารถในการรับแรงดึงของชิ้นงานคอมพอสิตจะเพิ่มขึ้นตามความสามารถในการรับแรงของตะแกรงเหล็กกล้าไร้สนิมที่ໄส์เซ้าไปประกอบเป็นคอมพอสิต ทำให้คอมพอสิตที่เสริมแรงสองชั้นจะรับแรงได้มากกว่าเสริมแรงชั้นเดียว นอกจากนี้ทิศทางการวางตะแกรงเหล็กกล้าสนิมแบบสองชั้นก็มีผลต่อทั้งความสามารถในการรับแรงดึงและการยึดตัว โดยการวางตะแกรงเหล็กกล้าไร้สนิมให้ลวดยาวตามแนวรับแรงจะทำให้คอมพอสิตรับแรงได้สูงสุด ส่วนวางตัวในแนว 45/45 ทั้งสองชั้น จะได้คอมพอสิตที่ยึดตัวได้มากขึ้น



## บทที่ 6

### สรุปผลการวิจัย

จากการศึกษาการผลิตวัสดุคอมพอสิตพอลิเอทีลีนเทเรฟทาเลตเสริมแรงด้วยตะแกรงเหล็กกล้าไร้สนิม และ ทำความสะอาดเชิงอิทธิพลของ ขนาด จำนวนชั้น และ ทิศทางการวางของตะแกรงเหล็กกล้าไร้สนิมต่อสมบัติของวัสดุคอมพอสิต พบว่า ชิ้นงานคอมพอสิตพอลิเอทีลีนเทเรฟทาเลตเสริมแรงด้วยตะแกรงเหล็กกล้าไร้สนิมที่ผลิตได้ค่อนข้างสมบูรณ์ อีกทั้งจากโครงสร้างภาคตัดขวางระดับมหภาคของคอมพอสิตพอลิเอทีลีนเทเรฟทาเลตเสริมแรงด้วยตะแกรงเหล็กกล้า ไร้สนิมไม่พบรูพรุน หรือรอยแตก และพบการประสานของเนื้อเสริมแรงกับพอลิเมอร์เนื้อพื้นดี มีการจัดเรียงระหว่างชั้นเสริมแรงลับกันเนื้อพื้นสมบูรณ์ตามกำหนด ความหนาแน่นของวัสดุคอมพอสิตอยู่เกณฑ์ต่ำ ความสามารถในการรับแรงดึงเพิ่มตามการเพิ่มจำนวนชั้นของตะแกรงเหล็กกล้า ไร้สนิม และความสามารถในการรับแรงของตะแกรงเหล็กกล้าไร้สนิมแต่ละชนิด ดังนั้นจึงอาจจะกล่าวได้ว่ามีความเป็นไปได้ในการผลิตวัสดุคอมพอสิตพอลิเอทีลีนเทเรฟทาเลตเสริมแรงด้วยตะแกรงเหล็กกล้าไร้สนิม และวัสดุคอมพอสิตนี้อาจจะเป็นวัสดุคอมพอสิตใหม่ที่มีคุณภาพสูงสำหรับสมบัติของคอมพอสิตพอลิเอทีลีนเทเรฟทาเลตเสริมแรงด้วยตะแกรงเหล็กกล้าไร้สนิม ขึ้นกับทั้งขนาดของตะแกรง (ซึ่งสามารถระบุได้ด้วยตัวแปรน้ำหนักต่อพื้นที่ของตะแกรง) ทิศทางการวาง และ จำนวนชั้น โดยความหนาแน่นและความแข็งแรงจะเพิ่มขึ้นตามตะแกรงที่มีน้ำหนักต่อพื้นที่สูง ส่วนความสามารถในการยึดตัวของคอมพอสิตพอลิเอทีลีนเทเรฟทาเลตเสริมแรงด้วยตะแกรงเหล็กกล้าไร้สนิมจะเพิ่มขึ้นตามทิศทางการวางตะแกรงเทียบกับแนวแกนแรงที่ชิ้นงานคอมพอสิตได้รับ และ ขึ้นกับขนาดความกว้างของช่องห่างระหว่างลวดของตะแกรง

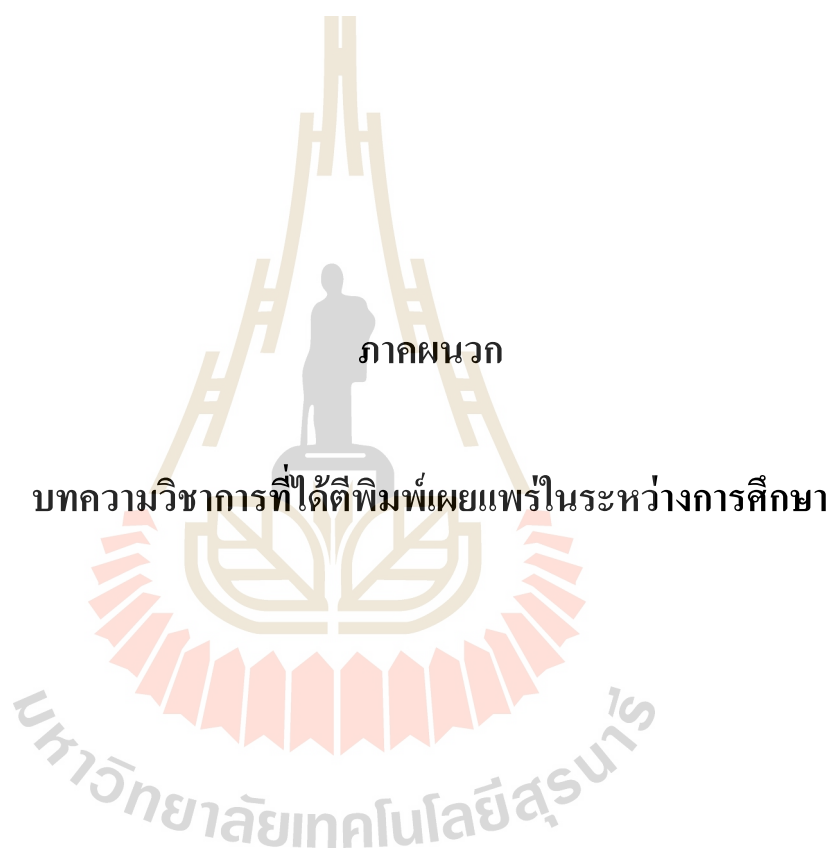
#### 6.1 ข้อเสนอแนะ

แม้ว่าจากการวิจัยที่ได้พบว่า มีความเป็นไปได้ที่จะผลิตวัสดุคอมพอสิตพอลิเอทีลีนเทเรฟทาเลตเสริมแรงด้วยตะแกรงเหล็กกล้าไร้สนิม แต่ยังไม่มีงานศึกษาเกี่ยวกับการขึ้นรูปวัสดุคอมพอสิตชนิดนี้ในระดับอุตสาหกรรม จึงควรมีการศึกษาด้วยกระบวนการขึ้นรูปอื่นๆเพิ่มเติมอันจะช่วยเพิ่มโอกาสให้วัสดุคอมพอสิตชนิดใหม่นี้ได้ใช้งานได้จริงในอนาคต

## รายการอ้างอิง

- [1] หฤทัยกัค กีรติเสวี, นัตรชัย วีระนิติสกุล และ อภิรัตน์ เลาห์. (2552 - 2553). “ภาพรวมของวัสดุชิ้งประกอบ.”.วิศวกรรมสาร มน. ปีที่ 22 (ฉบับที่ 70): 18-31.
- [2]. Miroslava Klarová .Composite materials. Studentská 11, Ostrava-Poruba, office no: N415, (2015).
- [3] Ratna Chatterjee. Advanced & Emerging Composite Fiber Applications In the Automotive Industry. (November 2012).
- [4] John W. Weeton, Robert A ,Signorelli. Fiber-Metal composite materials .Lewis Research Center. NASA TECHNICAL NOTE (August 1966).
- [5] Caitlin O' Brien, Amanda McBride, Arash E. Zagh, Kelly A. Burke, Alex Hill .Mechanical behavior of stainless steel fiber-reinforced composites exposed to accelerated corrosion.Merials (Basel). Jul 2017.
- [6] Callens M., Gorbatikh L., Verpoest. Ductile steel fiber composites with brittle and ductile matrices. Compos.A : Appl .Sci Manuf. 2014.
- [7] M. Callens, M, Smet, B, Goderis, E. Novel ductile steel fiber composites:2016 opportunities and challenges . SIM innovation together with materials. November 2014
- [8] Elizabeth C., Claunch. Forecasting on composites-Market, Product, and Demandes. College of Textiles. 2015.
- [9] Hofstatter, Thomas, Pedersen, David Bue, Tosello, Guido, Hansen, Hans Norgaard . State-of-the-art of fiber-reinforced polymers in additive manufacturing technologies. Journal of Reinforced Plastics & Composites. 2017.
- [10] Salar Bagherpou. Fibre Reinforced Polyester Composites. INTECH open science open minds.2012.
- [11] R.T. Durai Prabhakaran, Tom Løgstrup Andersen, Jakob Iilsted Bech, Hans Lilhol, Investigation of Mechanical Properties of Unidirectional Steel Fiber/Polyester Composites: Experiments and Micromechanical Predictions. POLYMER COMPOSITES (2016) 628–644.

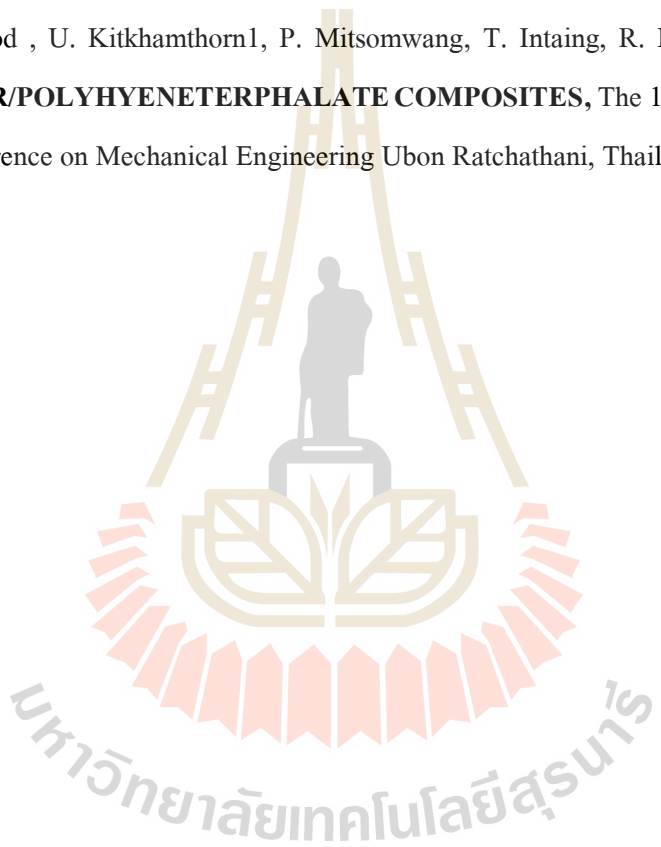
- [12] Amanda K. McBride, Samuel L.Turek , Arash E. Zaghi , Kelly A. Burke .POLYMERS. April 2017.
- [13] Seiji Katayama, Yousuke Kawahito. Laser direct joining of metal and plastic. ScienceDirect. September 2008 1247-1250.
- [14] characteristics-applications-and-properties-of-polymers-2008.
- [15] Jalalvand, M., Czél, G., & Wisnom, M. R. (2015). Parametric study of failure mechanisms and optimal configurations of pseudo-ductile thin-ply UD hybrid composites. Composites Part A: Applied Science and Manufacturing, 74, 123-131. doi: 10.1016/j.compositesa.2015.04.001.
- [16] Fan, M. (2010). Sustainable fibre-reinforced polymer composites in construction. In Management, Recycling and Reuse of Waste Composites (pp. 520-568).
- [17] Tawfik, B. E., Leheta, H., Elhewy, A., & Elsayed, T. (2017). Weight reduction and strengthening of marine hatch covers by using composite materials. International Journal of Naval Architecture and Ocean Engineering, 9(2), 185-198. doi: 10.1016/ j.ijnaoe. 2016.09.005.
- [18] Gupta, M. K., & Srivastava, R. K. (2015). Mechanical Properties of Hybrid Fibers-Reinforced Polymer Composite: A Review. Polymer-Plastics Technology and Engineering, 55(6), 626-642. doi:10.1080/03602559.2015.1098694.
- [19] ASTM. (2016). Designation: E 2016 – 99e1. In Composites Part A: Applied Science and Manufacturing: Standard Specification for Industrial Woven Wire Cloth.
- [20] Silva, R. V., Ueki, M. M., Spinelli, D., Bose Filho, W. W., & Tarpani, J. R. (2009). Thermal, Mechanical, and Hygroscopic Behavior of Sisal Fiber/Polyurethane Resin-based Composites. Journal of Reinforced Plastics and Composites, 29(9), 1399-1417. doi:10.1177/0731684409102986.
- [21] ขจร อัจิมาจิรรัชติกาล และคณะ (2558). DEVELOPMENT OF FORMING COMPOSITE MATERIAL WITH NATURAL FIBERS-REINFORCE: A REVIEW LITERATURE. Paper presented at the Kasem Bundit Engineering Journal Vol.5 No.1 January - June 2015, Faculty of Engineering, Kasem Bundit University.



## รายชื่อบทความวิชาการที่ได้รับการตีพิมพ์เผยแพร่ในระหว่างศึกษา

รสarinthr ดีอุบุนทด , น้ำรุกฤตา ประเสริฐโภสภา , ภูมิตร นิตรสมหวัง , รัตน บริสุทธิคุล, กระบวนการผลิตและทดสอบพอลิเอทิลีนแทเรฟาเลตเสริมแรงด้วยตะแกรงเหล็กกล้าไร้สนิม, The 11th Thailand Metallurgy Conference (TMETC11) · Pattaya · Thailand, November 15 – 16, 2018, หน้า 34-35.

R. Duekhodthod , U. Kitkhamthorn1, P. Mitsomwang, T. Intaing, R. Borrisutthekul, **STEEL FIBER/POLYHYDROPHALATE COMPOSITES**, The 11th TSME International Conference on Mechanical Engineering Ubon Ratchathani, Thailand 1st – 4th December 2020.



## วัสดุเชิงประกลบเนื้อพื้นเป็นพอลิเอทิลีนเทฟทาเลต (PET) เสริมแรงด้วยตะแกรงเหล็กกล้าไวร์รัฟิน

รศ.ดร. ดร.สุนทร์ "สุนทร์" พูลวรุษิษา<sup>1</sup>, อุตติช มีครสมหัส<sup>2</sup>, วันนุ บริฤทธิ์อุดม<sup>3</sup>  
<sup>1</sup> สาขาวิชาวิศวกรรมโลหะ สำนักวิชาวิศวกรรมศาสตร์ มหาวิทยาลัยเทคโนโลยีราชมงคลอีสาน ประเทศไทย  
<sup>2</sup> สาขาวิชาวิศวกรรมวัสดุ คณะวิศวกรรมศาสตร์ มหาวิทยาลัยเทคโนโลยีราชมงคลอีสาน ประเทศไทย  
<sup>3</sup> ruttana@g.sut.ac.th

งานวิจัยนี้ศึกษาความเป็นไปได้ในการผลิตวัสดุเชิงประกลบเนื้อพื้นเป็นพอลิเอทิลีนเทฟทาเลต (PET) เสริมแรงด้วยตะแกรงเหล็กกล้าไวร์รัฟินด้วยอัตราอัดขึ้นรูปร้อน ซึ่งในการทดลองใช้แผ่น PET ความหนา 0.5 mm ประกลบตะแกรงเหล็กกล้าไวร์รัฟินและอัดขึ้นรูปที่อุณหภูมิ 120 °C แรงดัน 600 bar เวลาที่ใช้อัดขึ้นรูป คือ เวลา 2 นาที, 3 นาที และ 4 นาที ตามลำดับ และตะแกรงเหล็กกล้าไวร์รัฟินเมทอล 304 ขนาดตะแกรง (Mesh) 40, 60 และ 100 จากการทดลองเราสามารถอัดขึ้นรูปวัสดุเชิงประกลบได้สมบูรณ์ ไม่พบรูพรุนภายในเนื้อ สามารถอัดแรงได้ ใกล้เคียงกับความสามารถในการอัดขึ้นรูปวัสดุที่เข้มข้นรวมกัน และ ความสามารถในการอัดสูงสุดในเดิน 1.93 g/cm<sup>3</sup> ด้วย เหตุนี้จึงสรุปได้ว่าสามารถผลิตวัสดุเชิงประกลบเนื้อพื้น PET เสริมแรงด้วยตะแกรงเหล็กกล้าไวร์รัฟินได้ด้วยวิธีการอัดขึ้นรูปร้อนได้

คำสำคัญ: วัสดุเชิงประกลบ, พอลิเอทิลีนเทฟทาเลต (PET), ตะแกรงเหล็กกล้าไวร์รัฟิน, อัดขึ้นรูปร้อน

### 1. บทนำ

วัสดุที่สิ่งอื่นโดยทั่วไปมีสมบัติด้านแข็งแรง ทนทานต่อความชื้นและอุณหภูมิการใช้งานค่อนข้างดีไม่น่าเก็บเกี่ยว และขึ้นรูปได้ดี แต่เปรียบเทียบกับโลหะที่มีความแข็งแรงและทนทานสูงกว่าให้สามารถใช้งานที่มีแรงกระแทกสูงได้ดี แม้ขึ้นรูปได้ยากและทนต่อการอัด ก่อนได้รับแรงกระแทก จึงทำให้เพิ่มภาระน้ำหนักห้องที่จะลงมาประกลบ กันเป็นวัสดุเชิงประกลบที่อังวัสดุสมบัติที่ดีของวัสดุเดิม ที่จะรองไว้ให้ได้มากที่สุด แต่ถ้าต้องดูแลอย่างดีแล้วก็สามารถใช้งานวัสดุเชิงประกลบได้ ที่สำคัญน้ำหนัก กันน้ำวัสดุเสริมแรงมีการอัดเบาๆ กันไม่ได้ส่งผลให้เกิดการแยกตัวของสารละลายน้ำ (Demineralization) ของวัสดุเนื่องที่กันน้ำวัสดุเสริมแรงจะมีผลลัพธ์อื่นๆ งานวิจัยของ Katayama และคณะ (2008) เรื่องการเข้มแน่น PET กันน้ำ แต่เหล็กกล้าไวร์รัฟินพบว่าความสามารถเข้มแน่น PET กันน้ำเหล็กกล้าไวร์รัฟินได้โดยอย่างที่ได้มีความแข็งแรง เมื่อเป็นเช่นนี้ผู้อธิบายความต้องการที่ต้องการจะใช้เหล็กกล้าไวร์รัฟินมาประกลบกันเป็นวัสดุเชิงประกลบเป็นอย่างมาก ในการเดินทางและเดินทางต่อไป ความต้องการของเหล็กกล้าไวร์รัฟินจะเพิ่มมากขึ้น

จึงต้องการศึกษาความเป็นไปได้ในการผลิตวัสดุเชิงประกลบพอลิเมอร์ชนิด PET เสริมแรงด้วยตะแกรงเหล็กกล้าไวร์รัฟิน.

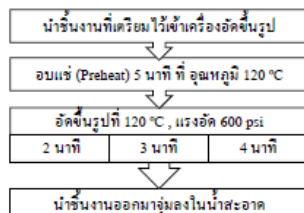
### 2. วิธีการทดลอง

ในงานศึกษานี้วัสดุที่นำมาผลิตเป็นวัสดุเชิงประกลบไปด้วย แผ่น PET ขนาด 60x 190 mm ท� 1.05 mm เป็นต้น ทดสอบเหล็กกล้าไวร์รัฟินเมทอล 304 (SUS304) ขนาด 70x 200 mm ซึ่งจะแบ่งออกเป็น 3 ขนาดมีลักษณะดังตารางที่ 1 จากนั้นนำวัสดุที่เตรียมเข้าด้านในห้องที่อัดแรง ที่อัดแรง SUS 304 (1 แผ่น) ประกลบด้วย PET (2 แผ่น) และนำไปอัดขึ้นรูปที่อุณหภูมิการทดลองค่าๆ ลังรูปที่ 1

ตารางที่ 1 ลักษณะตะแกรง SUS 304 ขนาดค่าๆ ลัง

SUS 304 Mesh	Wire Ø (mm)	Opening (mm)	Weight/Area (g/mm²)
40	0.17	0.463	0.5138
60	0.15	0.271	0.6267
100	0.10	0.153	0.4901

การประชุมวิชาการทางโลหะวิทยาและประปาไทย ครั้งที่ 11  
15-16 พฤษภาคม 2561 · พัทยา · ประเทศไทย



รูปที่ 1 ขั้นตอนการอัดขึ้นรูปที่สึกษาการทดลองท่าทาง

โดยชิ้นงานหลังอัดขึ้นรูปจะถูกนำมาทดสอบเพื่อประเมินความเป็นไปได้ในการผลิตวัสดุเชิงประ同胞 PET ตามเกณฑ์หลักสำหรับนิม ด้วยวิธีการดังนี้ คือ ตรวจสอบชิ้นงานด้วยตาเปล่า ตรวจสอบโครงสร้างของภาคตัดขาดชิ้นงานระดับมหภาค และการทดสอบความสามารถในการรับแรงตามมาตรฐาน ASTM D3039

### 3. ผลการทดลอง



รูปที่ 2 ชิ้นงานภายหลังอัดขึ้นรูปที่โดยใช้วิธีการอัดขึ้นรูป 4 นาที

- (a) วัสดุเชิงประ同胞 PET เสริมแรงด้าน SUS304 ขนาด Mesh40
- (b) วัสดุเชิงประ同胞 PET เสริมแรงด้าน SUS304 ขนาด Mesh60
- (c) วัสดุเชิงประ同胞 PET เสริมแรงด้าน SUS304 ขนาด Mesh100

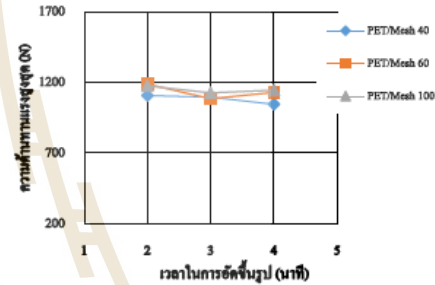
จากรูปที่ 2 ลักษณะชิ้นงานหลังอัดขึ้นรูปมีความคล้ายกัน โดยคงรูปร่างเดิมที่ไม่เปลี่ยนจากน้ำหนักกาว กาวทางกลอาจขึ้นยก เนื่องจากจะเป็น PET ให้รับความร้อนประ同胞กับการให้แรงอัดจะทำให้เนื้อ PET นิริเวณปลอกชิ้นงานหักส่องด้านกาวกาว และพบว่าชิ้นงาน PET/Mesh 100 จะมีการขยายของเนื้อพื้นที่เป็น PET ออกมาน้ำหนักมากที่สุด เพราะมีเส้นท่อศูนย์กลางของลวดขนาดเล็กและสารกันลามะเขียวคาวขนาด Mesh40 และ Mesh60

รูปที่ 4 แสดงภาพถ่ายโครงสร้างหน้าภาชนะหลังอัดขึ้นรูป พบว่าไม่พบรูพรุนในเนื้อของวัสดุเชิงประ同胞และ

วัสดุทั้ง 2 ชนิดสามารถอัดเกลากันโดยไม่พบรอยแยกด้วยระหว่างรูปของวัสดุนี้กับ PET และวัสดุเสริมแรงด้วยแกร่ง SUS 304 ภายหลังการอัดขึ้นรูป และเมื่อนำชิ้นงานวัสดุเชิงประ同胞ไปอัดแบบทดสอบแรงดึงตัวผลการทดลองในรูปที่ 5 จำกัดอยู่ที่ 5 หมนว่าความสามารถในการรับแรงของวัสดุเชิงประ同胞ที่ได้ในการศึกษานี้นี้ขนาดใหญ่เกิดขึ้นกับความสามารถในการรับแรงของวัสดุที่มีมาประกอบกันทั้งสองรวมกัน



รูปที่ 4 ภาพถ่ายโครงสร้างหน้าภาชนะหลังอัดขึ้นรูปที่เวลาใน การอัดขึ้นรูป 4 นาที



รูปที่ 5 การวัดความต้านทานต่อแรงดึงของวัสดุที่ชิ้นงานทันทีและเวลาในการอัดขึ้นรูปวัสดุเชิงประ同胞 PET/อะลูมิเนียม SUS304 ที่สึกษาการทดลองท่าทาง

### 4. สรุปผลการทดลอง

จากการทดลองแสดงให้เห็นว่ามีความเป็นไปได้ที่จะสร้างวัสดุเชิงประ同胞ชนิด PET เสริมแรงด้าน SUS304 ควบคุมหลักการอัดขึ้นรูปได้ โดยวัสดุเชิงประ同胞ได้รับนิสัยบูรณาการให้สามารถรับแรงดึงตัวของวัสดุที่อัดขึ้นรูปรวมกันและความหนาแน่นสูงสุดไม่เกิน  $1.93 \text{ g/cm}^3$

### 5. ติดติกรรมประปา

นายนิสิต สาขาวิชาวิศวกรรมวัสดุและสูญญากาศเชิงมือ นักสัมมนาวิชาการสนับสนุนศูนย์เชิงนิสิตในงานวิจัย

### 6. เอกสารอ้างอิง

- [1] Seiji Katayama, M. Laser direct joining of metal and plastic. Osaka University, Japan. Scripta Materialia 59, 2008, pp. 1247-1250.

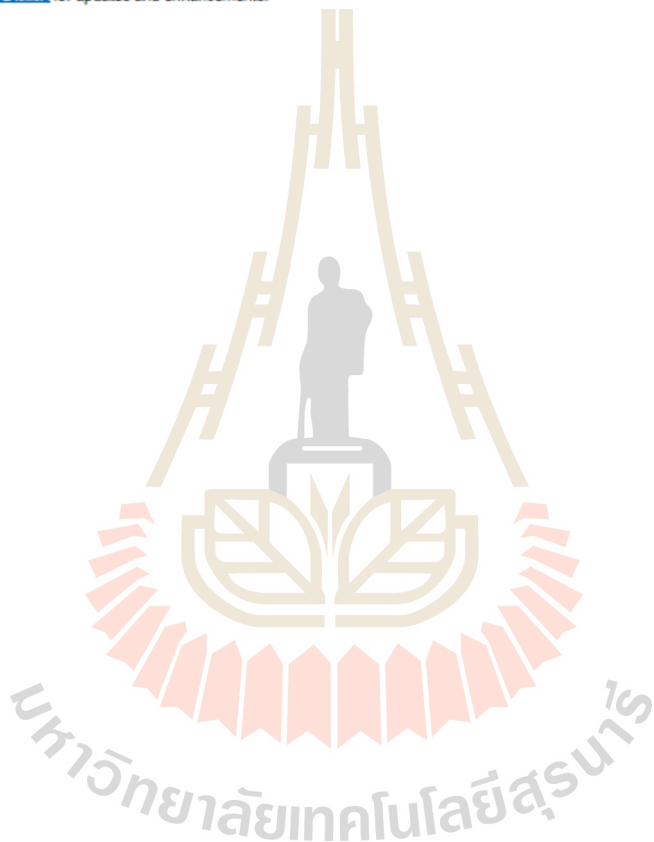
IOP Conference Series: Materials Science and Engineering

PAPER • OPEN ACCESS

## Steel fiber/polyethylene terephthalate composites

To cite this article: Rossarin Duekhodthod et al 2021 IOP Conf. Ser.: Mater. Sci. Eng. 1137 012026

View the [article online](#) for updates and enhancements.



This content was downloaded by anchasa from IP address 158.108.229.7 on 11/05/2021 at 05:51

## Steel fiber/polyethylene terephthalate composites

Rosarin Duekhodthod<sup>1</sup>, Usanee Kitkamthorn<sup>1\*</sup>, Pusit Mitsomwang<sup>1</sup>, Tawatchai Intaing<sup>1</sup>, Rattana Borrisutthekul<sup>1</sup>

<sup>1</sup>School of Metallurgical Engineering, Institution of Engineering, Suranaree University of Technology, Nakhon Ratchasima, 30000, Thailand

\* Corresponding Author: k\_usanee@sut.ac.th

### Abstract

Currently, lightweight materials with high performance have been strongly needed to meet the requirements of advanced structural materials. One of the promising lightweight materials is the metals fiber reinforced plastic composite, which usually gives good specific strength and high toughness. However, de-bonding between metal fiber and plastic is the main problem in the production and utilization of the composite. Recently, Katayama, et. al studied the dissimilar materials joining between plastics and metals such as PET/SUS 304 and so on. The joint was succeeded with the reaction between the metal oxide and functional group in the molecule of the polymer. The possibility to join metal plastic may provide the new approach to produce new design composites. Thus, the objective of the study is to investigate the feasibility to produce stainless steel fiber reinforced PET plastics composite (SFRP). In experiments, stainless steel mesh and PET sheet with 0.5 mm of thickness were used as materials to fabricate the SFRP composite. The hot pressing of sandwich stacks with inserted SUS304 wire mesh between two PET sheets was performed at 120°C. Results indicated that high strength composite without de-bonding could be obtained.

**Keywords:** Polyethylene terephthalate (PET), Stainless Steel grade 304 (SUS 304)

### 1. Introduction

Automotive part manufacturers have been challenged by new technologies concerned with manufacturing electric vehicles. In order to increase the distance of driving per charge, the application of lightweight materials to reduce the energy consumption rate of electric vehicles, is needed [1]. In the past 30 years ago, lightweight materials have been rapidly developed from high strength steel, to aluminum alloy, and then composites materials. Various composites materials have been developed based on using the difference of the raw materials used such as CFRP composites that are produced with carbon fiber and plastic. However, carbon fiber reinforced plastic provides low toughness, new fiber-reinforced plastic has been needed to be developed in order to improve toughness. The metal fiber-reinforced materials exhibit a 3 to 5 times higher elongation than typical continuous carbon and glass fiber composites and can therefore provide an answer to improve toughness [2-3]. However, the plastic matrix and metal reinforcement are difficult to bond. Therefore, after production, delamination between plastic matrix and metal fiber is easily found [4]. In order to solve the problem, using the compatibility

between steel fiber and plastic to make fiber reinforced plastic composites will provide the opportunity to obtain high quality materials. Katayama et al., [5] applied the laser bonding for stainless steel/PET composite fabrication. They succeeded in producing of good bonding between stainless steel and PET by the reaction between a functional group in the molecule of the PET and the chromium oxide film on the stainless-steel surface. Therefore, in this work, new composites materials developed by using PET as a matrix, and stainless-steel as fiber have been studied in order to study the feasibility of producing new composites materials.

## 2. Materials and Methods

### 2.1 Materials

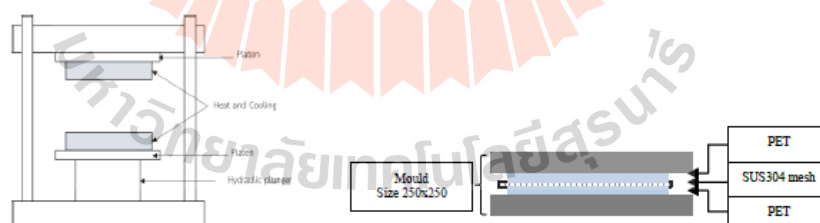
Stainless steel fiber reinforced plastic composite (SFRP) was produced from stainless steel meshes and polyethylene terephthalate (PET) plastic. The stainless-steel wire meshes as reinforced materials were cut to a size of 70x20 mm. For the plastic matrix, the polyethylene terephthalate (PET) sheets with the size of 60x190x0.5 mm were used. The material characteristic and their mechanical properties of both materials are expressed in Table 1.

**Table 1.** Materials characteristics and their mechanical properties.

Materials	Wire O (mm)	Opening (mm)	Maximum Load at 15 mm of the width of the specimen (N)
PET	-	-	169
SUS304 mesh 60	0.15	271.0	485
SUS304 mesh 100	0.10	0.153	386
SUS304 mesh 200	0.055	0.432	314

### 2.2 Experimental procedures

SFRP composites were produced by using the compression molding technique with the MODEL PR2D-W3tech00L350 PM-WCL machine as shown in Figure 1. The sandwich stack of stainless-steel mesh in the middle between the PET sheets was performed as shown in Figure 2. The compressive molding process was performed at a mold temperature of 120 OC, the pressure of 60 psi, and a curing time of 5 minutes. After curing, the mold was opened and the sandwich stack was cooled by dipping into the water.



**Figure 1.** Compression Moulding machine

**Figure 2.** Schematic of SFRP composites stack layer.  
 (PET/SUS304 mesh /PET)

The integrity of SFRP composites was then investigated by visual inspection, macrostructure observation. The macrostructure observation of SFRP composite cross-section was performed under the stereo microscope and scanning electron microscopes (SEM). Moreover, SFRP composites were cut to the tensile specimens as shown in Figure 3. The tensile testing was performed by Instron 4505 with a crosshead moving speed of 2 mm/min. After tensile testing, the failure samples were characterized under SEM observation.



Figure 3. The tensile test specimen shape.

### 3. Results and discussion

#### 3.1 Visual Inspection of SFRP composite

The visual inspection results of the SFRP composite samples with the different wire sizes of stainless-steel mesh were shown in Figure 4. Two layers of PET and stainless-steel mesh were perfectly welded into a single sheet of SFRP composites. The width at the end of all SFRP samples as indicated by the red dash line rectangular was wider than the width at the center of the SFRP sample. Moreover, in SFRP composites with #200 of stainless-steel wire mesh, the tearing of stainless-steel wire mesh was found at the edge of the sample as indicated in Figure 5. The tearing of stainless-steel wire at end of the SFRP sample was caused by that the pressing process was carried out with no constraint. Thus, in order to avoid such ending effect on the tensile test result, the tensile samples were cut only from the center of the SFRP composite sample.



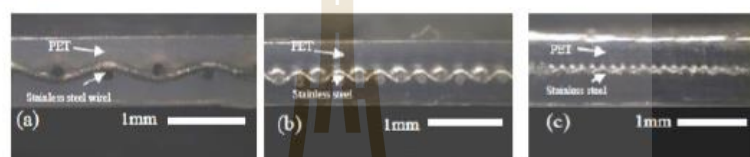
Figure 4. The SFRP composites formed with different stainless-steel wire mesh sizes (a) SFRP SUS304 mesh 60 (b) SFRP SUS304 mesh 100 (c) SFRP SUS304 mesh 200



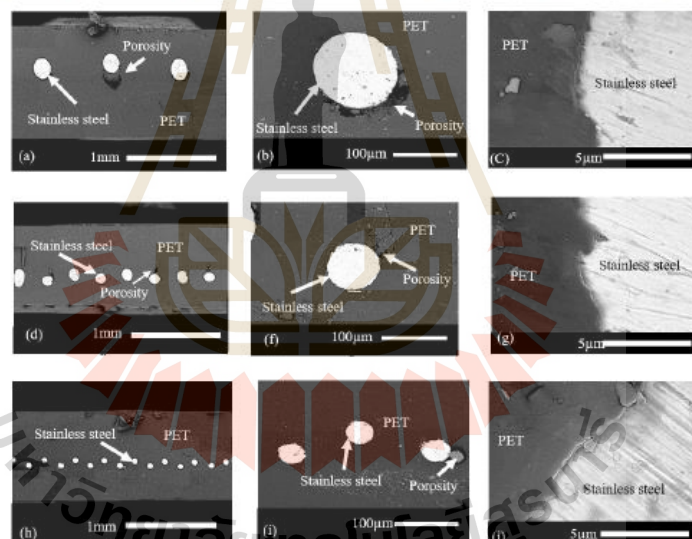
Figure 5. Defect on the sample SFRP with SUS304 mesh 200 composites.

### 3.2 Cross-sectional observations.

Figure 6 shows the cross-section observation of the SFRP composites reinforced with various stainless-steel mesh sizes. From Figure 6, it could be realized that the PET was fully filled into the gaps between the stainless-steel wire mesh. No porosity and gaps between the steel wire mesh and the PET matrix were found under optical microscope observation. However, at higher magnification observation of cross-section of SFRP composites, porosity, and PET unfilled in the hole between the stainless-steel wire mesh were observed as indicated in the dark spots in Figure 6. Although porosity and gaps were present, good bonding between PET stainless steel was achieved as realized in Figure 7(c), Figure 7(g), and Figure 7(j).



**Figure 6.** Macrostructure of a cross-section of the SFRP composites, difference stainless - steel wire mesh, (a) SFRP SUS304 mesh 60 (b) SFRP SUS304 mesh 100 (c) SFRP SUS304 mesh 200 composites.

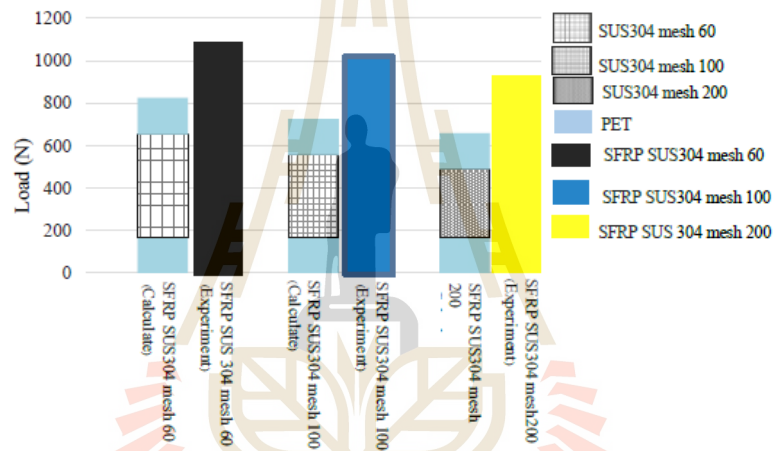


**Figure 7.** Shows the cross-section of the SFRP composites by SEM.

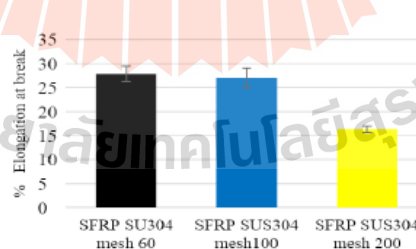
### 3.3 Tensile testing

Figure 8 shows the maximum tensile resistance loads of SFRP composites with different mesh sizes and the theoretical maximum tensile resistance load of SFRP composites. The theoretical maximum tensile resistance loads of SFRP composites were calculated from the summation of maximum load capacity of

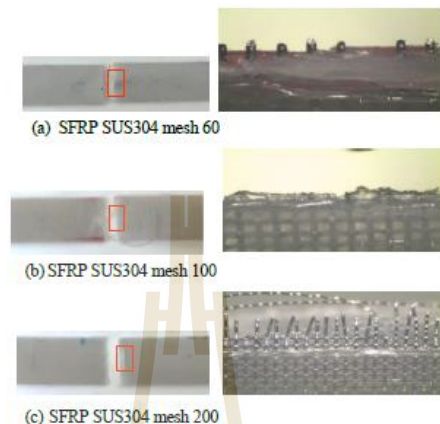
each material that were used to fabricate the SFRP composites. From Figure 8, the experimental maximum tensile resistance loads of the SFRP composites were better than that of the theoretical ones. Moreover, the maximum tensile load of SFRP composites decreased with the lower load capacity of stainless-steel wire mesh used as reinforcement. The elongation of SFRP with different stainless steel wire mesh was shown in Figure 9. It could be recognized that the SFRP composites were ductile materials due to high elongation. Using a larger stainless-steel wire mesh increased the elongation of the SFRP. Moreover, the overview of fracture specimens after the tensile test were shown in Figure 10. The stainless-steel wire was broken in the perpendicular direction to tensile loading. SEM micrographs as shown in Figure 11 reveal the ductile fracture of stainless-steel wire. Furthermore, the de-bonding of PET and stainless-steel wire after the tensile test was observed. Based on the above results, it could be inferred that new SFRP composites have good mechanical properties. Delamination of PET and stainless steel in the fracture samples occurred during tensile testing.



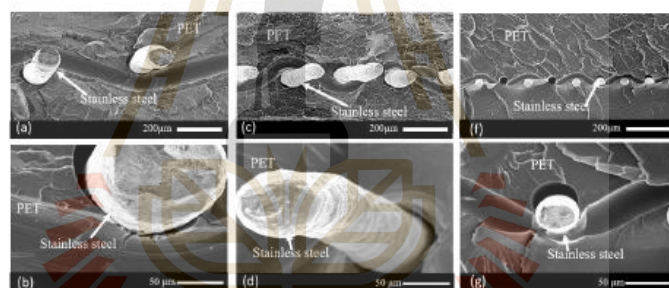
**Figure 8.** The Maximum tensile loading of SFRP in three different stainless-steel wire mesh sizes fiber in the PET matrix.



**Figure 9.** The % elongation at break of SFRP composites in three different stainless-steel wire mesh fiber size in the PET matrix



**Figure 10.** Fracture surface of the SFRP composites, three different stainless-steel wire mesh fiber size in the PET matrix.



**Figure 11.** Fracture surfaces of the SFRP composites, (a, d) SFRP SUS304 mesh 60, (b, e) SFRP SUS 304 mesh 100, (c, f) SFRP SUS 304 mesh 200 composites by SEM.

#### 4. Conclusion

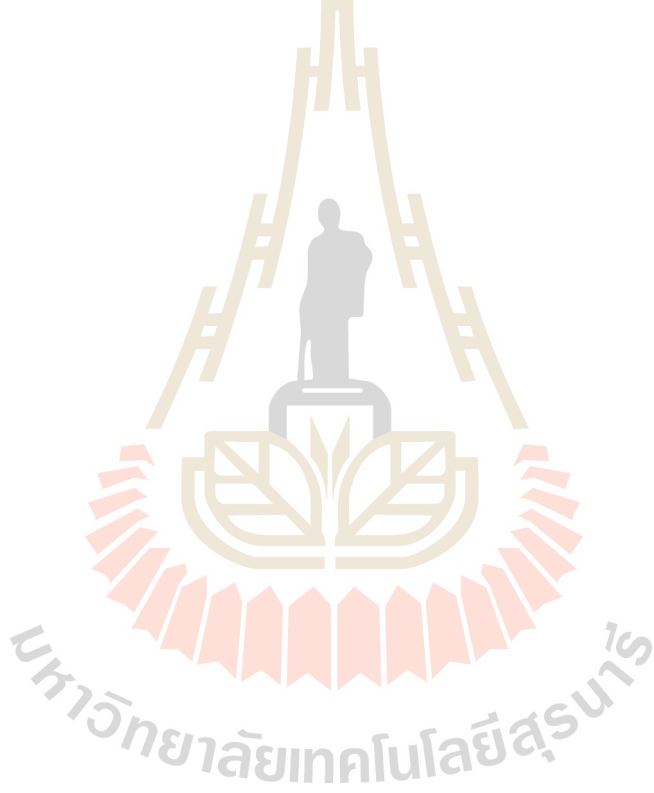
According to the results, SFRP composites made by stainless steel wire mesh and PET were successfully produced by using a compressive molding process. Although some defects, such as porosities and no fill with PET, were found the mechanical properties of developed the SFRP composites were still better than that of raw materials. Moreover, good bonding between PET and stainless-steel wire mesh was achieved, after production. However, after the tensile test, de-bonding between the PET and the stainless-steel wire was still found. Ductile fracture of stainless-steel wire was also observed. The de-bonding between the PET and stainless steel after the tensile test will be possibly solved by refining the compressive molding process conditions in future work. Finally, it could be inferred that SFRP composites between PET and stainless steel are the potential candidate list as a new composite material used in lightweight structures.

#### Acknowledgments

The authors gratefully acknowledge the IMIARU Research Unit at the Suranaree University of Technology in support of the research work.

#### References

- [1] Holmes M 2017 *Reinf. Plast.* **61**(5) 294-298
- [2] Mosleh Y Clemens D Gorbatikh L Verpoest I and Vuure A 2015 *J. Reinf. Plast. Compos.* **34**(8) 624-635
- [3] Callens M G Gorbatikh L and Larissa G 2014 *Compos. Part A Appl. Sci. Manuf.* **61** 235-244
- [4] Yu Z and Zhou A 2013 *Mech. Adv. Mater. Struct.* **20**(5) 361-372
- [5] Katayama S and Kawahito Y 2008 *Scr. Mater.* **59** 1247-1250



## ประวัติผู้เขียน

นางสาวรสรินทร์ คือขุนทด เกิดเมื่อวันที่ 16 ธันวาคม พุทธศักราช 2532 เริ่มศึกษาชั้นประถมศึกษาที่โรงเรียนบ้านพะໄລ ชั้นมัธยมศึกษาที่โรงเรียนบุญวัฒนา 2 อำเภอเมือง จังหวัดนครราชสีมา และสำเร็จการศึกษาระดับป्रิญญาตรี คณะวิศวกรรมศาสตร์และสถาปัตยกรรมศาสตร์สาขาวิชาวิศวกรรมวัสดุและโลหการ มหาวิทยาลัยเทคโนโลยีราชมงคลล้านนา เมื่อปีพุทธศักราช 2555 เข้าศึกษาต่อในระดับปρิญญาโท สาขาวิชาวิศวกรรมวัสดุ สำนักวิศวกรรมศาสตร์มหาวิทยาลัยเทคโนโลยีราชมงคลล้านนา ได้ทำการวิจัยในหัวข้อวัสดุคอมโพสิตพอลิเมอร์ชนิดพอลิเอทิลีนเทเรฟทาเลตเสริมแรงด้วยตะแกรงเหล็กกล้าไร้สนิม อาจารย์ที่ปรึกษาผู้ช่วยศาสตราจารย์ ดร.รัตน บริสุทธิ์กุล และ ผู้ช่วยศาสตราจารย์ ดร.อุณณิษฐ์ กิตกัมธ์ ในระหว่างการศึกษาต่อได้มีโอกาสช่วยงานภายในการนิยริจห้องวิจัยการประยุกต์ใช้โลหะวิทยาเพื่อการขึ้นรูปโลหะ และมีผลงานทางด้านวิชาการมีดังนี้

- 1) ได้เสนอบทคัดย่อเข้าร่วมการประชุมวิชาการทาง โลหะวิทยาแห่งประเทศไทย ครั้งที่ 11 (TMETC11) วันที่ 15-16 พฤษภาคม 2561 ที่ โรงแรมเดอะ เฮอริเทจ พัทยา บีช รีสอร์ท จ.ชลบุรี เรื่อง วัสดุเชิงประยุกต์เนื้อพื้นเป็นพอลิเอทิลีนเทเรฟทาเลต (PET) เสริมแรงด้วยตะแกรงเหล็กกล้าไร้สนิม
- 2) ได้เสนอบทความเข้าร่วมการประชุมนานาชาติครั้งที่ 11 ด้านวิศวกรรมเครื่องกล (ICoME 2020) วันที่ 1-4 ธันวาคม 2020 ที่ อุบลราชธานี, เรื่อง Steel fiber/polyethylene terephthalate composites